

Analitički opis dinamičkog ponašanja pasivnog hibridnog sustava baterije i superkondenzatora

Buljić, Dalibor

Doctoral thesis / Doktorski rad

2024

Degree Grantor / Ustanova koja je dodijelila akademski / stručni stupanj: Josip Juraj Strossmayer University of Osijek, Faculty of Electrical Engineering, Computer Science and Information Technology Osijek / Sveučilište Josipa Jurja Strossmayera u Osijeku, Fakultet elektrotehnike, računarstva i informacijskih tehnologija Osijek

Permanent link / Trajna poveznica: <https://urn.nsk.hr/urn:nbn:hr:200:046092>

Rights / Prava: [In copyright/Zaštićeno autorskim pravom.](#)

*Download date / Datum preuzimanja: **2025-03-09***

Repository / Repozitorij:

[Faculty of Electrical Engineering, Computer Science
and Information Technology Osijek](#)



SVEUČILIŠTE JOSIPA JURJA STROSSMAYERA U OSIJEKU
FAKULTET ELEKTROTEHNIKE, RAČUNARSTVA I
INFORMACIJSKIH TEHNOLOGIJA OSIJEK

Dalibor Buljić

**ANALITIČKI OPIS DINAMIČKOG PONAŠANJA
PASIVNOG HIBRIDNOG SUSTAVA BATERIJE I
SUPERKONDENZATORA**

Doktorski rad

Osijek, 2024.

Doktorski je rad izrađen na: Zavodu za elektrostrojarstvo, Fakulteta elektrotehnike, računarstva i informacijskih tehnologija Osijek, Sveučilišta Josipa Jurja Strossmayera u Osijeku.

Engleski naziv rada: Analytical description of the dynamic behaviour of the passive hybrid battery and supercapacitor system

Doktorski je rad izrađen je pod vodstvom:

mentora: Prof. dr. sc. Tomislava Barića, dipl. ing. el.

sumentora: Prof. dr. sc. Hrvoja Glavaša, dipl. ing. el.

Doktorski rad ima 124 stranica

Doktorski rad broj: 100

Povjerenstvo za ocjenu teme doktorskog rada:

- Izv. prof. dr. sc. Krešimir Fekete, predsjednik povjerenstva, FERIT Osijek
- Prof. dr. sc. Kruno Miličević, član povjerenstva, FERIT Osijek
- Prof. dr. sc. Bojan Trkulja, član povjerenstva, FER Zagreb

Obrana teme doktorskog rada održana je 19. srpnja 2024.

Povjerenstvo za obranu doktorskog rada:

- Izv. prof. dr. sc. Krešimir Fekete, predsjednik povjerenstva, FERIT Osijek
- Prof. dr. sc. Kruno Miličević, član povjerenstva, FERIT Osijek
- Prof. dr. sc. Bojan Trkulja, član povjerenstva, FER Zagreb

Datum obrane doktorskog rada: 16. 12. 2024.

Iskrena zahvala mojoj obitelji koji su svojom neprocjenjivom podrškom, strpljenjem i ljubavlju bili moja snaga i energija tijekom cijelog procesa izrade ovoga rada.

Posebna zahvala mojoj supruzi Mariji te našoj kćerki Antoniji i sinu Zvonimиру čija su prisutnost i razumijevanje olakšali moj put.

Veliko hvala mojoj majci Slavici i ocu Žarku na svakoj podršci kroz sve životne etape.

Neizmjerno hvala mome mentoru prof. dr. sc. Tomislavu Bariću i sumentoru prof. dr. sc. Hrvoju

Glavašu

na nepokolebljivom vodstvu, strpljenju i pomoći tijekom svih procedura i izazova koje donosi akademski put.

Zahvalujem se svim ostalim kolegama i priateljima koji su na bilo koji način pomogli prilikom izrade ovoga rada.

SADRŽAJ

1. UVOD	1
1.1 Organizacija i struktura doktorske disertacije	5
2. HIBRIDNI SUSTAVI BATERIJA I SUPERKONDENZATORA	7
2.1 Osnovno o baterijama i superkondenzatorima	7
2.2 Topologije hibridnih sustava baterije i superkondenzatora	14
3. ANALITIČKI OPIS DINAMIČKOG VLADANJA PASIVNOG HBSS-A	18
3.1 Matematički model dinamičkog vladanja pasivnog HBSS-a	18
3.2 Diskusija	42
4. ENERGETSKA UČINKOVITOST PASIVNOG HBSS-a	44
4.1 Matematički model energetske učinkovitosti	44
4.2 Numerički izračuni energetske učinkovitosti	53
4.3 Diskusija i analiza rezultata	54
5. UJEDNAČIVAČI NAPONA NA SUPERKONDEZATORIMA	56
5.1 Tehnike ujednačivanja (balansiranja) napona na superkondenzatorima	58
5.2 Ujednačivač napona zasnovan na preklapanju superkondenzatora	61
5.3 Matematički opis ujednačavanja napona	64
6. PROCES UJEDNAČAVANJA NAPONA PREDSTAVLJEN KAO MARKOVLJEV LANAC	76
6.1 Modeliranje procesa ujednačavanja napona kao Markoljev lanac	77
6.2 Numerički izračun	80
6.3 Analiza rezultata	85
7. LABORATORIJSKA MJERENJA	88
7.1 Namjenski izrađen strujni uvor	88

7.2 Mjerenje valnog oblika napona na priključcima (terminalima) HBSS-a	94
7.3 Mjerenje valnih oblika struja baterije i superkondenzatora unutar HBSS-a ...	99
7.4 Diskusija i analiza rezultata	100
8. ZAKLJUČAK	101
SAŽETAK	104
ABSTRACT	105
ŽIVOTOPIS.....	106
LITERATURA.....	107
POPIS KORIŠTENIH OZNAKA I SIMBOLA	118
POPIS SLIKA	120
POPIS TABLICA	124

1. UVOD

Posljednjih nekoliko desetljeća obilježeno je vrlo izraženim trendovima napretka u elektrotehnici koji su združeno pridonijeli te još uvijek pridonose napretku na području sustava za pohranu energije (engl. *energy storage systems*), odnosno napajanja korištenjem baterija, superkondenzatora i hibridnih sustava baterija i superkondenzatora. Uz trendove kontinuiranog tehničkog napretka u pohrani energije, pojavili su se i drugi trendovi, socijalni, tehno-ekonomski, te geopolitički koji usmjeravaju k sve većoj upotrebi napajanja korištenjem baterija, superkondenzatora i hibridnih sustava baterija i superkondenzatora. Za ilustraciju navedenog, prikladno je dati kratak osvrt na pojedine trendove, a nakon toga kratak opis napretka na području hibridnih sustava baterija i superkondenzatora te važnosti teorijskih spoznaja na području hibridnih sustava baterija i superkondenzatora, kao i motivaciju za pisanje ovog rada.

Iako se znatnija upotreba baterija u sustavima za pohranu energije može pratiti od pojave punjivih baterija kao što su olovno-kiselinske baterije, nikal-kadmijeve baterije (NiCd), nikal-metal-hidrid baterije (NiMH), drastičan napredak i diseminacija upotrebe napajanja korištenjem baterija nastupa otkrićem i komercijalizacijom litij-ionske baterije (engl. *li-ion battery*) [1]. Prvi prototip moderne litij-ionske baterije razvio je 1985. godine Akira Yoshino, a 1991. ju je godine komercijalizirala tvrtka Sony. Litij-ionska baterija ubrzo je našla svoje primjene u prijenosnim uređajima gotovo svih vrsta kao što su ručni alati, mobiteli, radio uređaji, ručne radio stanice, prijenosni repetitori, pametni telefoni, prijenosna računala, ručne i naglavne svjetiljke, signalizacijska oprema, medicinska oprema, satovi, digitalni fotoaparati i kamere, ručne termo kamere, prijenosni mjerni uređaji, neprekidna napajanja (UPS-ovi), dronovi, navigacijski uređaji te mnogi drugi uređaji. Izniman je doprinos litij-ionskih baterija razvoju modernog društva, ekonomije i tehničkog napretka prepoznat te je Nobelova nagrada iz kemije za 2019. dodijeljena istraživačima Johnu B. Goodenoughu, M. Stanleyu Whittingha i Akiri Yoshino za doprinos u razvoju litij-ionske baterije [2].

Diseminaciji upotrebe baterija pridonio je napredak na polju poluvodiča. S jedne strane, pojavili su integrirani krugovi koji omogućavaju jednostavnu implementaciju nadzora punjenja baterija, nadstrujne zaštite baterije, zaštite od kratkog spoja baterija, termičke zaštite baterija, nadzora napona i stanja napunjenoosti i sustave upravljanja baterijama (engl. *battery management systems*) [3].

S druge strane, uz kontinuirani napredak poluvodiča zasnovanih na siliciju (Si) namijenjenih za sklopove energetske elektronike (diode, tiristori, tranzistori) i prethodno navedenih integriranih krugova, ostvaren je znatan napredak poluvodiča koji imaju širok zabranjeni energetski pojas (engl. *wide-bandgap*) [4]. Među navedenima posebno se ističu silicij-karbid (SiC) i galij-nitrid (GaN) [5, 6]. MOSFETi snage izgrađeni od ovih poluvodiča imaju višu dozvoljenu radnu temperaturu, manje neželjene kapacitete, manji otpor kada su potpuno vodljivi ($R_{DS(ON)}$) te viši dozvoljeni radni napon u odnosu na MOSFETe izgrađene od silicija. Manji neželjeni kapaciteti omogućavaju rad sklopova energetske elektronike na višim frekvencijama sklopnih radnji [5, 6]. Više dozvoljene radne temperature smanjuju zahtjeve za hlađenjem te su rashladni sustavi jednostavniji i manjih dimenzija. Manji otpor kanala kada je tranzistor potpuno vodljiv ($R_{DS(ON)}$) smanjuje gubitke te se povećava energetska učinkovitost sklopova energetske elektronike u kojima su ugrađeni [5, 6].

Superkondenzatori [7, 8], kao i litij-ionske baterije [2], spadaju među modernije spremnike energije (engl. *energy storage devices*). Prvi komercijalno dostupni superkondenzatori pojavili su se 1978. godine kada ih je tvrtka Panasonic plasirala na tržiste pod nazivom "Goldcaps". Superkondenzatori su specifični po tome što su izgrađeni od materijala koji su široko dostupni i, što je posebno važno, ekološki su prihvatljivi [9, 10]. Energija se u njima pohranjuje razdvajanjem naboja na granici krute i tekuće tvari [7, 8]. Za razliku od baterija, virtualno nemaju ograničenje u broju ciklusa punjenja i pražnjenja tijekom njihova životnog vijeka. Usporedbom gravimetrijske gustoće energije i snage, imaju približno deset puta manju gravimetrijsku gustoću energije te približno deset puta veću gravimetrijsku gustoću snage u odnosu na baterije [10]. Superkondenzatori imaju znatno manji unutarnji električni otpor (ekvivalentni serijski otpor) u odnosu na baterije. Zbog toga, kada predaju znatnu snagu ili primaju znatnu snagu, nastali gubici u njima znatno su manji nego u baterijama. Navedeno ih čini boljim izvorima/uvorima snage u odnosu na baterije, ali lošijim spremnicima energije u odnosu na baterije. Stoga su pogodni za primjene kod kojih je u kratkom vremenu potrebno isporučiti znatnu snagu uz kraće trajanje isporuke snage jer su lošiji spremnici energije u odnosu na baterije. Ove dijametralno suprotne osobine mogu se iskoristiti združivanjem superkondenzatora i baterija u jedan sistem, uobičajeno zvan hibridni sistem baterije i superkondenzatora (engl. *Hybrid Battery Supercapacitor System (HBSS)*). Također, koristi se i naziv (engl. *Hibrid Energy Storage System (HESS)*) [11-13]). Ujedno, iako to nije odmah očigledno, združivanje baterije i superkondenzatora u jedan sistem donosi i druge pogodnosti.

Među istaknutim su pogodnostima manji pad napona na priključku hibridnog sustava pri pojavi naglih strujnih opterećenja u odnosu na napajanje samo s baterijom. Baterija je u hibridnom sustavu manje opterećena dinamičkom komponentom struje tereta [14]. Baterija se u hibridnom sustavu baterije i superkondenzatora manje zagrijava te ima dulji životni vijek [14]. Također, pri dinamičkom opterećenju, hibridni sustav baterije i superkondenzatora energetski je učinkovitiji u odnosu na napajanje baterijom [15]. Brojne prednosti koje imaju hibridni sustavi baterija i superkondenzatora pri napajanju dinamičkih tereta, potreba za što racionalnijim korištenjem energije i tranzicija zelenoj energiji potaknuli su brojna istraživanja na polju hibridnih sustava baterija i superkondenzatora. Jedno je takvo istraživanje provedeno u okviru ovog doktorskog rada.

U ovom doktorskom radu fokus je stavljen na matematičko modeliranje, odnosno analitički opis dinamičkog ponašanja pasivnog hibridnog sustava baterije i superkondenzatora [14]. U radu su izvedeni analitički izrazi kojima su opisane naponske prilike na priključku hibridnog sustava baterije i superkondenzatora pri dinamičkom opterećenju. Također, izvedeni su izrazi kojima su opisane struje baterije i superkondenzatora pri dinamičkom opterećenju baterije i superkondenzatora. Definiran je pomoćni parametar pasivnog hibridnog sustava baterije i superkondenzatora koji uspostavlja funkcionalni odnos između unutarnjih otpora sustava i strujno-naponskih prilika i gubitaka u svrhu jednostavnije analize tijekom dinamičkog opterećenja sustava [14, 15].

Analizirana je energetska učinkovitost pasivnog hibridnog sustava baterije i superkondenzatora pri različitim parametrima pasivnog hibridnog sustava baterije i superkondenzatora i dinamičkog opterećenja u odnosu na napajanje samo s baterijom. U tu svrhu, uveden je novi skup jednadžbi za analizu energetske učinkovitosti pasivnog hibridnog sustava baterije i superkondenzatora [15]. Predloženi pristup omogućava bolje fizikalno razumijevanje utjecaja parametara baterije i superkondenzatora na poboljšanje energetske učinkovitosti u odnosu na napajanje samo s baterijom. Također, novouvedeni je skup jednadžbi pogodan za brzo određivanje ponašanja i energetske učinkovitosti hibridnog sustava baterije i superkondenzatora pri dinamičkom opterećenju. Navedeno pridonosi napretku na polju dimenzioniranja komponenti hibridnog sustava baterije i superkondenzatora i optimizaciji. Provedena analiza energetske učinkovitosti pasivnog hibridnog sustava baterije i superkondenzatora rezultirala je pronalaskom optimalnog intervala parametara baterije i superkondenzatora pogodnih za dizajniranje pasivnog hibridnog sustava baterije i superkondenzatora iz tehnološko-ekonomskog aspekta [15].

Nazivni napon superkondenzatora ovisi o kemijskom sastavu elektrolita [1-6] te se uglavnom nalazi u rasponu od 2,5 V do 3,0 V [7, 8, 10]. Takav radni napon odgovarajući je u aplikacijama koje zahtijevaju malu električnu snagu. U aplikacijama koje zahtijevaju veliku električnu snagu koristi se radni napon koji je nekoliko redova veličine veći od nazivnog napona superkondenzatora. Zbog navedenog, u takvim je aplikacijama potrebno serijski spajati superkondenzatore kako bi se postigao odgovarajući radni napon. Zbog rasipanja parametara superkondenzatora, napon duž serijskog spoja superkondenzatora neće biti jednolik po čelijama [16]. Posljedično, kada se koristi serijski spoj superkondenzatora, obavezna je upotreba različitih tehniki za izjednačavanje napona duž serijskog spoja superkondenzatora.

U radu je posebna pažnja posvećena tehnicici ujednačavanja napona na superkondenzatorima zasnovana na preklapanju superkondenzatora. U ovom radu, postupak ujednačavanja napona zasnovan na preklapanju superkondenzatora predstavljen je po *prvi puta kao Markovljev lanac u svrhu analize utjecaja parametara Kirchhoffovog modela sustava i frekvencije preklapanja na ujednačenost napona duž serijskog spoja superkondenzatora*. Prikazan pristup zasnovan na primjeni Markovljevih lanaca pokazao se pogodnim za analizu rada ujednačivača napona zasnovanom na preklapanju superkondenzatora i za određivanje njegovih važnih parametara.

1.1. Organizacija i struktura doktorske disertacije

Doktorski rad podijeljen je u 8 poglavlja.

1. poglavlje daje osvrt na trendove u elektrotehnici vezane uz temu rada. Također, dan je uvod u temu rada i motivaciju za provedeno istraživanje u doktorskom radu.

2. poglavlje daje kratak osvrt na hibridne sustave baterija i superkondenzatora. Opisane su prednosti koje imaju napajanja pomoću hibridnih sustava baterije i superkondenzatora pri dinamičkom opterećenju u odnosu na napajanja samo s baterijama. Također, ukratko su opisane topologije hibridnih sustava baterije i superkondenzatora.

3. poglavlje obrađuje vladanje pasivnog hibridnog sustava baterije i superkondenzatora pri dinamičkom opterećenju. Prikazan je postupak izvođenja analitičkih izraza za napon na priključcima hibridnog sustava baterije i superkondenzatora pri dinamičkom opterećenju. Također, prikazan je postupak izvođenja izraza za struje baterije i superkondenzatora unutar pasivnog hibridnog sustava baterije i superkondenzatora pri dinamičkom opterećenju. Dobiveni analitički izrazi za napone i struje grafički su predstavljeni i komentirani.

4. poglavlje obrađuje energetsku učinkovitost pasivnog hibridnog sustava baterije i superkondenzatora pri dinamičkom opterećenju sustava. Prikazan je postupak izvođenja analitičkih izraza kojima su određeni gubici u pasivnom hibridnom sustavu baterije i superkondenzatora pri dinamičkom opterećenju. Korištenjem dobivenih analitičkih izraza provedena je usporedba gubitaka u pasivnom hibridnom sustavu baterije i superkondenzatora i napajanja ostvarenog samo s baterijom pri različitim parametrima dinamičkog opterećenja. Rezultati analize grafički su predstavljeni i detaljno komentirani. Provedena analiza pokazala je da postoji optimalni interval parametara baterije i superkondenzatora pogodnih za dizajniranje pasivnog hibridnog sustava baterije i superkondenzatora iz tehno-ekonomskog aspekta.

5. poglavlje obrađuje problematiku vezanu uz neujednačenost napona duž serijskih spojeva superkondenzatora. Izneseni su razlozi zbog kojih se koriste serijski spojevi superkondenzatora te razlozi nastajanja neujednačenosti napona na superkondenzatorima duž serijskog spoja superkondenzatora. Ukratko su predstavljene tehnike ujednačavanja (balansiranja) napona na superkondenzatorima. Detaljniji osvrt dan je na tehniku ujednačavanja napona na superkondenzatorima zasnovanu na preklapanju superkondenzatora.

6. poglavlje obrađuje postupak izvođenja analitičkih izraza kojima je opisana prijelazna pojava ujednačavanja napona između superkondenzatora. Također, opisan je postupak korištenja izvedenih analitičkih izraza u postupku predstavljanja procesa ujednačavanja napona na superkondenzatorima kao Markovljevog lanca. Postupak ujednačavanja napona preklapanjem superkondenzatora, predstavljen kao Markovljev lanac, korišten je u svrhu analize utjecaja parametara Kirchhoffovog modela sustava i frekvencije preklapanja na ujednačenost napona duž serijskog spoja superkondenzatora.

7. poglavlje obrađuje laboratorijska mjerena. U okviru laboratorijskih mjerena provedena su mjerena napona na priključcima pasivnog hibridnog sustava baterije i superkondenzatora pri dinamičkom opterećenju. Također, provedena su mjerena struja baterije i superkondenzatora unutar hibridnog sustava baterije i superkondenzatora pri dinamičkom opterećenju. Dobiveni mjerni rezultati uspoređeni su s teorijski predviđenim veličinama prema izvedenim izrazima iz trećeg poglavlja. Uočena razlika između teorijski predviđenih iznosa fizikalnih veličina i veličina dobivenih mjerenjem analizirana je i komentirana.

8. poglavlje donosi zaključak doktorskog rada u kojemu su opisane spoznaje do kojih se došlo nakon provedenog istraživanja.

2. HIBRIDNI SUSTAVI BATERIJA I SUPERKONDENZATORA

Napredak na području električnih pogona vozila velikim dijelom može se pripisati napretku baterija. U aplikacijama kod kojih je opterećenje izrazito dinamičko, karakteristike je baterije potrebno optimizirati tako da imaju sposobnost isporučivanja i prihvata električne snage (rekuperacija) koje diktira dinamičko opterećenje. Rezultat je optimiranja baterije smanjena gravimetrijska gustoća energije baterije, što se negativno odražava na autonomiju vozila, odnosno kraće vrijeme rada u slučaju drugih primjena kao što su neprekidna napajanja te razni alatni strojevi. Takav nepovoljan ishod nužnih kompromisa u procesu optimiranja parametara baterije može se izbjegći upotrebom hibridnih sustava baterije i superkondenzatora umjesto napajanja samo s baterijama. U aplikacijama kod kojih je opterećenje izrazito dinamičko, hibridni sustavi baterije i superkondenzatora imaju brojne prednosti u odnosu na napajanje realizirano samo s baterijama. U ovom su radu detaljno opisane pogodnosti koje proistječu upotrebom hibridnih sustava baterije i superkondenzatora u odnosu na napajanja realizirana samo s baterijama. Naglasak rada stavljen je na opis pasivnog hibridnog sustava baterije i superkondenzatora, koji unatoč svojoj jednostavnosti, pruža brojne prednosti u odnosu na samostalne baterije. Također, prezentirane su i druge topologije hibridnih sustava baterija i superkondenzatora kojima su nadvladana inherentna ograničenja pasivnog hibridnog sustava.

2.1 Osnovno o baterijama i superkondenzatorima

Za bolje razumijevanje prednosti koje donose hibridni sustavi baterija i superkondenzatora pri dinamičkom opterećenju u odnosu na samostalne baterije, prikladno je prvo dati kratak osvrt na pojedinačne, specifične karakteristike baterija i superkondenzatora. Zatim, nakon upoznavanja sa specifičnim karakteristikama, obama spremnicima energije bit će dane karakteristike koje ima hibridni sustav i aplikacije u kojima su te karakteristike poželjne. Baterije (engl. *batteries*) i superkondenzatori (engl. *supercapacitors* (SCs)), poznati još i pod nazivom ultrakondenzatori (engl. *ultracapacitors* (UCs)), komponente su za pohranu energije (engl. *energy storage devices*) koji pohranjuju energiju kroz potpuno različite procese. Baterije pohranjuju energiju kroz kemijske procese [1, 17, 18], dok superkondenzatori pohranjuju energiju kroz process razdvajanja naboja na sučelju između krute i tekuće tvari (engl. *solid-liquid interface*) [8-10, 19-24]. Superkondenzatori su relativno nova tehnologija za pohranu energije [8-10, 19-24].

Za izradu superkondenzatora koriste se materijali koji su široko dostupni (karbon za elektrode), a koji su ujedno ekološki prihvativi jer su biološki razgradivi [19-24]. Superkondenzatori su specifični i po tome što kao komponente imaju ekstremno dug životni vijek. Ukoliko im je radni napon manji od nazivnog, virtualno nemaju ograničenja u broju ciklusa punjenja i pražnjenja. Također, imaju ekstremno mali unutarnji ekvivalentni serijski otpor, reda veličine desetaka milioma. Radi navedenog, superkondenzatori su dobri izvori/uvori snage, tj. mogu se brzo puniti i prazniti, znatno brže negoli baterije. Kratak popis istaknutih (glavnih) prednosti i nedostataka koje imaju superkondenzatori dan je u tablici 2.1. [25].

Tablica 2.1. Istaknute (glavne) prednosti i nedostatci superkondenzatora

Prednosti	Nedostatci
▪ Velika specifična gustoća snage	▪ Mala specifična gustoća energije
▪ Brzo punjenje i pražnjenje	▪ U serijskim spojevima potrebni krugovi za ujednačavanje (balansiranje) napona
▪ Nema rizika eksplozije pri kratkom spolu	▪ Napon na priključcima i SOC (engl. <i>State of Charge</i>) izravno su proporcionalni
▪ Automatski prestaje tok energije kada se napuni	▪ Izazovi u dostavi i cjeni (većina je proizvođača u Aziji)
▪ Ekstremno mal unutarnji otpor ($ESR \approx 0,01 \Omega$)	▪ Vrlo kratko trajanje isporuke snage
▪ Dug rok trajanja i dug životni vijek	▪ Najviša dielektrična apsorpcija u odnosu na sve kondenzatore
▪ Bez emisije plinova i ekološki prihvativi	

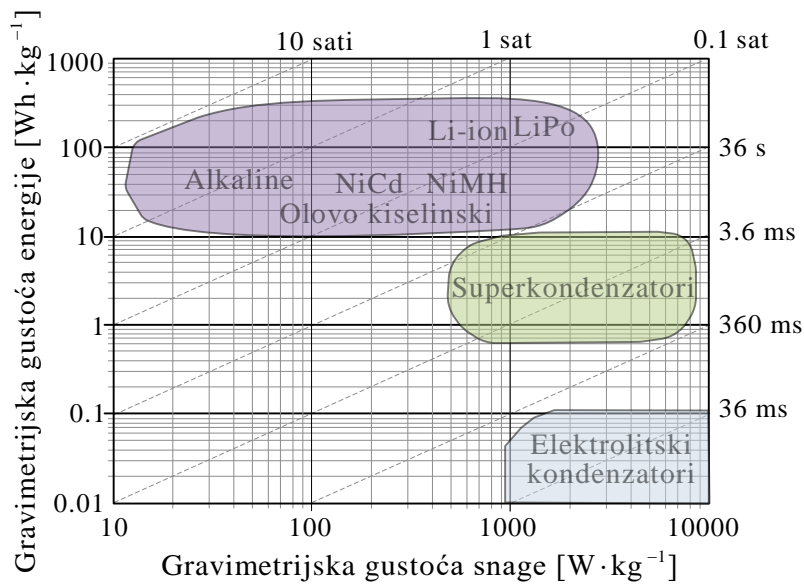
Zornija predodžba prednosti i nedostataka superkondenzatora u odnosu na baterije može se dobiti usporedbom najčešće korištenih tehničkih parametara. Detaljnija usporedba baterija i superkondenzatora na osnovi najčešće korištenih tehničkih parametara dana je u tablici 2.2 [25]. U tablici 2.2 [25] dani su tehnički parametri za tri vrste baterija i superkondenzatora. Zelenom bojom označeni su tehnički parametri koji su kod superkondenzatora bolji ili jednaki u odnosu na baterije, a crvenom bojom označeni su tehnički parametri koji su kod superkondenzatora lošiji u odnosu na baterije. Kao što se može opaziti, jedini tehnički parametar koji je kod superkondenzatora lošiji u odnosu na baterije jest specifična gustoća energije.

Tablica 2.2. Usپoredба superkondenzatora s različitim vrstama baterija

Parametar	Baterija olovnih kiselina/ Lead-acid battery	Litij-ionska baterija/ Lithium-ion battery	Protočna redoks baterija/ Redox-flow battery	Superkondenzator/ Supercapacitor
Specifična gustoća energije (Wh/kg)/ Specific energy density (Wh/kg)	10–100	150–200	10–50	1–10
Specifična gustoća snage (W/kg)/ Specific power density (W/kg)	< 1000	< 2000	< 200	< 10 000
Životni ciklus/ Life cycle	1000	5000	10 000	> 50 000
Učinkovitost punjenja i pražnjenja/ Charge and discharge efficiency	70–85 %	99 %	70–85 %	85–98 %
Trajanje brzog punjenja/ Fast charge duration	1-5 h	0,5 – 3 h	1-10 h	0,3-30 s
Trajanje brzog pražnjenja/ Fast discharge duration	0,3-3 h	0,3-3 h	1-10 h	0,3-30 s
Rok trajanja (godine)/ Shelf life (years)	5-15	10-20	5-15	20
Cijena/ Cost	Niska	Visoka	Srednja	Srednja
Sigurnost i prihvatljivost prirodi/ Safety and nature-friendly way	Niska	Niska	Srednja	Srednja
Radna temperatura (°C)/ Operation temperature (°C)	od -5 do 40	od -30 do 60	od 0 do 40	od -40 do 75

Iz energetske perspektive, posebno naglašene karakteristike po kojima se razlikuju baterije i superkondenzatori, kao komponente za pohranu energije, su gravimetrijska gustoća snage i gravimetrijska gustoća energije [26-28]. U usporedbi s baterijama, superkondenzatori imaju znatno veću gravimetrijsku gustoću snage (približno red veličine, tj. oko 10 puta), ali i znatno manju gravimetrijsku gustoću energije (približno red veličine, tj. oko 10 puta). Radi navedenog su baterije bolje kao uređaji za pohranu energije, a superkondenzatori kao komponente gdje je potrebna kratkotrajna vršna snaga (slika 2.1. [26-28]). Na slici 2.1 prikazan je Ragoneov dijagram odabralih tehnologija za pohranu energije koje nemaju pokretne dijelove (engl. *solid state technology*).

Oba poželjna, ali dijagonalno suprotna svojstva, s obzirom na gravimetrijsku gustoću pohranjene energije i gustoću pohranjene snage, mogu se eksplorativirati združivanjem, odnosno hibridiziranjem baterija i superkondenzatora u jedan sustav. Takav sustav uobičajeno se naziva hibridni sustav baterije i superkondenzatora za pohranu energije (engl. *hybrid battery-supercapacitor energy storage system (Battery-SC HESS)*) [29-34]. U upotrebi je i naziv hibridni sustav baterije i superkondenzatora (engl. *hybrid battery-supercapacitor energy storage system, (HBSS)*).

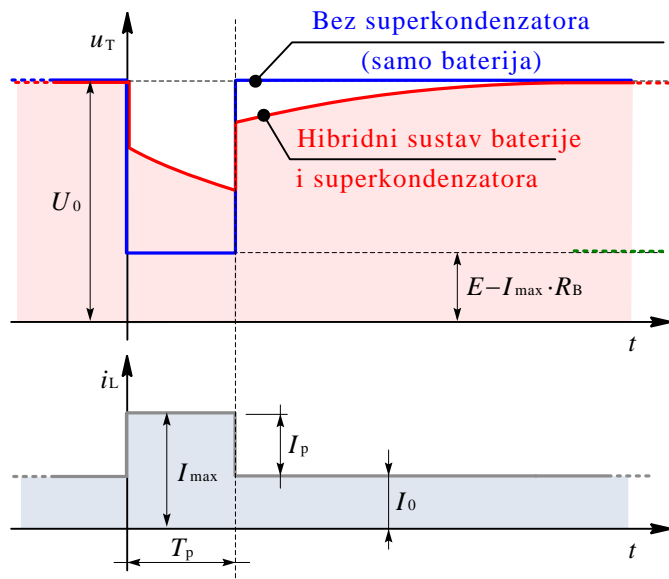


Slika 2.1. Ragoneov dijagram proizvoljno odabralih spremnika energije

S obzirom na gravimetrijsku gustoću snage i gravimetrijsku gustoću energije, hibridni bi se sustav baterije i superkondenzatora pozicionirao između baterije i superkondenzatora u Ragoneovom dijagramu. Iako to nije odmah očigledno, kao rezultat hibridizacije, hibridni sustavi baterija i superkondenzatora imaju i mnoga druga poželjna svojstva u odnosu na sisteme napajanja električnom energijom realiziranih samo s baterijama. Navedena poželjna svojstva, odnosno prednosti koje imaju hibridni sustavi baterija i superkondenzatora spram napajanja realizirana samo s baterijama razlog su sve veće upotrebe hibridnih sustava baterija i superkondenzatora u primjenama gdje se očekuju dinamička opterećenja. Slijedi sažeti opis istaknutih prednosti koje imaju hibridni sustavi baterija i superkondenzatora spram napajanja realizirana samo s baterijama.

Manje izraženi padovi napona na priključcima hibridnog sustava

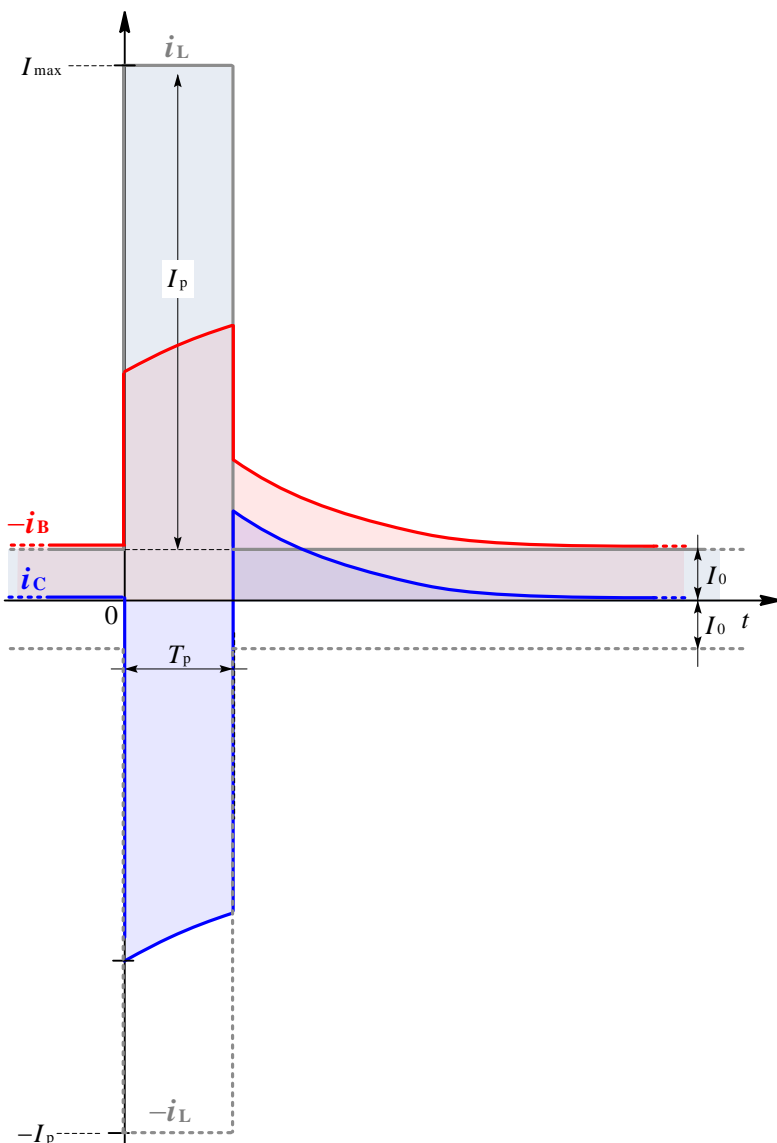
Pri napajanju dinamičkih tereta, pri naglom povećanju struje tereta, na priključcima hibridnog sustava baterije i superkondenzatora znatno su manji padovi napona u odnosu na slučaj kada bi, pri istom opterećenju, napajanje bilo realizirano samo s baterijom [14, 15, 26, 28, 35]. Za ilustraciju navedenog, mogu poslužiti grafički prikazi dan ina slici 2.2. [14]. Na slici 2.2 [14] prikazani su valni oblici struje tereta i napona na terminalima baterije s i bez superkondenzatora. S u_T je označen napon na terminalima (priključcima) baterije i superkondenzatora. Plavom bojom označen je napon na terminalima baterije, a crvenom bojom napon terminalima hibridnog sustava baterije i superkondenzatora. S U_0 je označen napon u ustaljenom stanju pri konstantnoj struji tereta I_0 . Struja tereta opisana je kao valni oblik u kojemu su superponirana konstantna struja opterećenja I_0 i dinamička komponenta pravokutnog valnog oblika vršnog iznosa I_p . Pri pojavi strujnog pulsa, napon na terminalima baterije (valni oblik u_T prikazan plavom bojom) naglo opada radi pada napona na unutarnjem otporu baterije. Kod hibridnog sustava baterije i superkondenzatora iznos je pada napona znatno manji (valni oblik u_T prikazan crvenom bojom), ali se proteže dulje, tj. i nakon što strujni puls nestane. Razlog je tome što nakon nestanka strujnog pulsa započinje proces punjenja superkondenzatora.



Slika 2.2. Valni oblik struje tereta i napon na terminalima baterije s i bez superkondenzatora

Smanjena struja baterije unutar hibridnog sustava baterije i superkondenzatora

Tijekom trajanja dinamičkog opterećenja, dinamička je komponenta struje tereta unutar HBSS-a distribuirana između baterije i superkondenzatora. Inicijalno, pri pojavi strujnog pulsa veći dio strujnog pulsa na sebe preuzima superkondenzator, a manji dio baterija [14, 26, 36-40]. Odnosno, započinje se pražnjenje superkondenzatora koje traje sve dok traje strujni puls (slika 2.3. [14]). Nakon inicijalne preraspodjele struje pulsa, tijekom trajanja strujnog pulsa, baterija unutar HBSS-a postupno preuzima na sebe sve veći dio struje pulsa, a opterećenje se superkondenzatora smanjuje. Nestankom strujnog pulsa započinje proces ponovnog punjenja superkondenzatora (slika 2.3. [14]). U nastavku rada bit će pokazano kako se dolazi do analitičkih izraza kojima su opisani valni oblici struja prikazanih na slici 2.3. [14].



Slika 2.3. Valni oblici struje tereta, baterije i superkondenzatora

Manja nadtemperatura i termičko naprezanje baterije i dulji životni vijek baterije

Toplinski gubici koji se javljaju u bateriji proporcionalni su s kvadratom struje koja protjeće baterijom. Radi toga što je struja baterije reducirana u hibridnom sustavu baterije i superkondenzatora u odnosu na napajanje realizirano samo s baterijom, dramatično su smanjeni toplinski gubici unutar baterije koja se nalazi u hibridnom sustavu baterije i superkondenzatora u odnosu na napajanje realizirano samo s baterijom. Zbog toga što su znatno smanjeni toplinski gubici u bateriji kao komponente hibridnog sustava, smanjena je i prosječna nadtemperatura baterije. Ujedno, brzina kojom se temperatura baterije mijenja od polazne temperature okoline do radne temperature također se smanjuje. Zbog smanjene brzine kojom se temperatura baterije kao komponente HBSS-a mijenja, smanjeno je termičko naprezanje (termički stres) baterije. Opće je poznato (Arheniusov zakon) da što je radna temperatura komponente niža, životni je vijek komponente dulji. Navedeno vrijedi i za bateriju. Duljem životnom vijeku baterije dodatno pridonosi i smanjena brzina kojom se temperatura povećava do radne temperature (manji termički stres) [14, 15, 40- 42].

Veće vršno opterećenje sistema i bolja rekuperacija

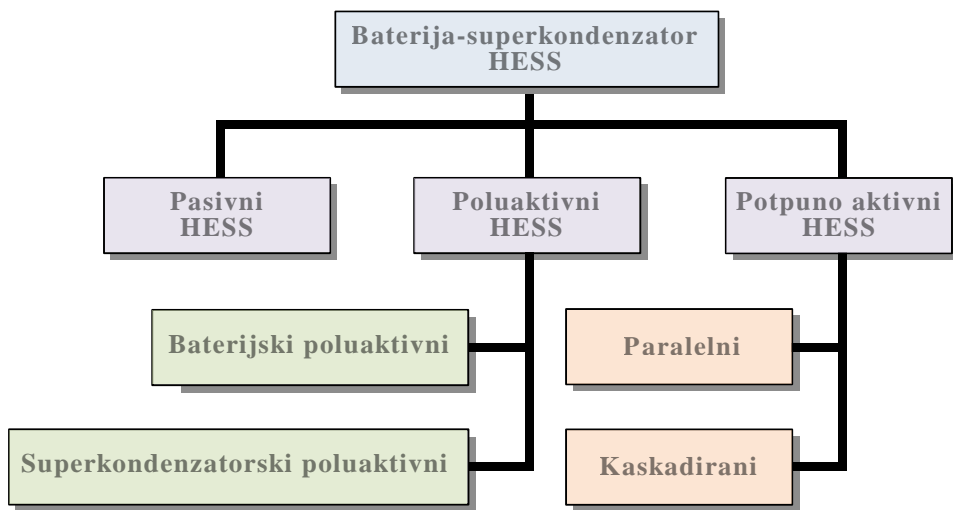
Prisutnost superkondenzatora u hibridnom sustavu baterije i superkondenzatora povećava vršnu snagu koju može hibridni sustav baterije i superkondenzatora isporučiti prema ukazanoj potrebi tereta (potrošača). Također, vrijedi i obrnuto, prisutnost superkondenzatora u hibridnom sustavu baterije i superkondenzatora povećava sposobnost apsorpcije (prihvata) snage, što je važno u aplikacijama kao što je kočenje električnih pogona gdje je važno što više kinetičke energije ponovno pretvoriti u električnu energiju (rekuperacija) [15].

Veća energetska učinkovitost

S obzirom da prisutnost superkondenzatora u hibridnom sustavu baterije i superkondenzatora smanjuje struju baterije tijekom dinamičkog opterećenja, smanjeni su gubici u bateriji pri dinamičkom opterećenju. Zbog navedenog, pri dinamičkom opterećenju, hibridni sustav baterije i superkondenzatora ima veću energetsku učinkovitost u odnosu na napajanje realizirano samo s baterijom [15, 35, 43].

2.2 Topologije hibridnih sustava baterije i superkondenzatora

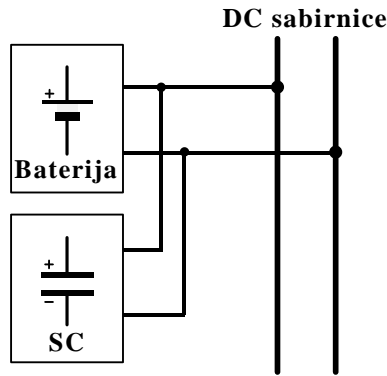
Zbog brojnih navedenih prednosti koje hibridni sustavi baterije i superkondenzatora imaju u odnosu na sustave napajanja zasnovane samo na baterijama te iz razloga što najjednostavnija topologija baterije i superkondenzatora, tzv. pasivni hibridni sustav baterije i superkondenzatora, ima inherentna ograničenja, provedena su brojna istraživanja i razvijene različite topologije kako bi se prednosti koje pružaju hibridni sustavi mogli bolje eksploatirati u specifičnim scenarijima (slika 2.4. [15, 29-34, 44]). Iz konteksta optimalnog korištenja sustava za pohranu energije (engl. *energy storage system (ESS)*), odnosno njegovih elemenata, predloženo je nekoliko topologija hibridnih sustava baterija i superkondenzatora (engl. *hybrid battery supercapacitor system*, također se koristi akronim engl. *energy storage systems*).



Slika 2.4. Jezgrovita podjela topologija hibridnih sustava baterije i superkondenzatora za pohranu energije (engl. *battery-supercapacitor HESS*)

Topološki najjednostavniji hibridni sustav baterije i superkondenzatora jest takozvani pasivni hibridni sustav baterije i superkondenzatora za pohranu energije (engl. *passive HESS*). Baterija i superkondenzator spojeni su paralelno na zajedničke istosmjerne sabirnice (engl. *DC bus*) (slika 2.5. [44]).

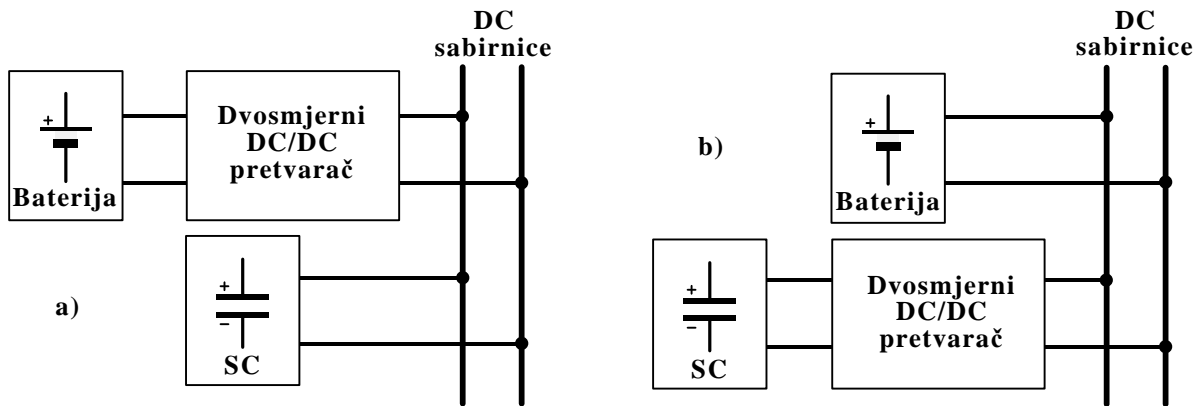
Iako se to eksplisitno ne navodi, podrazumijeva se da baterija može sadržavati sustav za ujednačavanje napona te zaštitne strujne krugove kao što su nadstrujna zaštita, zaštita od kratkog spoja i termička zaštita [18]. Također, isto se odnosi i na superkondenzatore. Ukoliko ih je više spojeno u seriju radi postizanja odgovarajućeg radnog napona, podrazumijeva se da je prisutan sustav za ujednačavanje napona (engl. *voltage equalizer, voltage balancing circuit*).



Slika 2.5. Pasivni hibridni sustav baterije i superkondenzatora (engl. *passive HESS*)

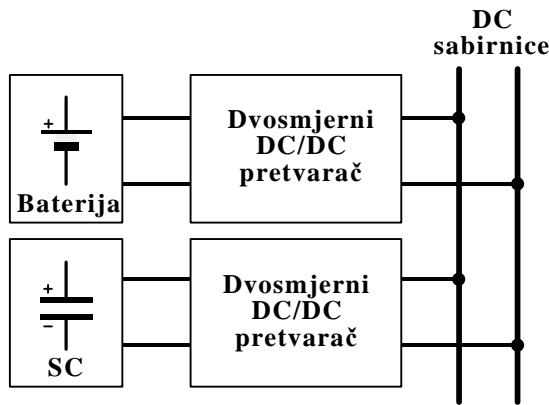
Inherentni nedostatak pasivnog hibridnog sustava baterije i superkondenzatora jest taj što su tokovi snaga prilikom punjenja energijom i pražnjenja hibridnog sustava određeni parametrima baterije i superkondenzatorima. Stoga je optimiranje rada ovakvoga sustava vrlo ograničeno. Optimiranje rada ovakvog sustava zasniva se na poznavanju karakteristike tereta prema kojoj se biraju parametri baterije i superkondenzatora. Ukoliko se karakteristika tereta promijeni tijekom rada pasivnog sustava ili se parametri hibridnog sustava promijene zbog stareњa, i/ili vanjskih utjecaja kao što je temperatura, sustav prestaje biti optimiran. Bolja prilagodba karakteristici tereta te promjeni parametara hibridnog sustava uz nešto složeniji sustav može se postići korištenjem dvosmjernog istosmjernog pretvarača (engl. *bidirectional DC/DC converter*). Upotreboom dvosmjernog istosmjernog pretvarača postavljenog ili između baterije i zajedničkih istosmjernih sabirnica (slika 2.6.a [44]) ili između superkondenzatora i zajedničkih istosmjernih sabirnica (slika 2.6.b [44]) dobiva se topološki nešto složenija struktura u odnosu na pasivni hibridni sustav baterije i superkondenzatora, ali zato je moguće bolje eksplotirati svojstva baterije ili superkondenzatora, odnosno optimizirati njihov rad [44].

Ukoliko je dvosmjerni istosmjerni pretvarač postavljen između baterije i zajedničkih istosmjernih sabirnica (slika 2.6.a [44]), takva topologija naziva se baterijski poluaktivna topologija hibridnog sustava baterije i superkondenzatora (engl. *battery semi-active hybrid energy storage system topology*) [44]. Ukoliko je dvosmjerni istosmjerni pretvarač postavljen između superkondenzatora i zajedničkih istosmjernih sabirnica (slika 2.6.b [44]), takva topologija naziva se superkondenzatorski poluaktivna topologija hibridnog sustava baterije i superkondenzatora (engl. *supercapacitor semi-active hybrid energy storage system topology*) [44].

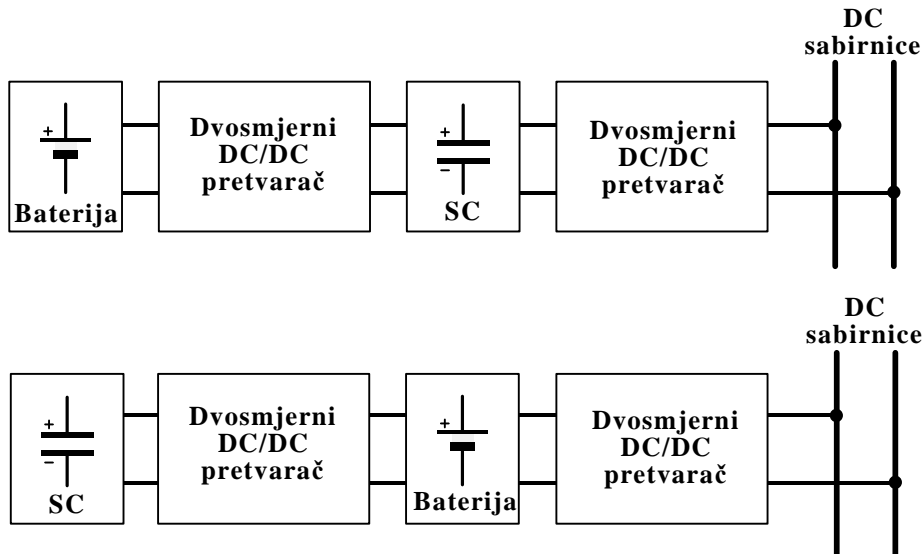


Slika 2.6. Poluaktivni hibridni sustav baterije i superkondenzatora (engl. *semi-active HESS*), a) Baterijski poluaktivna topologija hibridnog sustava baterije i superkondenzatora, b) superkondenzatorski poluaktivna topologija hibridnog sustava baterije i superkondenzatora

Izoliranje baterije ili superkondenzatora od istosmjerne sabirnice korištenjem dvosmjernog istosmjernog pretvarača omogućava aktivnu kontrolu tokova snage između elemenata hibridnog sustava te povećanu fleksibilnost u konfiguriranju postavki sustava [44]. Znatno veća fleksibilnost u konfiguriranju postavki sustava može se postići upotrebom dvaju istosmjernih dvosmjernih pretvarača (slika 2.7. [44] i slika 2.8. [44]). Takva topologija hibridnog sustava baterije i superkondenzatora naziva se potpuno aktivna topologija hibridnog sustava baterije i superkondenzatora (engl. *fully active HESS*) [44]. Bolja kontrola tokova snaga i prilagodljivost hibridnog sustava postižu se na račun veće složenosti sustava, manje energetske učinkovitosti te većih finansijskih izdataka. Manja energetska učinkovitost posljedica je toga što dvosmjerni istosmjerni pretvarači umanjuju stupanj djelovanja zbog gubitaka u njima [44].



Slika 2.7. Potpuno aktivni paralelni hibridni sustav baterije i superkondenzatora (engl. *parallel full active HESS*)

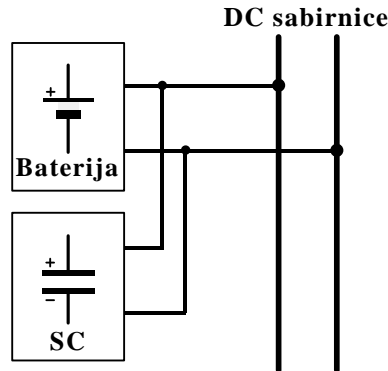


Slika 2.8. Potpuno aktivni kaskadni hibridni sustav baterije i superkondenzatora (engl. *cascaded full active HESS*)

Kod paralelnog potpuno aktivnog hibridnog sustava baterije i superkondenzatora tokovi snaga baterije i superkondenzatora kontroliraju se individualno s dvosmjernim istosmjernim pretvaračima uz održavanje napona istosmjerne sabirnice [44]. Baterija i superkondenzator potpuno su neovisni jedno o drugom, neovisno koliki je napon svakog od njih, i izolirani su od istosmjerne sabirnice [44].

3. ANALITIČKI OPIS DINAMIČKOG VLADANJA PASIVNOG HBSS-a

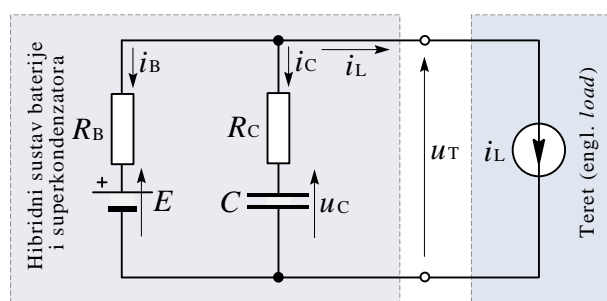
U ovom će poglavlju biti predstavljen i analiziran rad topološki najjednostavnijeg oblika hibridnog sustava baterije i superkondenzatora, takozvani pasivni hibridni sustav baterije i superkondenzatora (HBSS), odnosno pasivni HESS (engl. *passive HESS*). Topološki prikaz pasivnog hibridnog sustava baterije i superkondenzatora dan je na slici 3.1 [14, 15, 44].



Slika 3.1. Pasivni hibridni sustav baterije i superkondenzatora (engl. *passive HESS*)

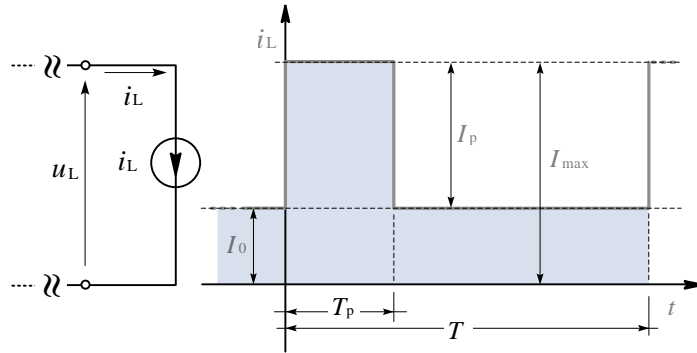
3.1 Matematički model dinamičkog vladanja pasivnog HBSS-a

U literaturi [27, 36-37 39-40 35, 44-46] je pokazano da se rad i ponašanje pasivnog hibridnog sustava baterije i superkondenzatora u uvjetima dinamičkog opterećenja može adekvatno opisati Kirchhoffovom shemom prikazanom na slici 3.2. [14, 15]. U fizikalnom smislu, model prikazan na slici 3.2 [14, 15] sadrži jedan spremnik energije (kapacitet C) te se unaprijed zna da će dinamika prikazanog sustava biti opisana rješenjem diferencijalne jednadžbe prvoga reda.



Slika 3.2. Model prvog reda pasivnog hibridnog sustava baterije i superkondenzatora

Baterija je modelirana serijskim spojem elektromotorne sile (E) i unutarnjeg otpora baterije (R_B). Ovaj je model baterije valjan ukoliko je zanemariva razlika unutarnjeg otpora baterije između procesa punjenja i pražnjenja baterije. Također, s obzirom da je usvojeno da je elektromotorna sila baterije konstantna, smatra se da se baterija neznatno isprazni u vremenskom intervalu za koji se provodi analiza. U suprotnom, iznos elektromotorne sile bio bi funkcija stanja napunjenosti baterije $E=E(\text{SOC})$. Superkondenzator je modeliran kao serijski spoj kapaciteta superkondenzatora (C) i ekvivalentnog serijskog otpora superkondenzatora (R_C). Teret (engl. *load*) je modeliran strujnim uvorom kroz kojega teče vremenski promjenjiva struja (i_L). Valni oblik struje tereta predstavljen je nizom pravokutnih valnih oblika vršne vrijednosti iznosa I_p kojime je predstavljena dinamička komponenta struje tereta i konstantnog dijela iznosa I_0 kojime je predstavljena statička komponenta struje tereta. Model tereta i valni oblik struje tereta prikazan je na slici 3.3 [14, 15, 26, 28].



Slika 3.3. Model tereta i valni oblik struje tereta s prikazanim relevantnim fizikalnim veličinama

Matematički, valni oblik struje tereta može se opisati izrazom [14, 15, 26, 28]:

$$i_L = I_0 + \sum_{k=0}^N (I_p - I_0)(H(t - kT) - H(t - T_p - kT)). \quad (3-1)$$

Gdje su $H(t - kT)$ i $H(t - T_p - kT)$ jedinične step funkcije, tj. Heavisidove jedinične step funkcije.

U ustaljenom stanju, prije pojave strujnog pulsa na terminalima HBSS-a, vlada napon [14]:

$$U_0 = E - I_0 \cdot R_B . \quad (3-2)$$

Za shemu prikazanu na slici 3.2, za svako vrijeme t vrijedi [14]:

$$\dot{i}_L = -i_B - i_C , \quad (3-3)$$

$$E + i_B \cdot R_B - i_C \cdot R_C - u_C = 0 , \quad (3-4)$$

$$i_C = C \cdot \frac{du_C}{dt} . \quad (3-5)$$

Napon na priključcima hibridnog sustava baterije i superkondenzatora u_T , (indeks „T“ dolazi od engl. *terminals*), tj. na zajedničkim DC sabirnicama, što odgovara naponu tereta, te glasi [14]:

$$u_T = u_C + i_C \cdot R_C . \quad (3-6)$$

Kombiniranje izraza (3-3) i (3-4) daje [14]:

$$E - i_L \cdot R_B - i_C \cdot (R_B + R_C) - u_C = 0 . \quad (3-7)$$

Uvrštavanje (3-5) u (3-7) daje [14]:

$$(R_B + R_C) \cdot C \cdot \frac{du_C}{dt} + u_C = E - i_L \cdot R_B . \quad (3-8)$$

Prethodni izraz može se zapisati u sažetijoj formi [14]:

$$\tau \cdot \frac{du_C}{dt} + u_C = E - i_L \cdot R_B . \quad (3-9)$$

Gdje je τ vremenska konstanta koja je određena izrazom [14]:

$$\tau = (R_B + R_C) \cdot C . \quad (3-10)$$

Može se prepoznati da je izraz (3-8) nehomogena diferencijalna jednadžba prvoga reda. Diferencijalna jednadžba (3-8) opisuje prijelazne pojave (engl. *transients*) pražnjenja i punjenja superkondenzatora. U oba slučaja, bilo da je pražnjenje ili punjenje superkondenzatora vremenska konstanta ostaje nepromijenjena. Ovisno o tome odvija li se proces punjenja ili pražnjenja superkondenzatora, u izrazu (3-8) mijenja se jedino struja tereta.

Za proces pražnjenja superkondenzatora $0_+ \leq t \leq T_{p-}$ [14]:

$$i_L = I_0 + I_p . \quad (3-11)$$

Za proces pražnjenja superkondenzatora $T_{p+} \leq t \leq T$ [14]:

$$i_L = I_0. \quad (3-12)$$

Kako bi se razlikovali naponi za svaki pojedini proces, odnosno punjenja i pražnjenja, oznaka u_{C1} koristit će se za proces pražnjenja superkondenzatora, a oznaka u_{C2} će se koristiti za proces punjenja superkondenzatora. Također, ista notacija indeksom bit će korištena za označavanje struja pri punjenju i pražnjenju superkondenzatora te za druge fizikalne veličine, kao što su struja baterije i napon na priključnicama hibridnog sustava baterije i superkondenzatora.

Sukladno navedenom, opći oblik za napon u_C može se napisati u obliku [14]:

$$u_C = \begin{cases} u_{C1} & \text{for } 0_+ \leq t \leq T_p -, \\ u_{C2} & \text{for } T_p + \leq t \leq T. \end{cases} \quad (3-13)$$

Proces pražnjenja superkondenzatora

Za proces pražnjenja superkondenzatora ($0_+ \leq t \leq T_p$) vrijedi [14]:

$$\tau \cdot \frac{du_{C1}}{dt} + u_{C1} = E - (I_0 + I_p) \cdot R_B. \quad (3-14)$$

Prema zakonu komutacije [47], napon na kapacitetu ostaje nepromijenjen tijekom komutacije. Sukladno navedenom, iznos napona u_{C1} u trenutku neposredno prije komutacije ($t = 0_-$) i trenutku neposredno nakon komutacije ($t = 0_+$), tj. neposredno nakon pojave strujnog pulsa ostaje nepromijenjen:

$$u_{C1}(0_-) = u_{C1}(0_+) = E - i_L(0_-) \cdot R_B. \quad (3-15)$$

Kako je $i_L(0_-) = I_0$, vrijedi:

$$u_{C1}(0_-) = u_{C1}(0_+) = E - I_0 \cdot R_B = U_0. \quad (3-16)$$

Primjena Laplaceove transformacije [48] na (3-14) daje:

$$\tau \cdot [s \cdot U_{C1}(s) - u_{C1}(0_-)] + U_{C1}(s) = \frac{E - (I_0 + I_p) \cdot R_B}{s}. \quad (3-17)$$

Preuređivanje prethodnog izraza daje [14]:

$$U_{C1}(s)(1 + \tau \cdot s) = \tau \cdot u_{C1}(0_-) + \frac{E - (I_0 + I_p) \cdot R_B}{s}, \quad (3-18)$$

$$U_{C1}(s) = \tau \cdot \frac{u_{C1}(0_-)}{1 + \tau \cdot s} + \frac{E - (I_0 + I_p) \cdot R_B}{s \cdot (1 + \tau \cdot s)}, \quad (3-19)$$

$$U_{C1}(s) = \frac{u_C(0_-)}{s + \frac{1}{\tau}} + \frac{1}{\tau} \cdot \frac{1}{s} \cdot \frac{(E - (I_0 + I_p) \cdot R_B)}{s + \frac{1}{\tau}}. \quad (3-20)$$

Uvođenjem zamjene [14]:

$$\Delta U_p = I_p \cdot R_B, \quad (3-21)$$

uz uvažavanje (3-16), izraz (3-18) se može pojednostaviti na oblik [14]:

$$U_{C1}(s) = \frac{U_0}{s + \frac{1}{\tau}} + \frac{1}{\tau} \cdot \frac{1}{s} \cdot \frac{U_0 - \Delta U_p}{s + \frac{1}{\tau}}. \quad (3-22)$$

Pad napona ΔU_p ima fizikalno značenje pada napona na bateriji koji bi se pojavio uslijed struje I_p kada ne bi bilo superkondenzatora, odnosno kada bi napajanje bilo realizirano samo s baterijom. Izraz za napon u_{C1} u vremenskoj domeni dobiva se primjenom inverzne Laplaceove transformacije prema izrazima [48]:

$$\frac{1}{s+a} \xrightarrow{L^{-1}} e^{-at}, \quad (3-23)$$

$$\frac{1}{s(s+a)} \xrightarrow{L^{-1}} \frac{1}{a} (1 - e^{-at}). \quad (3-24)$$

Primjenom navedenih inverznih Laplaceovih transformacija [48] na (3-22), dobiva se [14]:

$$u_{C1} = U_0 \cdot e^{-\frac{t}{\tau}} + (U_0 - \Delta U_p) \left(1 - e^{-\frac{t}{\tau}} \right), \quad (3-25)$$

$$u_{C1} = U_0 \left(1 - e^{-\frac{t}{\tau}} + e^{-\frac{t}{\tau}} \right) - \Delta U_p \cdot \left(1 - e^{-\frac{t}{\tau}} \right), \quad (3-26)$$

$$u_{C1} = U_0 - \Delta U_p \cdot \left(1 - e^{-\frac{t}{\tau}} \right). \quad (3-27)$$

Struja superkondenzatora tijekom procesa pražnjenja

Uvrštavanjem (3-27) u (3-5) daje [14]:

$$i_{C1} = C \cdot \frac{du_{C1}}{dt} = C \cdot \frac{d}{dt} \left[U_0 - \Delta U_p \cdot \left(1 - e^{-\frac{t}{\tau}} \right) \right] = -C \cdot \Delta U_p \cdot \frac{d}{dt} \left(1 - e^{-\frac{t}{\tau}} \right). \quad (3-28)$$

Deriviranjem člana u zagradi daje [14]:

$$i_{C1} = -\Delta U_p \cdot \frac{C}{\tau} e^{-\frac{t}{\tau}} = -\frac{\Delta U_p}{R_B + R_C} e^{-\frac{t}{\tau}}. \quad (3-29)$$

Uvažavanjem (3-21), tj. $\Delta U_p = I_p \cdot R_B$ daje [14]:

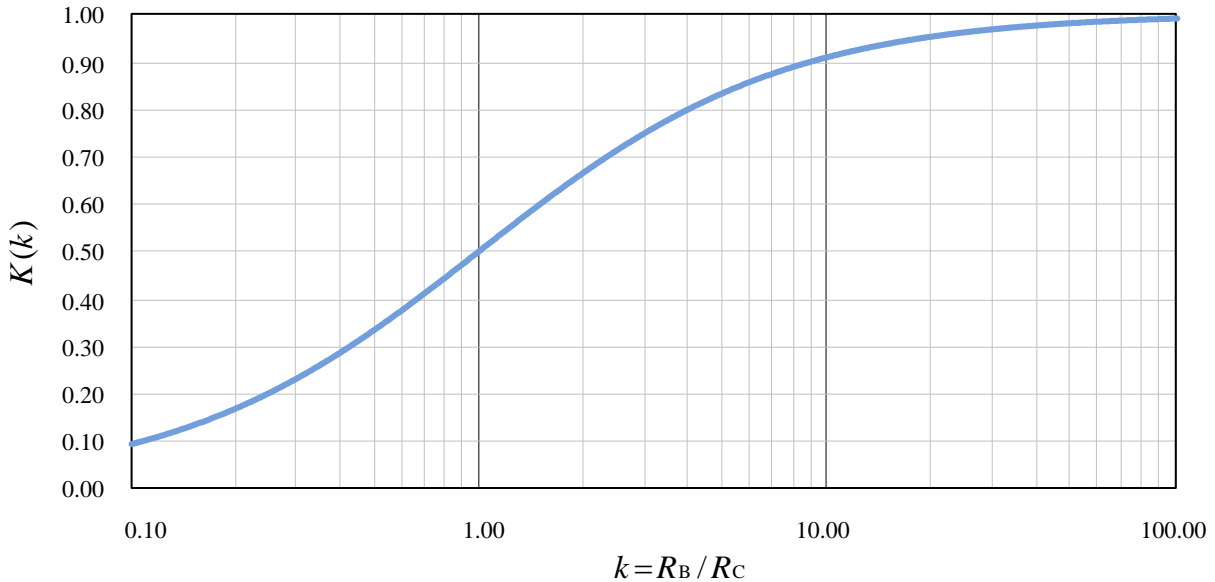
$$i_{C1} = -I_p \cdot \frac{R_B}{R_B + R_C} e^{-\frac{t}{\tau}}. \quad (3-30)$$

Negativni predznak ispred struje znači da struja teče u smjeru koji je suprotan od smjera prikazanog na slici 3.2. Navedeno je očekivano jer se superkondenzator prazni. Zbog dalnjeg jezgrovitijeg zapisivanja izraza koji će slijediti te radi pogodnosti koje će kasnije biti očigledne, mogu se uvesti zamjene [14]:

$$k = \frac{R_B}{R_C}, \quad (3-31)$$

$$K = K(k) = \frac{R_B}{R_B + R_C} = \frac{k}{1 + k}. \quad (3-32)$$

Ovisnost koeficijenta K o omjeru $k = R_B / R_C$ prikazana je grafički na slici 3.4. [14, 15]:



Slika 3.4. Ovisnost koeficijenta K o omjeru $k = R_B / R_C$

Upotreboom novouvedenih zamjena, izraz za struju superkondenzatora može se zapisati u obliku:

$$i_{C1} = -I_p \cdot \frac{R_B}{R_B + R_C} e^{-\frac{t}{\tau}} = -I_p \cdot K \cdot e^{-\frac{t}{\tau}}. \quad (3-33)$$

Struja baterije tijekom trajanja strujnog pulsa

Struja baterije određena je izrazom (3-3) te glasi [14]:

$$i_B = -i_L - i_C. \quad (3-34)$$

Uvrštavanjem (3-11) i (3-33) u prethodni izraz daje struju baterije za $0_+ \leq t \leq T_p$ [14]:

$$i_{B1} = -(I_0 + I_p) - \left(-I_p \cdot K \cdot e^{-\frac{t}{\tau}} \right) = -(I_0 + I_p) + I_p \cdot K \cdot e^{-\frac{t}{\tau}} = -I_0 - I_p \cdot \left(1 - K \cdot e^{-\frac{t}{\tau}} \right). \quad (3-35)$$

Prethodni izraz daje uvid kakav je utjecaj superkondenzatora u HBSS-u na redukciju struje baterije. Utjecaj superkondenzatora na smanjenje struje baterije tijekom strujnog pulsa može se analizirati korištenjem koeficijenta K . Kada su otpori baterije i superkondenzatora jednaki ($k = R_B / R_C = 1$), prema slici 3.4 [14, 15], koeficijent K jednak je 0,5, tj. $K=0,5$. Tada je pri pojavi strujnog pulsa, točno pola struje strujnog pulsa na sebe preuzela baterija, a drugu je polovinu na sebe preuzeo superkondenzator. Kako se omjer $k = R_B / R_C$ povećava iznad jedan, koeficijent K postaje veći od 0,5 te veći udio struje I_p strujnog pulsa na sebe preuzima superkondenzator, a udio se struje pulsa kojega preuzima baterija na sebe smanjuje.

Kombiniranjem (3-6) i (3-33), dobiva se izraz za napon na terminalima pasivnog HBSS-a

$$u_{T1} = U_0 - \Delta U_p \cdot \left(1 - e^{-\frac{t}{\tau}} \right) - I_p \frac{R_B \cdot R_C}{R_B + R_C} e^{-\frac{t}{\tau}}. \quad (3-36)$$

Uvažavanjem (3-21), tj. $\Delta U_p = I_p \cdot R_B$ daje:

$$u_{T1} = U_0 - \Delta U_p \cdot \left(1 - e^{-\frac{t}{\tau}} \right) - \Delta U_p \cdot \frac{R_C}{R_B + R_C} e^{-\frac{t}{\tau}}. \quad (3-37)$$

Prethodni izraz može se dodatno pojednostaviti ukoliko se prepozna sljedeće:

$$\frac{R_C}{R_C + R_B} = \frac{1}{R_C} \cdot \frac{R_C}{1 + \frac{R_B}{R_C}} = \frac{1}{1+k}. \quad (3-38)$$

Kombiniranje (3-37) i (3-38) daje:

$$u_{T1} = U_0 - \Delta U_p \cdot \left(1 - e^{-\frac{t}{\tau}} \right) - \Delta U_p \frac{1}{1+k} e^{-\frac{t}{\tau}}. \quad (3-39)$$

$$u_{T1} = U_0 - \Delta U_p \cdot \left(1 + \left(\frac{1}{1+k} - 1 \right) e^{-\frac{t}{\tau}} \right), \quad (3-40)$$

$$u_{T1} = U_0 - \Delta U_p \cdot \left(1 - \frac{k}{1+k} e^{-\frac{t}{\tau}} \right). \quad (3-41)$$

Uzimanjem u obzir definiciju parametra K prema (3-32), prethodni se izraz može zapisati u obliku

$$u_{T1} = U_0 - \Delta U_p \cdot \left(1 - K \cdot e^{-\frac{t}{\tau}} \right). \quad (3-42)$$

Trenutni (engl. *instantaneous*) pad napona na priključcima (engl. *terminals*) pasivnog HBSS-a, odnosno na zajedničkim DC sabirnicama, može se odrediti izrazom [14]:

$$\Delta U_i = u_{T1}(0_-) - u_{T1}(0_+). \quad (3-43)$$

Napon na terminalima HBSS-a neposredno prije pojave strujnog pulsa ($t=0_-$) jednak je naponu u ustaljenom stanju [14]:

$$u_{T1}(0_-) = u_{C1}(0_-) = U_0. \quad (3-44)$$

Napon na priključcima (terminalima) HBSS-a neposredno nakon pojave strujnog pulsa $t=0_+$) određen je izrazom (3-42) te za $t=0$ glasi [14]:

$$u_{T1}(0_+) = U_0 - \Delta U_p \cdot (1 - K). \quad (3-45)$$

Uvrštavanjem (3-44) i (3-45) u (3-43) daje izraz za trenutni pad napona na terminalima pasivnog HBSS-a [14]:

$$\Delta U_i = u_{T1}(0_-) - u_{T1}(0_+) = \Delta U_p \cdot (1 - K). \quad (3-46)$$

Također, od interesa je poznavati i pad napona na terminalima HBSS-a (zajedničkim DC sabirnicama) koji se javlja nakon trenutnog pada napona, tijekom prijelazne pojave (engl. *transient*). Taj pad napona uspostavlja se postupno, bez skokova i određen je izrazom:

$$\Delta U_t = u_{T1}(0_+) - u_{T1}(T_p). \quad (3-47)$$

Indeks t u donjem desnom podnožju oznake za pad napona dolazi od engleske riječi *transient*. Napon na terminalima HBSS-a, u trenutku $t=T_p$, određen je izrazom (3-42) te iznosi [14]:

$$u_T(T_p) = U_0 - \Delta U_p \cdot \left(1 - K \cdot e^{-\frac{T_p}{\tau}} \right). \quad (3-48)$$

Napon na terminalima HBSS-a, u trenutku $t = 0_+$, određen je izrazom (3-42) te iznosi [14]:

$$u_{T1}(0_+) = U_0 - \Delta U_p \cdot (1 - K). \quad (3-49)$$

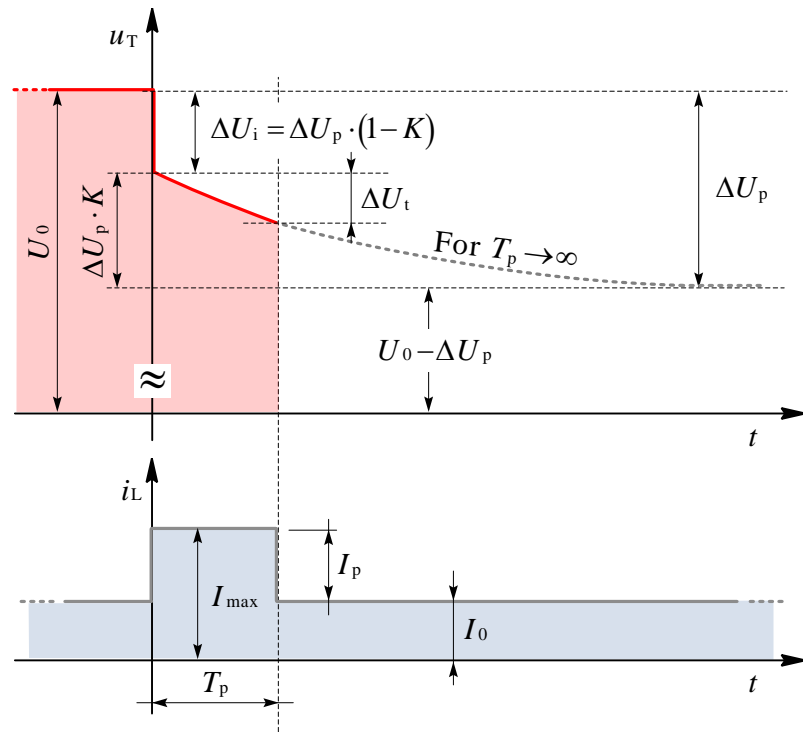
Uvrštavanjem (3-48) i (3-49) u izraz (3-47) daje:

$$\Delta U_t = \Delta U_p \cdot \left(1 - K \cdot e^{-\frac{T_p}{\tau}} \right) - \Delta U_p \cdot (1 - K) = \Delta U_p \cdot \left(1 - K \cdot e^{-\frac{T_p}{\tau}} - (1 - K) \right). \quad (3-50)$$

Manjim uređivanjem prethodnog izraza dobiva se izraz za tranzijentni pad napona na terminalima HBSS-a, odnosno zajedničkim DC sabirnicama [14]:

$$\Delta U_t = \Delta U_p \cdot K \cdot \left(1 - e^{-\frac{T_p}{\tau}} \right). \quad (3-51)$$

Pad napona ΔU_t započinje neposredno nakon inicijalnog trenutnog pada napona, a završava prestankom strujnog pulsa. Na osnovi prethodno izvedenih analitičkih izraza moguće je kvalitativno konstruirati valni oblik napona na terminalima HBSS-a, tj. napona na zajedničkim DC sabirnicama koji vlada tijekom procesa pražnjenja superkondenzatora, odnosno za vrijeme trajanja strujnog pulsa. Valni oblici struje tereta i napona na terminalima HBSS-a, zajedno s drugim fizikalnim veličinama od interesa, prikazani su na slici 3.5. [14]. Preostali dio valnog oblika napona na terminalima HBSS-a bit će moguće nacrtati nakon što se odrede analitički izrazi koji vrijede tijekom procesa punjenja superkondenzatora.



Slika 3.5. Valni oblik struje tereta, napona na terminalima HBSS-a i druge relevantne fizikalne veličine tijekom procesa pražnjenja superkondenzatora

Proces punjenja superkondenzatora

Proces punjenja superkondenzatora započinje odmah nakon prestanka strujnog pulsa. Za proces punjenja superkondenzatora ($T_p \leq t < T$) vrijedi [14]:

$$\tau \cdot \frac{du_{C2}}{dt} + u_{C2} = E - I_0 \cdot R_B . \quad (3-52)$$

Uzimanjem u obzir da je napon u ustaljenom stanju na superkondenzatoru $U_0 = E - I_0 \cdot R_B$, prethodni izraz može se zapisati u nešto jezgrovitijoj formi [14]:

$$\tau \cdot \frac{du_{C2}}{dt} + u_{C2} = U_0 . \quad (3-53)$$

Prema zakonu komutacije [47], neposredno prije komutacije ($u_{C2}(T_{p-})$) i neposredno nakon komutacije ($u_{C2}(T_{p+})$), napon u_{C2} ostaje nepromijenjen:

$$u_{C2}(T_{p-}) = u_{C2}(T_{p+}) = u_{C1}(T_p) = U_0 - \Delta U_p \cdot \left(1 - e^{-\frac{T_p}{\tau}}\right). \quad (3-54)$$

Primjenom Laplaceove transformacije [48] na izraz (3-53) dobiva se [14]:

$$\tau \cdot [s \cdot U_{C2}(s) - u_{C2}(T_p)] + U_{C2}(s) = \frac{U_0}{s}, \quad (3-55)$$

$$U_{C2}(s)(\tau \cdot s + 1) = \tau \cdot u_{C2}(T_p) + \frac{U_0}{s}. \quad (3-56)$$

Daljnje uređivanje prethodnog izraza daje [14]:

$$U_{C2}(s) = \tau \cdot \frac{u_{C2}(T_p)}{\tau \cdot s + 1} + \frac{U_0}{s} \frac{1}{\tau \cdot s + 1}, \quad (3-57)$$

$$U_{C2}(s) = \frac{u_{C2}(T_p)}{s + \frac{1}{\tau}} + \frac{1}{\tau} \frac{1}{s} \frac{U_0}{s + \frac{1}{\tau}}. \quad (3-58)$$

Izraz za napon u_{C2} u vremenskoj domeni dobiva se primjenom inverzne Laplaceove transformacije prethodnog izraza. Inverzna Laplaceova transformacija prethodnog izraza odvija se prema izrazima [48]:

$$\frac{1}{s+a} \xrightarrow{L^{-1}} e^{-at}, \quad (3-59)$$

$$\frac{1}{s(s+a)} \xrightarrow{L^{-1}} \frac{1}{a} (1 - e^{-at}). \quad (3-60)$$

Primjena inverzne Laplaceove transformacije izraza (3-58), uz uvažavanje $t = t - T_p$, te $u_{C1}(T_p) = u_{C2}(T_p)$ daje [14]:

$$u_{C2} = u_{C1}(T_p) \cdot e^{-\frac{t-T_p}{\tau}} + U_0 \cdot \left(1 - e^{-\frac{t-T_p}{\tau}}\right). \quad (3-61)$$

Prethodni izraz može se zapisati u obliku koji je pogodan za grafičko prikazivanje [14]:

$$u_{C2} = u_{C1}(T_p) + (U_0 - u_{C1}(T_p)) \cdot \left(1 - e^{-\frac{t-T_p}{\tau}}\right). \quad (3-62)$$

Struja superkondenzatora tijekom procesa punjenja

Proces punjenja superkondenzatora započinje prestankom strujnog impulsa te se odvija u vremenskom intervalu $T_p \leq t < T$. Struja superkondenzatora tijekom procesa njegova punjenja određena je izrazom [14]:

$$i_{C2} = C \cdot \frac{du_{C2}}{dt} = (U_0 - u_{C1}(T_p)) \cdot \frac{C}{\tau} \cdot e^{-\frac{t-T_p}{\tau}}. \quad (3-63)$$

Uvrštavanjem izraza za vremensku konstantu (3-10), tj. $\tau = (R_B + R_C) \cdot C$ u prethodni izraz daje:

$$i_{C2} = \frac{U_0 - u_{C1}(T_p)}{R_B + R_C} \cdot e^{-\frac{t-T_p}{\tau}}. \quad (3-64)$$

Napon na terminalima HBSS-a tijekom procesa punjenja superkondenzatora

Uvažavanjem uvedenih notacija, iz izraza (3-6) proizlazi:

$$u_{T2} = u_{C2} + i_{C2} \cdot R_C. \quad (3-65)$$

Uvrštavanjem (3-62) i (3-64) u prethodni izraz daje:

$$u_{T2} = u_C(T_p) + (U_0 - u_{C1}(T_p)) \cdot \left(1 - e^{-\frac{t-T_p}{\tau}} \right) + (U_0 - u_{C1}(T_p)) \cdot \frac{R_C}{R_B + R_C} \cdot e^{-\frac{t-T_p}{\tau}}. \quad (3-66)$$

Uvažavanjem (3-38), odnosno:

$$\frac{R_C}{R_C + R_B} = \frac{1}{R_C} \frac{R_C}{1 + \frac{R_B}{R_C}} = \frac{1}{1+k}. \quad (3-67)$$

Izraz (3-66) može se napisati u obliku:

$$u_{T2} = u_{C1}(T_p) + (U_0 - u_{C1}(T_p)) \cdot \left(1 + \left(\frac{1}{1+k} - 1 \right) \cdot e^{-\frac{t-T_p}{\tau}} \right), \quad (3-68)$$

$$u_{T2} = u_{C1}(T_p) + (U_0 - u_{C1}(T_p)) \cdot \left(1 + \left(\frac{1-1-k}{1+k} \right) \cdot e^{-\frac{t-T_p}{\tau}} \right), \quad (3-69)$$

$$u_{T2} = u_{C1}(T_p) + (U_0 - u_{C1}(T_p)) \cdot \left(1 - \frac{k}{1+k} \cdot e^{-\frac{t-T_p}{\tau}} \right). \quad (3-70)$$

U prethodnom izrazu može se prepoznati član koji odgovara parametru K . Prema izrazu (3-32), parametar K definiran je na način [14]:

$$K = K(k) = \frac{R_B}{R_B + R_C} = \frac{k}{1+k}. \quad (3-71)$$

Uvažavanjem definicije pomoćnog parametra K , izraz (3-70) može se napisati u obliku [14]:

$$u_{T2} = u_{C1}(T_p) + (U_0 - u_{C1}(T_p)) \cdot \left(1 - K \cdot e^{-\frac{t-T_p}{\tau}} \right). \quad (3-72)$$

Trenutni skok napona na terminalima HBSS-a (zajedničkim DC sabirnicama) nakon nestanka strujnog pulsa određen je izrazom:

$$\Delta U'_i = u_{T2}(T_{p+}) - u_{T1}(T_{p-}). \quad (3-73)$$

Napon na terminalima HBSS-a (napon na zajedničkim DC sabirnicama) neposredno nakon nestanka strujnog pulsa ($t = T_{p+}$) određen je izrazom (3-72):

$$u_{T2}(T_{p+}) = u_{C1}(T_p) + (U_0 - u_{C1}(T_p)) \cdot (1 - K). \quad (3-74)$$

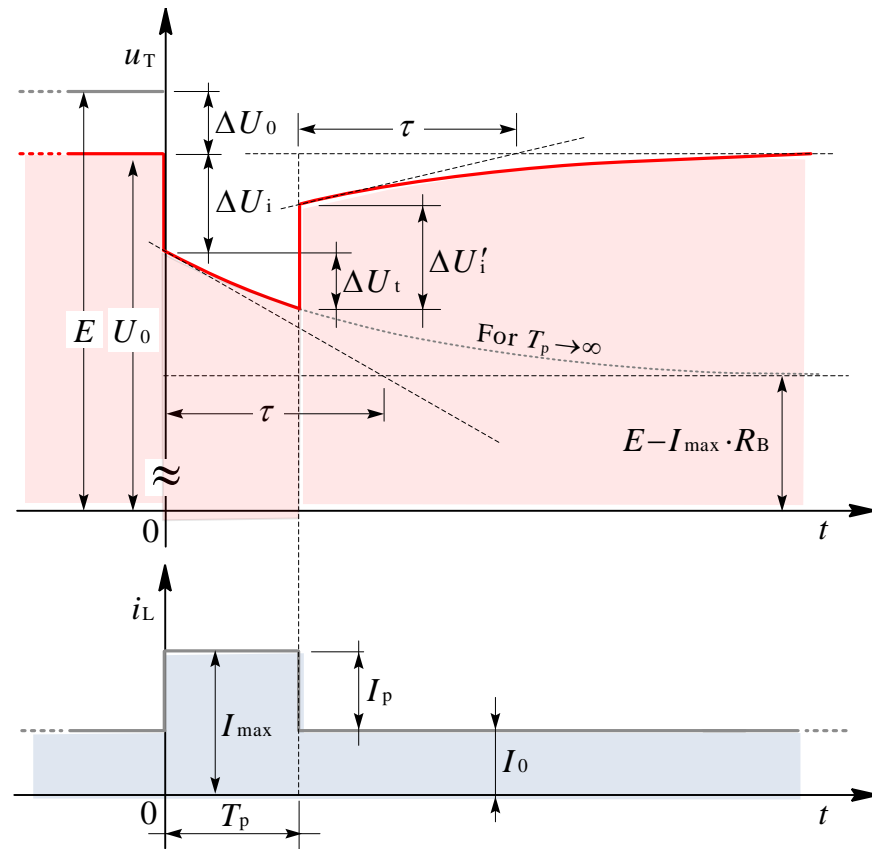
Napon na terminalima HBSS-a (napon na zajedničkim DC sabirnicama) neposredno prije nestanka strujnog pulsa ($t = T_{p-}$) određen je izrazom (3-48):

$$u_{T1}(T_{p-}) = U_0 - \Delta U_p \cdot \left(1 - K \cdot e^{-\frac{T_p}{\tau}} \right). \quad (3-75)$$

Uvrštavanjem (3-74) i (3-75) u (3-73) daje izraz za trenutni skok napona na terminalima HBSS-a (zajedničkim DC sabirnicama) nakon nestanka strujnog pulsa I_p :

$$\Delta U'_i = u_{C1}(T_p) + (U_0 - u_{C1}(T_p)) \cdot (1 - K) - U_0 - \Delta U_p \cdot \left(1 - K \cdot e^{-\frac{T_p}{\tau}} \right). \quad (3-76)$$

Koristeći se izvedenim izraza za napon na terminalima HBSS-a može se grafički prikazati kvalitativni izgled valnog oblika napona na terminalima HBSS-a (slika 3.6. [14]).



Slika 3.6. Valni oblik struje tereta, napona na terminalima HBSS-a i ostale relevantne fizikalne veličine tijekom procesa pražnjenja i punjenja superkondenzatora

Struja baterije kao komponente pasivnog HBSS-a

Prema prethodno iznesenoj analizi pokazano je da prisutnost superkondenzatora kao komponente pasivnog hibridnog sustava baterije i superkondenzatora ima pogodan utjecaj na valni oblik napona na terminalima HBSS-a (zajedničkim DC sabirnicama). Napon na terminalima HBSS-a, odnosno **napon na zajedničkim DC sabirnicama ima znatno manje propade pri pojavi strujnog pulsa**. Druga pogodnost zbog prisutnosti superkondenzatora u pasivnom hibridnom sustavu baterije i superkondenzatora u odnosu na slučaj kada se teret (potrošač) napaja samo s baterijom jest u strujnom opterećenju baterije. **Zbog prisutnosti superkondenzatora u pasivnom HBSS-u, struja je baterije znatno smanjena tijekom trajanja strujnog pulsa**. Zbog smanjene struje baterije tijekom trajanja strujnog pulsa, manji su tehnički zahtjevi pri dimenzioniranju odgovarajuće baterije.

Također, zbog manjeg strujnog opterećenja baterije tijekom trajanja strujnog pulsa ***manji je toplinski stres baterije***. Zbog navedenog ***produljuje se životni vijek baterije***. Sve navedeno dodatni su razlozi zbog kojih je i vrlo jednostavav pasivni hibridni sustav baterije i superkondenzatora popularan u tehničkim primjenama. Smanjenje struje baterije pri dinamičkom opterećenju može se analizirati iz analitičkih izraza kojima je opisana struja baterije tijekom trajanja strujnog pulsa i nakon njegova prestanka.

Sukladno prethodno uvedenim notacijama, struja baterije može se opisati izrazom [14]:

$$i_B = \begin{cases} i_{B1} & \text{for } 0_+ \leq t \leq T_p -, \\ i_{B2} & \text{for } T_p + \leq t \leq T. \end{cases} \quad (3-77)$$

Odnos između struje baterije, struje tereta i struja superkondenzatora dan je izrazom (3-3), tj:

$$i_L = -i_B - i_C. \quad (3-78)$$

Iz prethodnog izraza proizlazi [14]:

$$i_B = -i_L - i_C. \quad (3-79)$$

Struja tereta dana je izrazom [14]:

$$i_L = \begin{cases} I_0 + I_p & \text{for } 0_+ \leq t \leq T_p -, \\ I_0 & \text{for } T_p + \leq t \leq T. \end{cases} \quad (3-80)$$

Struja superkondenzatora dana je izrazom [14]:

$$\dot{i}_C = \begin{cases} i_{C1} & \text{for } 0_+ \leq t \leq T_p-, \\ i_{C2} & \text{for } T_p+ \leq t \leq T. \end{cases} \quad (3-81)$$

Gdje je:

$$i_{C1} = -I_p \cdot K \cdot e^{-\frac{t}{\tau}}, \quad (3-82)$$

$$i_{C2} = \frac{U_0 - u_{C1}(T_p)}{R_B + R_C} \cdot e^{-\frac{t-T_p}{\tau}}. \quad (3-83)$$

Kombiniranjem prethodnih izraza dobiva se izraz za struju baterije [14]:

$$i_B = \begin{cases} -(I_0 + I_p) - i_{C1} & \text{for } 0_+ \leq t \leq T_p-, \\ -I_0 - i_{C2} & \text{for } T_p+ \leq t \leq T. \end{cases} \quad (3-84)$$

U namjeri da se pokaže da prisutnost superkondenzatora reducira struju baterije kada je prisutno dinamičko opterećenje, struju superkondenzatora potrebno je iskazati korištenjem parametra K . Struju i_{C1} već je iskazana upotrebom parametra (faktora) K , stoga je to potrebno učiniti i za struju i_{C2} . To se može učiniti na naredni način.

Iz definicije parametra K , izraz (3-32), proizlazi:

$$\frac{1}{R_B + R_C} = \frac{K}{R_B}. \quad (3-85)$$

Upotreboom prethodnog izraza, izraz za struju i_{C2} može se napisati u obliku [14]:

$$i_{C2} = \frac{U_0 - u_{C1}(T_p)}{R_B + R_C} \cdot e^{-\frac{t-T_p}{T}} = \frac{K}{R_B} \cdot (U_0 - u_{C1}(T_p)) \cdot e^{-\frac{t-T_p}{T}}. \quad (3-86)$$

Kako je:

$$u_{C1}(T_p) = U_0 - \Delta U_p \cdot \left(1 - e^{-\frac{T_p}{\tau}}\right), \quad (3-87)$$

izraz za struju i_{C2} može se zapisati u obliku [14]:

$$i_{C2} = \frac{K}{R_B} \cdot \Delta U_p \cdot \left(1 - e^{-\frac{T_p}{\tau}}\right) \cdot e^{-\frac{t-T_p}{T}}. \quad (3-88)$$

S obzirom da je pad napona ΔU_p određen izrazom $\Delta U_p = I_p \cdot R_B$, prethodni se izraz može zapisati u obliku [14]:

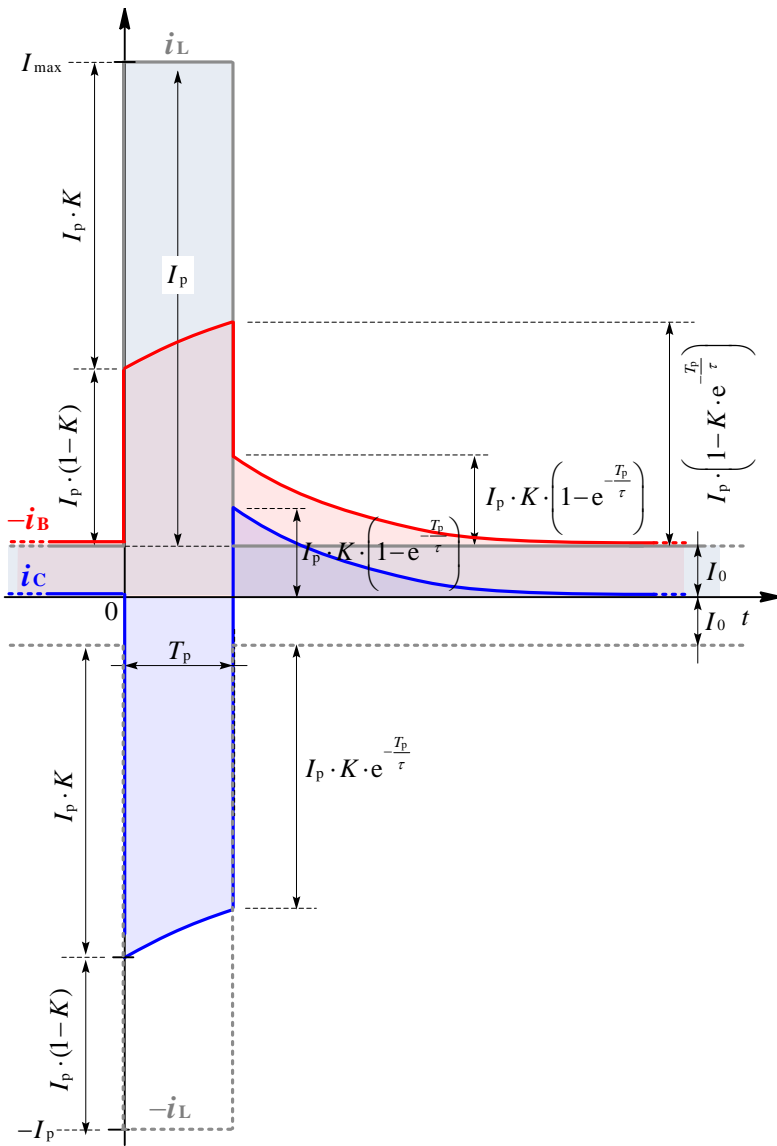
$$i_{C2} = I_p \cdot K \cdot \left(1 - e^{-\frac{T_p}{T}}\right) \cdot e^{-\frac{t-T_p}{T}}. \quad (3-89)$$

Uvrštavanje izraza struje superkondenzatora iskazanih preko parametra K , izrazi (3-82) i (3-89) u izraz (3-84) daje izraze za struju baterije tijekom trajanja strujnog pulsa i nakon njegova prestanka [14]:

$$i_{B1} = -(I_0 + I_p) - i_{C1} = -(I_0 + I_p) - \left(-I_p \cdot K \cdot e^{-\frac{t}{\tau}}\right) = -I_0 - I_p \cdot \left(1 - K \cdot e^{-\frac{t}{\tau}}\right), \quad (3-90)$$

$$i_{B2} = -I_0 - i_{C2} = -I_0 - I_p \cdot K \cdot \left(1 - e^{-\frac{T_p}{\tau}} \right) \cdot e^{-\frac{t-T_p}{\tau}}. \quad (3-91)$$

Na osnovi izvedenih analitičkih izraza za struje tereta, struje baterije i struje superkondenzatora tijekom trajanja strujnog pulsa i nakon njegova prestanka moguće je kvalitativno grafički prikazati valne oblike svih navedenih struja (slika 3.7. [14]). Zbog preglednosti grafičkog prikaza, prikazana je negativna vrijednost struje baterije.



Slika 3.7. Valni oblik struje tereta, struje baterije i struje superkondenzatora tijekom trajanja strujnog pulsa i nakon njegova prestanka

3.2 Diskusija

Baterije i superkondenzatori kao spremnici energije imaju dijametralno suprotne karakteristike s obzirom na gravimetrijsku gustoću energije i gravimetrijsku gustoću snage. Baterije imaju približno jedan red veličine veću gravimetrijsku gustoću energije od superkondenzatora, dok superkondenzatori imaju približno red veličine veću gravimetrijsku gustoću snage. Hibridiziranjem baterija i superkondenzatora u jedan sustav, njegove karakteristike, s obzirom na gravimetrijsku gustoću energije i gravimetrijsku gustoću snage, bit će pozicionirane između karakteristika baterija i superkondenzatora. Uz navedeno, hibridiziranjem baterija i superkondenzatora u jedan sistem dolaze do izražaja i druga poželjna svojstva.

Među njima se posebno ističu manji padovi napona u odnosu na napajanje realizirano samo s baterijom (SABS), manje strujno opterećenje baterije unutar HBSS-a u odnosu na strujno opterećenje baterije kada je ona samostalni izvor napajanja (SABS), veća energetska učinkovitost u odnosu na SABS te dulji životni vijek baterije u HBSS-u u odnosu kada je napajanje realizirano samo s baterijom (SABS). U ovom poglavlju izvedeni su analitički izrazi kojima su opisane strujne i naponske prilike pasivnog hibridnog sustava baterije i superkondenzatora. Analitičkim izrazima opisana su i sva karakteristična obilježja valnih oblika napona i struja, kao što su inicijalni pad napona, ukupni pad napona, inicijalna struja baterije i superkondenzatora itd. (slike 3.6. [14] i 3.7. [14]). Valni oblici napona i struja prikazani na slici 3.6 i slici 3.7 i u skladu su s rezultatima predstavljenima u literaturi [27-28, 39, 49-52]. Također, valni oblici napona i struja prikazani na slici 3.6 i slici 3.7 u skladu su s laboratorijskim mjeranjima opisanima u sedmom poglavlju ovog rada.

Dobiveni analitički izrazi za napone i struje te na osnovu njih dobiveni grafički prikazi pokazali su da, iako je topološki vrlo jednostavan, pasivni hibridni sustav baterije i superkondenzatora (pasivni HBSS) u uvjetima dinamičkog opterećenja ima brojne prednosti spram napajanja realiziranog samo s baterijom. Stoga je u uvjetima dinamičkog opterećenja bolja opcija od napajanja realiziranog samo s baterijom.

Također, definirani su pomoćni parametri (k i K) pasivnog hibridnog sustava baterije i superkondenzatora koji uspostavlja funkcionalni odnos između unutarnjih otpora sustava i strujno-naponskih prilika u svrhu jednostavnije analize tijekom dinamičkog opterećenja sustava. Upotrebom uvedenih pomoćnih parametara, u narednom poglavlju bit će analizirani gubici u pasivnom hibridnom sustavu baterije i superkondenzatora. Zahvaljujući novouvedenim pomoćnim parametrima omogućena je jednostavna primjena prezentiranih analitičkih izraza, bolji uvid u teorijska razmatranja rada HBSS-a, kao i brzo određivanje potrebnih parametara pasivnog hibridnog sustava baterije i superkondenzatora koji udovoljavaju željenom vladanju HBSS-a. Na taj način doprinosi se praksi dizajniranja pasivnog HBSS-a [53-55].

4. ENERGETSKA UČINKOVITOST PASIVNOG HBSS-a

U prethodnom poglavlju izvedeni su analitički izrazi kojima je opisano dinamičko vladanje pasivnog hibridnog sustava baterije i superkondenzatora. U ovom poglavlju bit će izvedeni analitički izrazi kojima su opisani gubici u pasivnom hibridnom sustavu baterije i superkondenzatora pri dinamičkom opterećenju koji ima valni oblik kakav je prikazan u prethodnom poglavlju. Također, bit će izvedeni analitički izrazi kojima su opisani gubici u bateriji pri istom dinamičkom opterećenju. Upotreborom prethodno izvedenih izraza bit će analizirana energetska učinkovitost, tj. poboljšanje energetske učinkovitosti pasivnog hibridnog sustava baterije i superkondenzatora u odnosu na bateriju kada je ona samostalni izvor napajanja tereta. Energetska će učinkovitost biti analizirana za različite parametre opterećenja.

4.1 Matematički model energetske učinkovitosti

Kako bi se pokazalo da je, pri dinamičkom opterećenju, hibridni sustav baterije i superkondenzatora energetski učinkovitiji od sustava napajanja realiziranog samo s baterijom, potrebno je poznavati gubitke u oba sustava pri istim uvjetima opterećenja. Energetska učinkovitost, hibridnog sustava baterije i superkondenzatora u odnosu na sustav napajanja koji je realiziran samo s baterijom (SABS) (engl. *stand-alone battery systems*) može se pratiti i analizirati kroz omjer [15]:

$$\frac{E_{HBSS}(0,T)}{E_{SABS}(0,T)} = \frac{E_{HBSS}(0,T_p) + E_{HBSS}(T_p, T)}{E_{SABS}(0,T_p) + E_{SABS}(T_p, T)}. \quad (4-1)$$

Gdje su $E_{HBSS}(0,T)$ - gubici u hibridnom sustavu baterije i superkondenzatora tijekom jedne periode T valnog oblika struje tereta, $E_{SABS}(0,T)$ - gubici u bateriji tijekom jedne periode T valnog oblika struje tereta kada je baterija samostalni sustav kojime se napaja teret.

Zbog matematičkih pogodnosti koje će kasnije biti očigledne i lakše interpretacije rezultata, pogodno je uvesti sljedeće zamjene [15].

Omjer vršne vrijednosti pravokutnog pulsa tereta i konstantne komponente struje tereta [15]:

$$\varepsilon = \frac{I_p}{I_0}. \quad (4-2)$$

Gdje su I_p - vršna vrijednost pravokutnog pulsa, I_0 - konstantna komponenta struje tereta.

Omjer trajanja pravokutnog pulsa i vremenske konstante [15]:

$$\alpha = \frac{T_p}{\tau}. \quad (4-3)$$

Gdje su T_p - trajanje pulsa, τ - vremenska konstanta.

Omjer trajanja pravokutnog pulsa i periode, tzv. radni ciklus (engl. *duty cycle*) pulsirajućeg (dinamičkog) dijela struje tereta valnog oblika prikazanog slikom 3.3 [14, 15] glasi [15]:

$$\beta = \frac{T_p}{T}. \quad (4-4)$$

Gdje su T_p - trajanje pulsa, T - perioda valnog oblika struje.

Koristeći se prethodno uvedenim zamjenama, izrazi za struju baterije i superkondenzatora izvedeni u prethodnom poglavlju mogu se napisati u obliku:

Struja baterije za $0_+ \leq t \leq T_p^-$ [15]:

$$i_{B1} = -I_0 \cdot \left[1 + \varepsilon \cdot \left(1 - K \cdot e^{-\frac{t}{\tau}} \right) \right], \quad (4-5)$$

Struja baterije za $T_p^+ \leq t \leq T$ [15]:

$$i_{B2} = I_0 \cdot \left[1 + \varepsilon \cdot K \cdot \left(1 - e^{-\frac{T_p}{\tau}} \right) \cdot e^{-\frac{t-T_p}{\tau}} \right]. \quad (4-6)$$

Struja superkondenzatora za $0_+ \leq t \leq T_p^-$ [15]:

$$i_{C1} = -I_0 \cdot \varepsilon \cdot K \cdot e^{-\frac{t}{\tau}}. \quad (4-7)$$

Struja superkondenzatora za $T_p^+ \leq t \leq T$ [15]:

$$i_{C2} = I_0 \cdot \varepsilon \cdot K \cdot \left(1 - e^{-\frac{T_p}{\tau}} \right) \cdot e^{-\frac{t-T_p}{\tau}}. \quad (4-8)$$

Gubici u bateriji kada je ona samostalni sustav napajanja (SABS)

U svrhu jezgrovitog zapisa izraza za gubitke, u ovom poglavlju uvedene su oznake za rješenja integrala vezanih uz određivanje gubitaka. Kako bi oznake za rješenja pojedinih integrala bile vezane uz podintegralne funkcije koje su kvadrati struja nad kojima se provodi integracija, za rješenja integrala u ovom poglavlju koriste se oznake I_L^2 , I_{L1}^2 , I_{L2}^2 , I_{B1}^2 , I_{B2}^2 , I_{C1}^2 i I_{C2}^2 . Odnosno, oznake I_L^2 , I_{L1}^2 , I_{L2}^2 , I_{B1}^2 , I_{B2}^2 , I_{C1}^2 i I_{C2}^2 nemaju značenja kvadrata efektivnih vrijednosti struja.

Gubici u bateriji tijekom jedne periode kada je ona samostalni sustav napajanja (SABS) određeni su izrazom [15]:

$$E_{SABS}(0, T) = R_B \cdot \int_0^T i_L^2 dt = R_B \cdot I_L^2. \quad (4-9)$$

Gdje je I_L^2 dan izrazom [15]:

$$I_L^2 = \int_0^{T_p} i_{L1}^2 \cdot dt + \int_{T_p}^T i_{L2}^2 \cdot dt = I_{L1}^2 + I_{L2}^2. \quad (4-10)$$

Integrali I_{L1}^2 i I_{L2}^2 dani su izrazima [15]:

$$I_{L1}^2 = \int_0^{T_p} (I_0 + I_p)^2 \cdot dt = (I_0 + I_p)^2 \cdot \int_0^{T_p} dt = (I_0 + I_p)^2 \cdot T_p. \quad (4-11)$$

$$I_{L2}^2 = \int_{T_p}^T I_0^2 \cdot dt = I_0^2 \cdot \int_{T_p}^T dt = I_0^2 \cdot (T - T_p). \quad (4-12)$$

Koristeći se prethodno uvedenim zamjenama, prethodni se izrazi mogu zapisati u obliku [15]:

$$I_{L1}^2 = (I_0 + I_p)^2 \cdot T_p = I_0^2 \cdot (1 + \varepsilon)^2 \cdot T_p, \quad (4-13)$$

$$I_{L2}^2 = I_0^2 \cdot (T - T_p) = I_0^2 \cdot T_p \cdot \left(\frac{T}{T_p} - 1 \right) = I_0^2 \cdot T_p \cdot \left(\frac{1}{\beta} - 1 \right). \quad (4-14)$$

Gubici u pasivnom hibridnom sustavu baterije i superkondenzatora

Gubici u pasivnom hibridnom sustavu baterije i superkondenzatora tijekom jedne periode valnog oblika struje prikazane na slici 3.3. sastoje se od gubitaka u bateriji i superkondenzatoru. Sukladno tome, ukupni gubici u pasivnom hibridnom sustavu baterije i superkondenzatora dani su izrazom [15]:

$$E_{HBSS}(0, T) = E_B(0, T) + E_{SC}(0, T), \quad (4-15)$$

gdje su $E_B(0, T)$ gubici tijekom jedne periode T u bateriji kao komponente HBSS-a, $E_{SC}(0, T)$ gubici tijekom jedne periode T u superkondenzatoru kao komponente HBSS-a.

Gubici u bateriji tijekom jedne periode mogu se definirati kao [15]:

$$E_B(0, T) = E_B(0, T_p) + E_B(T_p, T), \quad (4-16)$$

gdje su gubici u bateriji od trenutka $t = 0$ do trenutka $t = T_p$ određeni izrazom [15]:

$$E_B(0, T_p) = R_B \cdot \int_0^{T_p} i_{B1}^2 dt = R_B \cdot I_{B1}^2, \quad (4-17)$$

a gubici u bateriji od trenutka $t = 0$ do trenutka $t = T_p$ određeni izrazom [15]:

$$E_B(T_p, T) = R_B \cdot \int_{T_p}^T i_{B2}^2 dt = R_B \cdot I_{B2}^2. \quad (4-18)$$

Gubici u superkondenzatoru tijekom jedne periode mogu se definirati kao [15]:

$$E_{SC}(0, T) = E_{SC}(0, T_p) + E_{SC}(T_p, T), \quad (4-19)$$

gdje su gubici u superkondenzatoru od trenutka $t = 0$ do trenutka $t = T_p$ određeni izrazom [15]:

$$E_{SC}(0, T_p) = R_C \cdot \int_0^{T_p} i_{C1}^2 dt = R_C \cdot I_{C1}^2, \quad (4-20)$$

a gubici u superkondenzatoru od trenutka $t = 0$ do trenutka $t = T_p$ određeni izrazom [15]:

$$E_{SC}(T_p, T) = R_C \cdot \int_{T_p}^T i_{C2}^2 dt = R_C \cdot I_{C2}^2. \quad (4-21)$$

Rješenja integrala označena s I_{B1}^2 , I_{B2}^2 , I_{C1}^2 i I_{C2}^2 glase [15]:

$$I_{B1}^2 = I_0^2 \cdot T_p \cdot \left[\begin{aligned} & (1+\varepsilon)^2 - 2 \cdot \varepsilon \cdot (1+\varepsilon) \cdot K \cdot \left(\frac{1}{\alpha} \right) \cdot (1 - e^{-\alpha}) + \\ & + \varepsilon^2 \cdot K^2 \cdot \left(\frac{1}{2} \frac{1}{\alpha} \right) \cdot (1 - e^{-2\alpha}) \end{aligned} \right], \quad (4-22)$$

$$I_{B2}^2 = I_0^2 \cdot T_p \cdot \left[\begin{aligned} & \left(\frac{1}{\beta} - 1 \right) + 2\varepsilon K \alpha \cdot (1 - e^{-\alpha}) \cdot \left(1 - e^{-\frac{1-\beta}{\beta}\alpha} \right) + \\ & + (\varepsilon \cdot K)^2 \cdot \left(\frac{\alpha}{2} \right) \cdot (1 - e^{-\alpha})^2 \cdot \left(1 - e^{-2\frac{1-\beta}{\beta}\alpha} \right) \end{aligned} \right], \quad (4-23)$$

$$I_{C1}^2 = I_0^2 \cdot T_p \cdot (\varepsilon \cdot K)^2 \cdot \left(\frac{1}{2} \frac{1}{\alpha} \right) \cdot (1 - e^{-2\alpha}), \quad (4-24)$$

$$I_{C2}^2 = I_0^2 \cdot T_p \cdot (\varepsilon \cdot K)^2 \cdot (1 - e^{-\alpha})^2 \cdot \left(\frac{1}{2} \frac{1}{\alpha} \right) \cdot \left(1 - e^{-2\alpha \frac{1-\beta}{\beta}} \right). \quad (4-25)$$

Uvrštavanjem odgovarajućih rješenja integrala u izraz (4-1) dobiva se parametriziran (parametrima α, β i ε) izraz za odnos gubitaka u hibridnom sustavu baterije i superkondenzatora u odnosu na gubitke u bateriji kada je ona samostalan izvor napajanja (SABS) [15]:

$$\frac{E_{HBSS}(0, T)}{E_{SABS}(0, T)} = \frac{R_B \cdot I_{B1}^2 + R_B \cdot I_{B2}^2 + R_C \cdot I_{C1}^2 + R_C \cdot I_{C2}^2}{R_B \cdot I_{L1}^2 + R_B \cdot I_{L2}^2}. \quad (4-26)$$

Granice valjanosti izraza za energetsku učinkovitost

Početna pretpostavka prije izvoda svih izraza bila je ta da je trajanje strujnog pulsa T_p relativno kratko u odnosu na periodu T , odnosno da se po završetku strujnog pulsa u vremenskom intervalu $T - T_p$ kondenzator stigne ponovno napuniti.

Sukladno navedenom te s obzirom da vrijeme koje je potrebno da se superkondenzator ponovno napuni na 99 % vrijednosti napona u ustaljenom stanju odgovara pet vremenski konstanti, vrijedi uvjet [15]:

$$T - T_p \geq 5 \cdot \tau. \quad (4-27)$$

Kako je prema (4-4) $T = T_p / \beta$, prethodni izraz može se napisati u obliku [15]:

$$T_p \left(\frac{1}{\beta} - 1 \right) \geq 5 \cdot \tau \quad (4-28)$$

Odnosno, u obliku [15]:

$$\left(\frac{1-\beta}{\beta} \right) \geq 5 \cdot \frac{\tau}{T_p}. \quad (4-29)$$

Kako je prema (4-3) $\alpha = T_p / \tau$, prethodni izraz može se napisati u obliku [15]:

$$\left(\frac{1-\beta}{\beta} \right) \geq 5 \cdot \frac{1}{\alpha}, \quad (4-30)$$

$$\alpha \geq 5 \cdot \frac{\beta}{1-\beta}. \quad (4-31)$$

Ukoliko se usvoji da je trajanje strujnog pulsa T_p manje od jedne desetine periode T , tj. faktor $\beta \leq 0,1$, zbog lakšeg simuliranja energetske učinkovitosti, mogu se tablično prikazati vrijednosti faktora α kojime su zadovoljene prethodne jednadžbe (tablica 4.1. [15]).

Tablica 4.1. Faktor β i dozvoljen iznos faktora α

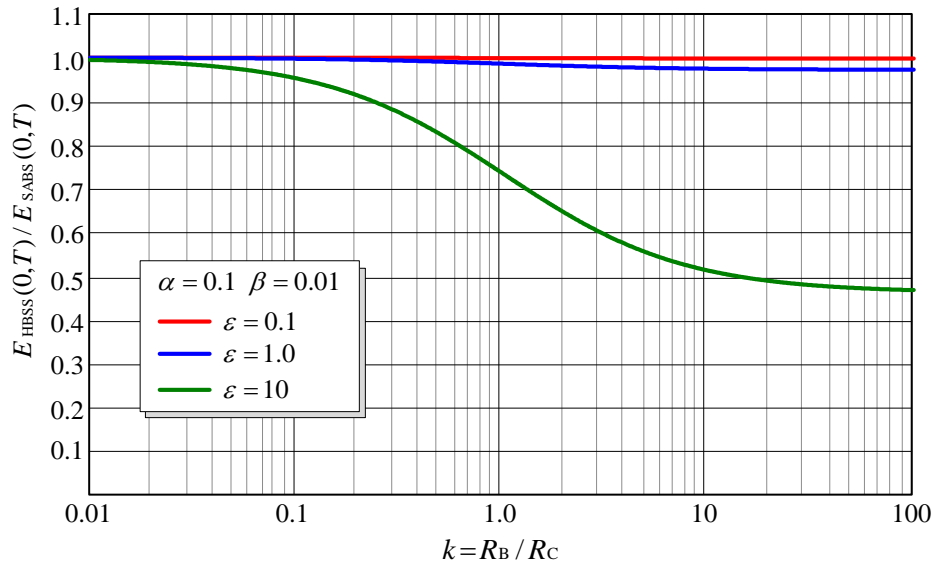
$\beta \leq \frac{1}{10}$	0,01	0,02	0,03	0,04	0,05
$\alpha \geq 5 \cdot \frac{\beta}{1-\beta}$	0,051	0,102	0,155	0,208	0,263

Tablica 4.1. Faktor β i dozvoljen iznos faktora α , nastavak

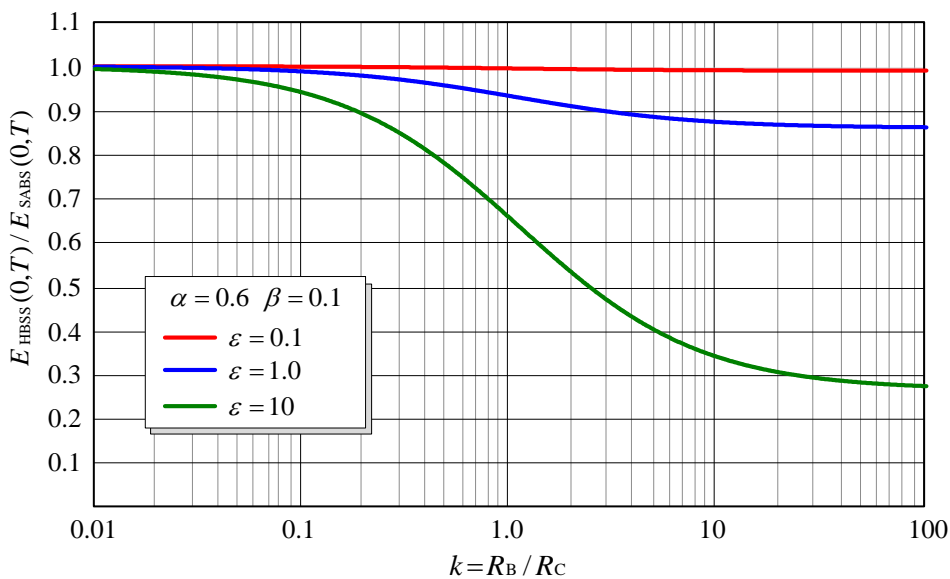
$\beta \leq \frac{1}{10}$	0,06	0,07	0,08	0,09	0,1
$\alpha \geq 5 \cdot \frac{\beta}{1-\beta}$	0,319	0,376	0,435	0,495	0,556

4.2 Numerički izračuni energetske učinkovitosti

Uvažavajući granice valjanosti izraza za energetsku učinkovitost proveden je numerički izračun energetske učinkovitosti HBSS-a u odnosu na napajanje realizirano samo s baterijom (SABS). Grafički prikazi numeričkih izračuna prikazani su na slici 4.1 [15] i slici 4.2. [15].



Slika 4.1. Odnos gubitaka u HBSS-u u odnosu na gubitke u sistemu napajanja realiziranog samo s baterijom. Izračun za $\alpha=0,1$, $\beta=0,01$, uz varijaciju parametra ε .



Slika 4.2. Odnos gubitaka u HBSS-u u odnosu na gubitke u sistemu napajanja realiziranog samo s baterijom. Izračun za $\alpha=0,6$, $\beta=0,1$, uz varijaciju parametra ε .

4.3 Diskusija i analiza rezultata

Numerički izračun energetske učinkovitosti pasivnog hibridnog sustava baterije i superkondenzatora (HBSS-a) u odnosu na sustav napajanja realiziranog samo s baterijom (SABS), pri dinamičkom opterećenju, provedeno je za raspon parametra k od 0,01 do 100. Ovako širok raspon parametra k nema praktičnu važnost jer bi njime bili obuhvaćeni vrlo ekstremni slučajevi kao što su velika baterija i mali superkondenzator ($k=0,01$), i obrnuto, mala baterija i veliki superkondenzator ($k=100$). Razlog zbog kojeg je odabran ovako širok raspon parametra k je isključivo zbog teorijskih razmatranja. Naime, zahvaljujući ovako širokom rasponu parametra k , grafički je moguće utvrditi asimptotsko vladanje krivulja kojima je opisana energetska učinkovitost HBSS-a u odnosu na SABS, odnosno granične vrijednosti prema kojima one konvergiraju za male i velike iznose parametra k .

Za očekivati je da će u slučaju kada je dinamičko opterećenje takvo da je u njemu vrlo mali udio dinamičke komponente struje gubici u HBSS-u biti podjednaki kao i da je sustav napajanja realiziran samo s baterijom (SABS), odnosno da HBSS neće biti energetski učinkovitiji od SABS-a. Navedeno se može opaziti praćenjem crvenih krivulja na slici 4.1. i slici 4.2. Prema slici 4.1. i slici 4.2., kada je dinamičko opterećenje takvo da je u njemu vrlo mali udio dinamičke komponente struje, tj. za $\varepsilon = I_p / I_0 = 0,1$, omjer gubitaka $E_{\text{HBSS}}(0,T) / E_{\text{SABS}}(0,T)$ približno je jednak jedan, odnosno u smislu energetske učinkovitosti, HBSS nema nikakve prednosti u odnosu na SABS.

Također, za očekivati je da će se, kako se udio dinamičke komponente struje bude povećavao u ukupnoj struci, smanjivati gubici u hibridnom sustavu baterije i superkondenzatora u odnosu na sustav napajanja realiziran samo s baterijom. Navedeno se može potvrditi praćenjem plavih i zelenih krivulja na slici 4.1. i slici 4.2. Prema slici 4.1. i slici 4.2., kada je dinamičko opterećenje takvo da je u njemu udio dinamičke komponente struje takav da je $\varepsilon = I_p / I_0 = 1,0$, već se može opaziti povećanje energetske učinkovitosti HBSS-a u odnosu na SABS. Iako se prema plavim krivuljama na slici 4.1. i slici 4.2 opaža povećanje energetske učinkovitosti HBSS-a u odnosu na SABS, ono je još uvijek vrlo maleno na slici 4.1 spram slike 4.2 zbog vrlo kratkog trajanja strujnog pulsa (malen β). Usporedbom plavih krivulja na slici 4.1. i slici 4.2 opaža se trend prema kojemu povećanje trajanja strujnog pulsa povećava energetsku učinkovitost HBSS-a.

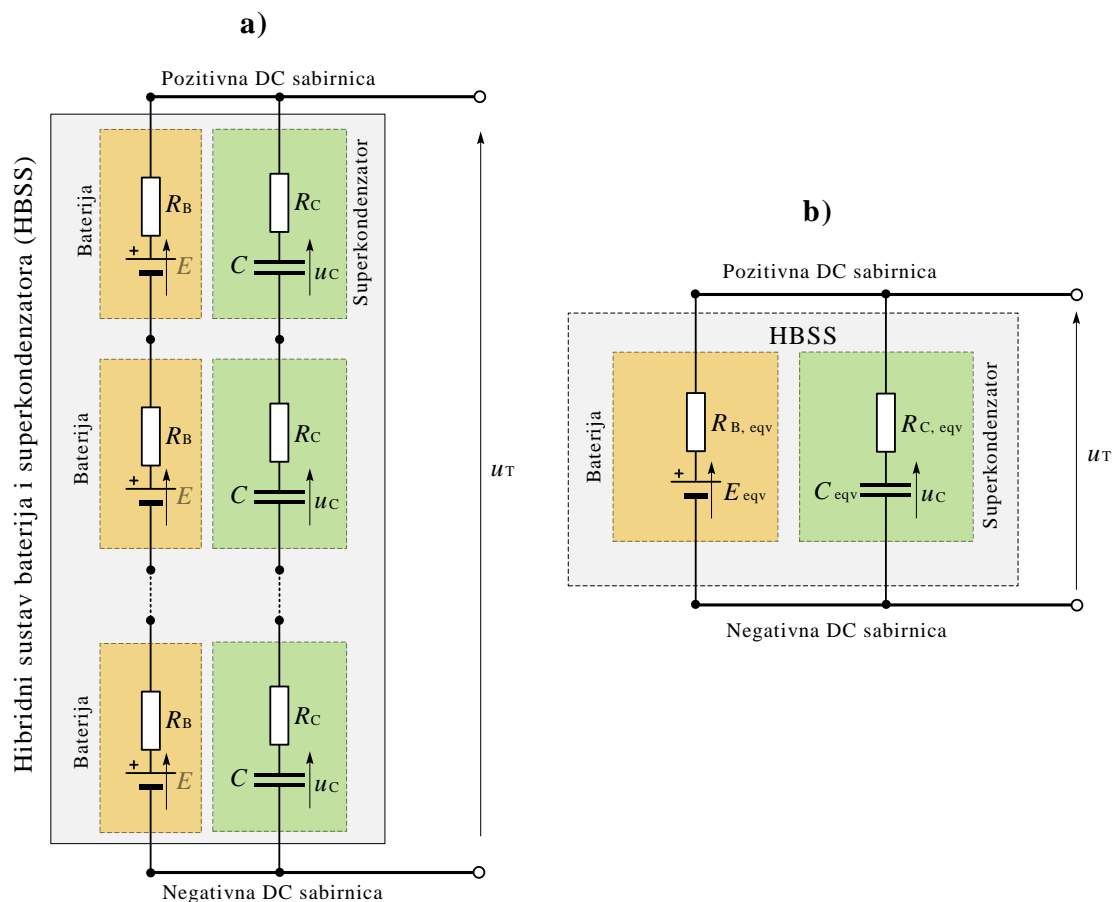
S obzirom da udio efektivne vrijednosti dinamičke komponente struje u ukupnoj struci tereta ovisi istovremeno o omjeru $\varepsilon = I_p / I_0$ i trajanju pravokutnog strujnog pulsa $\beta = T_p / T$, za očekivati je da će se istovremeno povećanje obiju vrijednosti pogodno odraziti na smanjenje omjera $E_{HBSS}(0,T) / E_{SABS}(0,T)$. Navedeno se može opaziti praćenjem zelenih krivulja na slici 4.1. i slici 4.2, prema kojima je došlo do znatnog smanjenja omjera $E_{HBSS}(0,T) / E_{SABS}(0,T)$.

Praćenjem zelenih krivulja na slici 4.1. i slici 4.2, u širokom rasponu promjene parametra k , može se opaziti da one imaju izraženo asimptotsko vladanje s obzirom na male i velike vrijednosti parametra k . Odnosno kada parametar k teži k malim i velikim vrijednostima parametra k , zelene krivulje postaju horizontalne, odnosno konvergiraju ka konstantnim iznosima omjera $E_{HBSS}(0,T) / E_{SABS}(0,T)$. Za opaženo vladanje postoje fizikalni razlozi. Naime, postoji fizikalno ograničenje koliko se mogu smanjiti gubici u HBSS-u, što se odražava na omjer $E_{HBSS}(0,T) / E_{SABS}(0,T)$. Zbog navedenog, kako bi se pokazalo da krivulje kojima je opisana promjena omjera $E_{HBSS}(0,T) / E_{SABS}(0,T)$ u funkciji parametra k imaju asimptotsko vladanje, odabran je širok raspon parametra k od 0,01 do 100.

Raspon parametra k , koji je od praktičnog značaja, određen je time da superkondenzator ima jednak ili manji unutarnji otpor od baterije, što odgovara kada je $k > 1$, pa sve do približno $k \approx 10$. U rasponu parametra k od 1 do približno 10 ($1 \leq k \leq 10$), promjenom parametra k znatno se mijenja omjer $E_{HBSS}(0,T) / E_{SABS}(0,T)$. Za veće vrijednosti od $k \approx 10$, zelene krivulje imaju vrlo izraženo asimptotsko vladanje, odnosno pokazuju zasićenje porastom parametra k te se ulaganje u veći superkondenzator s manjim unutarnjim otporom slabo odražava na promjenu omjera $E_{HBSS}(0,T) / E_{SABS}(0,T)$, što iz tehnoloških razloga nije poželjno. Zbog navedenog, samo raspon parametra k od 1 do približno 10 ($1 \leq k \leq 10$) iz tehnološke je perspektive opravdan. Prikazani su rezultati u skladu s rezultatima u literaturi [26, 40]. Međutim, kao što je pokazano, predstavljen pristup u ovom radu pogodniji je za interpretaciju rezultata i teorijska razmatranja. Također, *predstavljen pristup rezultirao je pronalaskom prema kojemu postoji interval parametra k koji je optimalan za dizajniranje HBSS-a iz tehnološkog aspekta*. Sve navedeno doprinosi praksi dizajniranja pasivnog HBSS-a iz tehnološkog aspekta [53-55].

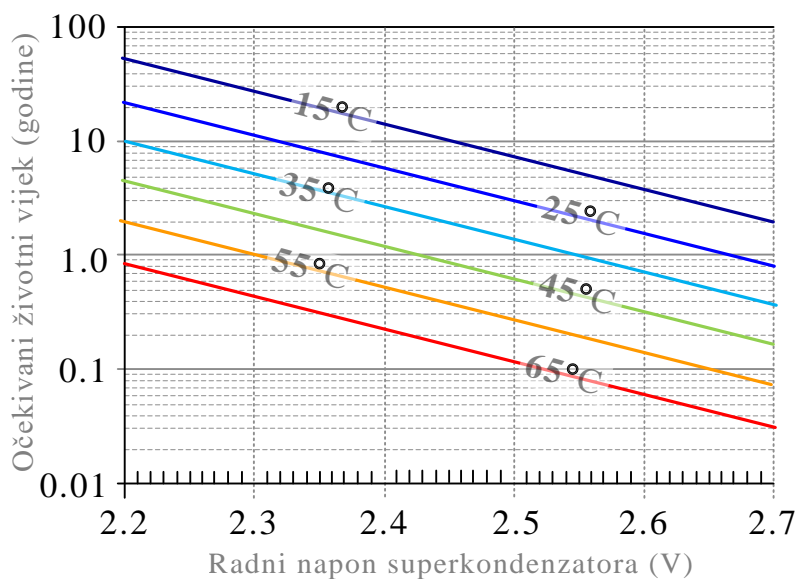
5. UJEDNAČIVAČI NAPONA NA SUPERKONDENZATORIMA

Nazivni napon superkondenzatora ovisi o kemijskom sastavu elektrolita [7-10] te se uglavnom nalazi u rasponu od 2,5 V do 3,0 V [7-10]. Takav radni napon odgovarajući je u aplikacijama koje zahtijevaju malu električnu snagu. U aplikacijama koje zahtijevaju veliku električnu snagu koristi se radni napon koji je nekoliko redova veličine veći od nazivnog napona superkondenzatora. Zbog navedenog, u takvim aplikacijama potrebno je serijski spajati superkondenzatore (ćelije) kako bi se postigao odgovarajući radni napon [56-60]. Na slici 5.1a prikazan je primjer pasivnog HBSS-a načinjen od n serijski spojenih ćelija baterija i m serijski spojenih ćelija superkondenzatora te njegova pojednostavljena ekvivalentna shema na slici 5.1b.



Slika 5.1. Pasivni HBSS a) načinjen od n serijski spojenih ćelija baterija i m serijski spojenih ćelija superkondenzatora; b) ekvivalentna shema

Nakon što se odrede iznosi elemenata mreža u ekvivalentnoj shemi pasivnog hibridnog sustava baterije i superkondenzatora prikazanoj na slici 5.1b za nju vrijedi sve navedeno u prethodnim poglavljima. Iznosi elemenata mreža u ekvivalentnoj shemi pasivnog hibridnog sustava baterije i superkondenzatora prikazanoj na slici 5.1b jednostavno se određuju. Ekvivalentna elektromotorna sila i ekvivalentni otpor svih baterija glase $E_{\text{eqv}} = n \cdot E$, $R_{B, \text{eqv}} = n \cdot R_B$, gdje je n broj baterija u serijskom spoju. Ekvivalentni kapacitet i ekvivalentni otpor svih superkondenzatora glase $C_{\text{eqv}} = C / m$, $R_{C, \text{eqv}} = m \cdot R_C$, gdje je m broj superkondenzatora u serijskom spoju. Međutim, zbog rasipanja parametara superkondenzatora, napon duž serijskog spoja superkondenzatora neće biti jednolik po superkondenzatorima [16]. Na nekim superkondenzatorima napon će biti viši od predviđenog, a na drugima niži. S obzirom da je očekivani životni vijek superkondenzatora ovisan o radnom naponu (slika 5.2 [16]), superkondenzatori na kojima je napon viši od prosjeka napona svih superkondenzatora u serijskom spoju imat će kraći životni vijek od superkondenzatora na kojima je radni napon niži od prosjeka napona svih superkondenzatora u serijskom spoju. Stoga nejednolika raspodjela napona smanjuje životni vijek cijelog serijskog spoja, tj. povećava vjerovatnost njegova kvara.



Slika 5.2. Očekivani životni vijek superkondenzatora u ovisnosti o radnom naponu superkondenzatora i temperaturi superkondenzatora

Drugi, također nepovoljan slučaj koji se može dogoditi jest da napon na pojedinim čelijama poprimi tako visok iznos koji izaziva elektrolizu elektrolita te nepovratno oštećenje superkondenzatora [7-10, 16, 61]. S obzirom da su superkondenzatori serijski spojeni, kvar i samo jedne čelije odgovara kvaru cijelog serijskog spoja. Kako bi se navedeno izbjeglo, potrebno je ujednačiti napone svih superkondenzatora duž njihova serijskog spoja. U tu se svrhu koriste spojevi koji se nazivaju izjednačivači, ujednačivači, ujednačivala (u žargonu se koriste i nazivi ekvilizatori i balanseri) napona [62-66].

Ujednačivači napona imaju različite topologije, složenost, energetsku učinkovitost, statičke i dinamičke performanse procesa ujednačivanja napona. U ovom radu posebna pažnja bit će posvećena ujednačivaču napona zasnovanom na preklapanju superkondenzatora. U svrhu analize utjecaja parametara Kirchhoffovog modela sustava i frekvencije preklapanja na ujednačenost napona duž serijskog spoja superkondenzatora, postupak ujednačavanja napona preklapanjem superkondenzatora bit će predstavljen kao Markovljev lanac. Upotreboom Markovljevih lanaca izbjegnuto je numeričko rješavanje diferencijalnih jednadžbi kojima su opisane prijelazne pojave koje se odvijaju u sistemu između svakog pojedinog preklapanja superkondenzatora. Zbog navedenog, predstavljanje postupaka ujednačavanja napona preklapanjem superkondenzatora kao Markovljevog lanaca može se okarakterizirati kao novi i učinkoviti pristup u analizi utjecaja parametara Kirchhoffovog modela ujednačivala napona na stupanj ujednačenosti napona duž serijskog spoja superkondenzatora.

5.1 Tehnike ujednačivanja (balansiranja) napona na superkondenzatorima

Ujednačivanje napona duž serijskog spoja superkondenzatora može se ostvariti različitim tehnikama. U literaturi se ustalilo nekoliko načina klasifikacije tehnika izjednačivanja napona na superkondenzatorima. Jedna od uobičajenih klasifikacija tehnika za ujednačivanje (balansiranje) napona na superkondenzatorima prikazana je na slici 5.3 [62-66].

Ukoliko se elektroničkim sklopovima nadzire napon na superkondenzatorima te, sukladno izmjerenim vrijednostima napona provodi ujednačavanje napona, tada se takve tehnike nazivaju aktivne tehnike balansiranja napona [67, 68]. U suprotnom, ukoliko se ne koriste skloovi kojima se nadzire napon na superkondenzatorima, tada se takve tehnike ujednačavanja (balansiranja) napona na superkondenzatora nazivaju pasivnim tehnikama.



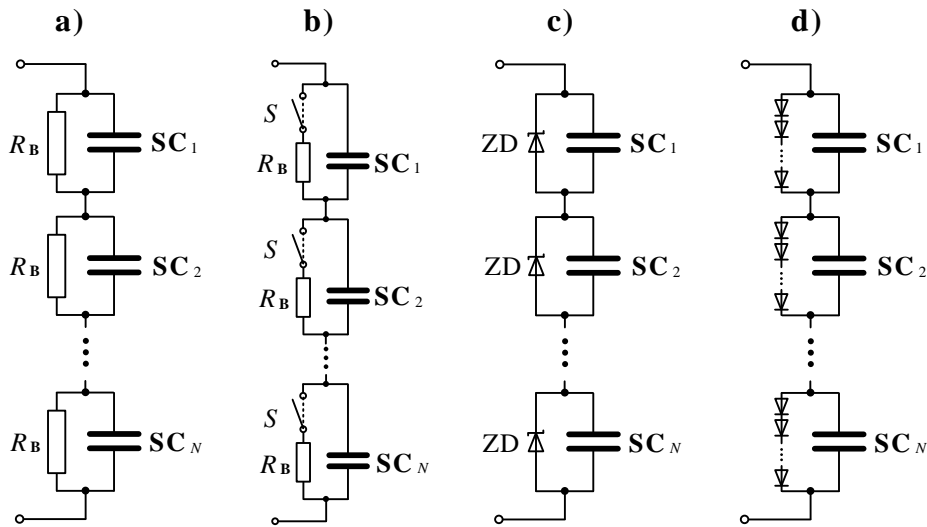
Slika 5.3. Tehnike ujednačivanja napona (balansiranja napona) na superkondenzatorima

Sljedeća, vrlo jednostavna podjela tehnika ujednačivanja (balansiranja) napona na superkondenzatorima je s obzirom na koji se način postupa s ekscesnim nabojem na superkondenzatorima koji su prepunjeni. U osnovi, ekscesni naboј iz prepunjenih superkondenzatora može se odvesti k izvoru kao što su baterija i pojna mreža, na podnapunjene superkondenzatore ili na disipativne komponente kao što su otpornici ili diode.

Ukoliko se ekscesni naboј na superkondenzatorskim čelijama koje su napunjene iznad određene granice odvodi na disipativne komponente na kojima se ta ekscesna energija iz superkondenzatora pretvara u toplinu, tada se te tehnike nazivaju disipativnim tehnikama ujednačivanja napona na čelijama. Disipativne tehnike ujednačivanja napona koriste jednostavne spojeve kao što je to prikazano na slici 5.4 [16]. Zbog loše energetske učinkovitosti disipativnih tehnika, one se primjenjuju samo u slučajevima gdje energetska učinkovitost nije od primarne važnosti, nego cijena sklopa za ujednačavanje napona koja treba biti niska.

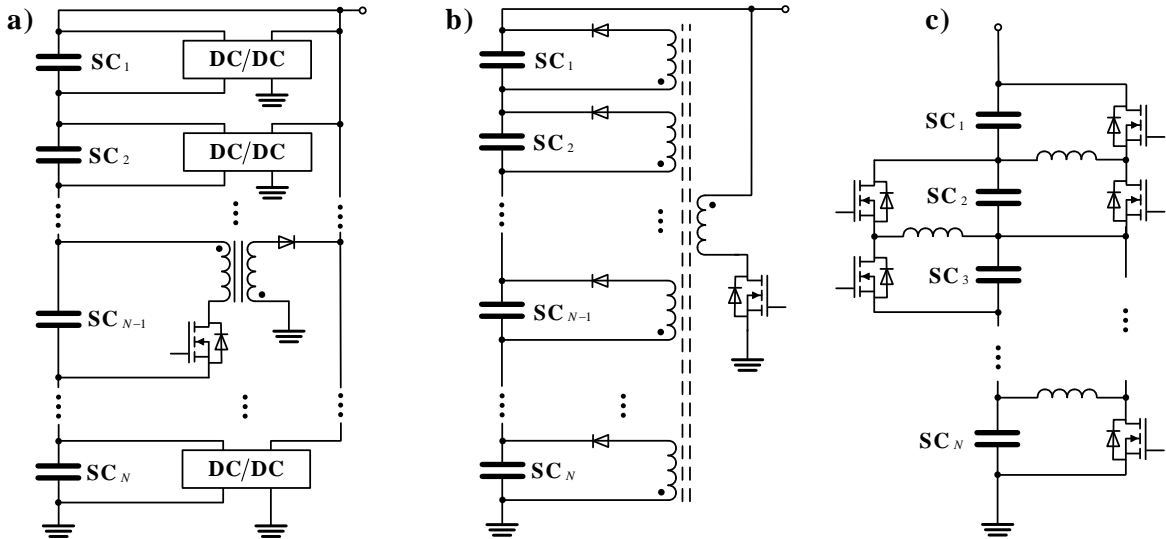
Ukoliko se ekscesni naboј na superkondenzatorskim čelijama koje su napunjene iznad određene granice odvodi k izvoru (bateriji ili pojnoj mreži) ili k superkondenzatorima koji su

podnapunjeni, veći dio energije vezane uz pretakanje ekscesnog naboja iz prenapunjenih superkondenzatora može se iskoristiti. Iako u tom procesu pretakanja energije postoje određeni gubici, relativno su mali te se govori o nedisipativnim tehnikama ujednačivanja napona.



Slika 5.4. Disipativne tehnike izjednačivanja napona na superkondenzatorima, a) otpornicima, b) preklopivim otpornicima, c) zener diodama, d) ispravljačkim diodama

U klasu nedisipativnih tehnik ujednačivanja napona spadaju i tehnike koje sprečavaju znatniju neujednačenosti napona duž serijskog spoja superkondenzatora od samoga početka napajanja serijskog spoja superkondenzatora. To se postiže na način da je svaki pojedini superkondenzator dodatno napajan jednakim DC naponom. Pri tome kroz to dodatno napajanje teče manja snaga negoli što teče kroz serijski spoj superkondenzatora. U tu svrhu mogu se koristiti DC/DC pretvarači (slika 5.5a [69]), višenamotni transformatori s ispravljačkim diodama na sekundarnoj strani (slika 5.5b [69]) ili tehnika zasnovana na “Buck-boost-u“ (slika 5.5c [69]). Na slici 5.5 [69] prikazani su odabrani primjeri jednostavnijih nedisipativnih tehnik ujednačivanja napona na superkondenzatorima.

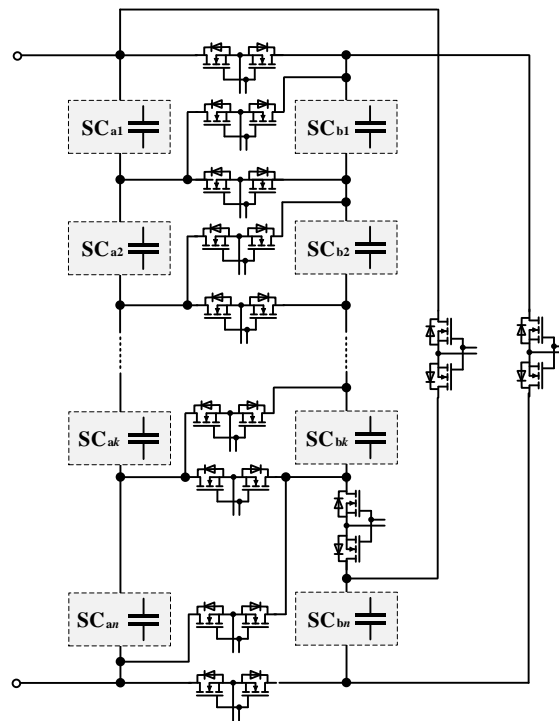


Slika 5.5. Odabrani primjeri nedisipativnih tehniki ujednačivanja napona na superkondenzatorima, a) tehnika zasnovana na “flyback” pretvaraču, b) tehnika zasnovana na višenamotnom transformatoru i “flyback” pretvaraču, c) tehnika zasnovana na “Buck-boost-u”

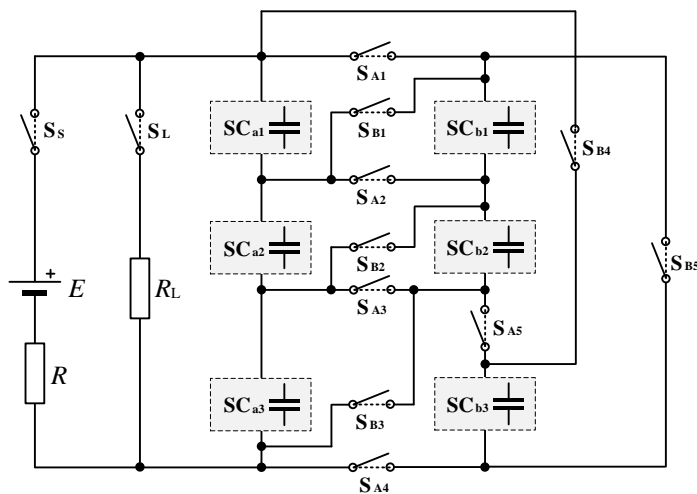
5.2 Ujednačivač napona zasnovan na preklapanju superkondenzatora

Trend po kojem se nastoji izbjegći korištenje magnetskih komponenti u sklopovima za izjednačavanje napona duž serijskih spojeva superkondenzatora rezultirao je različitim tehnikama preklapanja superkondenzatora pomoću poluvodičkih sklopki [69-75]. Jedan od načina na koji se izjednačivač napona zasnovan na preklapanju superkondenzatora može realizirati jest na način kako je to prikazano slikom 5.6 (prilagođena iz [69]). Ova vrsta izjednačivača napona koristi parni broj superkondenzatora. Superkondenzatori su podijeljeni u dvije skupine, jedna skupina nazvana je skupinom „a“ i u njoj se nalazi n superkondenzatora, druga je skupina nazvana skupinom „b“ i u njoj se nalazi n superkondenzatora, odnosno jednak broj superkondenzatora kao u skupini „a“. Obje skupine superkondenzatora spojene su na zajedničko DC napajanje. U određenom trenutku, svaki pojedini superkondenzator iz skupine „a“ spojen je paralelno samo s jednim superkondenzatorom iz skupine „b“. Preklapanje superkondenzatora obavlja se pomoću poluvodičkih sklopki koje se nazivaju dvosmjerne MOSFET sklopke (engl. *bidirectional MOSFET switches*) jer omogućavaju tok struje u obama smjerovima. Predstavljanjem poluvodičkih dvosmjernih MOSFET sklopki s općim simbolom sklopke dobiva se jednostavniji grafički prikaz izjednačivača napona zasnovanog na preklapanju superkondenzatora koji će dalje poslužiti za opis njegova rada (slika 5.7 prilagođena iz [69]).

Na slici 3.7 prikazana je i grana s izvorom predstavljena ekvivalentom elektromotornom silom (E) i ekvivalentnim serijskim otporom (R) te grana s teretom, predstavljena otporom tereta (R_L), gdje indeks „L“ dolazi od engleske riječi *load*, što znači teret.

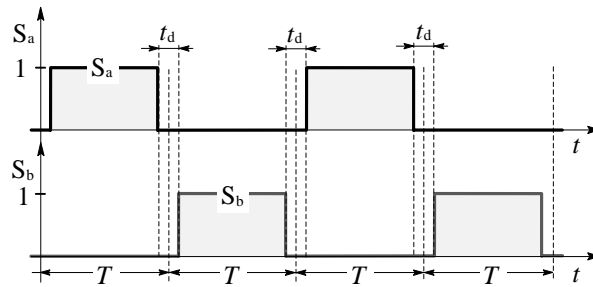


Slika 5.6. Ujednačivač napona zasnovan na preklapanju superkondenzatora



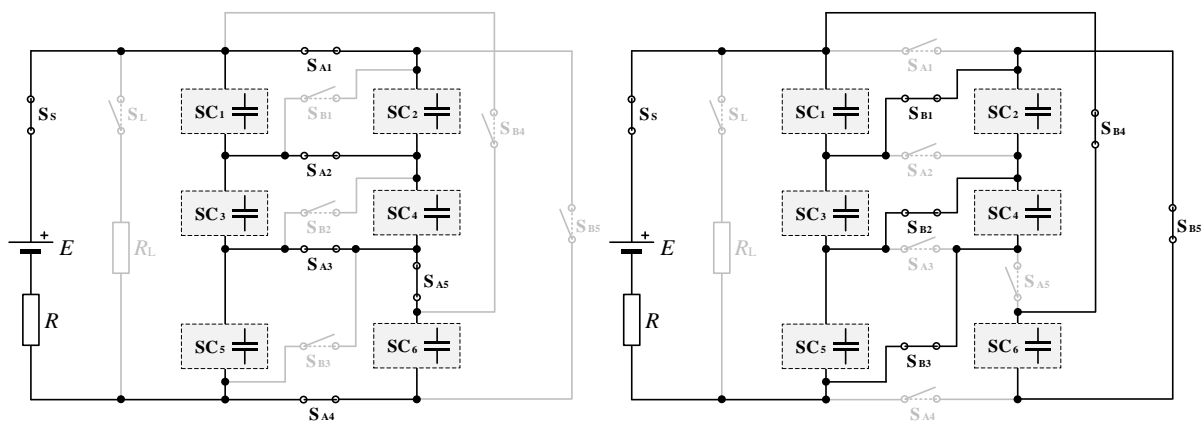
Slika 5.7. Pojednostavljen prikaz ujednačivača napona zasnovanog na preklapanju superkondenzatora

Sklopke se također mogu podijeliti u dvije skupine („a“ i „b“). Kada su sklopke iz skupine „a“ uklopljene, tada su sklopke iz skupine „b“ isklopljene i obrnuto. Ukratko, sklopke iz skupine „a“ uvijek imaju suprotno sklopno stanje od sklopki iz skupine „b“ (slika 5.8 [69,76,77]).



Slika 5.8. Slijed sklopnih radnji između skupa sklopki S_a i S_b , T - period uklopa/isklopa, t_d - vremensko kašnjenje kako bi se izbjeglo preklapanje

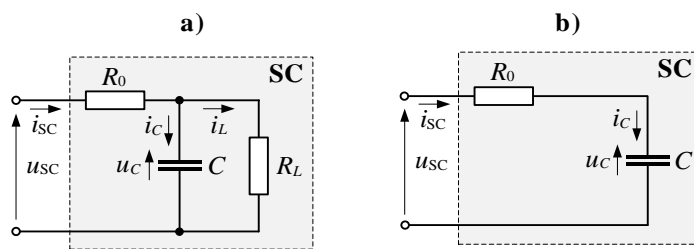
Kako bi se izbjeglo nehotično preklapanje rada sklopki iz skupine „a“ sa sklopkama iz skupine „b“, pri generiranju upravljačkog signala kojime se upravlja radom dvosmjernih sklopki potrebno je uvesti vremensko kašnjenje (zatezanje). Na slici 5.8 (prilagođena iz [69]) vremensko kašnjenje označeno je s t_d (indeks „d“ dolazi od engleske riječi *delay*, što znači kašnjenje).



Slika 5.9. Prikaz ožičenja za slučajeve kada je skup sklopki „Sa“ uklonjen, a skup sklopki „Sb“ isklopljen i obrnuto

5.3 Matematički opis ujednačavanja napona

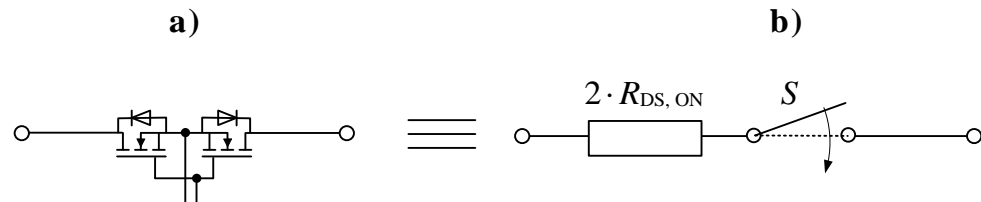
Za izgradnju odgovarajućeg mrežnog (Kirchhoffovog) modela, kojime se može opisati proces ujednačavanja napona između dvaju superkondenzatora s različitim početnim naponima, potrebno je izabrati odgovarajući mrežni model superkondenzatora i poluvodičke MOSFET sklopke. Najjednostavnija ekvivalentna shema superkondenzatora kojom su uvažena njegova dominantna svojstva prikazana je na slici 5.10a [7-10].



Slika 5.10. Ekvivalentne sheme superkondenzatora, a) shema prikladan za vrlo spore promjene kada je važno uvažiti samopražnjenje, b) za brze promjene

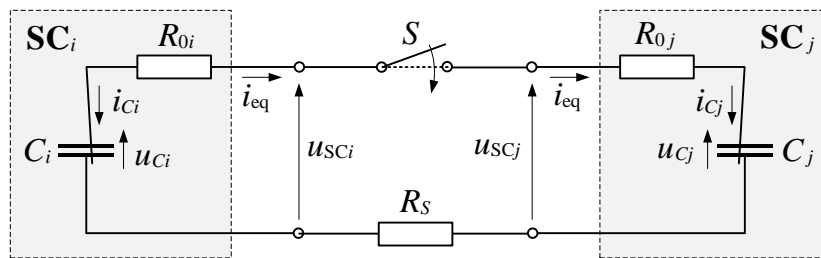
U shemi prikazanoj na slici 5.10a, elementi mreža imaju značenja R_0 - ekvivalentni serijski otpor superkondenzatora, C - kapacitet superkondenzatora, R_L - otpor kojim je modelirano samopražnjenje, tj. propuštanje struje (indeks „L“ dolazi od engleske riječi *leakage*, što označi propuštanje). U određenim slučajevima, na primjer kada se modeliraju brze prijelazne pojave, nije potrebno uvažavati samopražnjenje superkondenzatora te se može koristi jednostavan model superkondenzatora prikazan na slici 5.10b. Takav slučaj nastupa pri modeliranju procesa ujednačavanja napona između dvaju superkondenzatora s različitim početnim naponima. Naime, trajanje prijelazne pojave ujednačavanja napona nekoliko redova veličine neusporedivo je kraće od trajanja procesa samopražnjenja. Stoga se samopražnjenje tijekom trajanja prijelazne pojave ujednačavanja napona može zanemariti.

Kada je upravljački napon (napon u_{GS}) na MOSFET-u takav da je kanal MOSFET-a potpuno otvoren, tj. MOSFET je vodljiv, tada električni otpor protjecanju struje odgovara otporu $R_{DS,ON}$ koji se očitava iz tehničkih podataka proizvođača za dani MOSFET. S obzirom da je dvosmjerna poluvodička sklopka načinjena od dvaju identičnih MOSFET-a, taj njezin otpor odgovara dvostrukoj vrijednosti otpora $R_{DS,ON}$ (slika 5.11).



Slika 5.11. a) Dvosmjerna poluvodička MOSFET sklopka, b) model dvosmjerne poluvodičke MOSFET sklopke

Korištenjem modela superkondenzatora prikazanog na slici 5.10b i modela dvosmjerne poluvodičke MOSFET sklopke prikazane na slici 5.11b dobiva se ekvivalentna Kirchhoffova shema dvaju superkondenzatora i jednog para dvosmjernih poluvodičkih MOSFET-a kako je prikazano na slici 5.12.



Slika 5.12. Ekvivalentna Kirchhoffova shema dvaju superkondenzatora i para dvosmjernih poluvodičkih MOSFET sklopki predstavljenih idealnom sklopkom i otporom R_s

R_{0i} je ekvivalentni serijski otpor i-tog superkondenzatora, R_{0j} - ekvivalentni serijski otpor j-tog superkondenzatora, C_i - kapacitet i-tog superkondenzatora (SC_i), C_j - kapacitet j-tog superkondenzatora (SC_j), R_s - ekvivalentni otpor jednog para (četiri MOSFET-a) dvosmjernih poluvodičkih sklopki ($R_s = 4 \cdot R_{DS, ON}$), S - idealna sklopka, i_{eq} - struja izjednačavanja (indeks eq dolazi od engleske riječi *equilibrium*, što znači izjednačavanje), u_{Ci} -napon na i-tom superkondenzatoru (SC_i) i napon na j-tom superkondenzatoru (SC_j).

Prema shemi prikazanoj na slici 5.12., nakon uklopa sklopke S , za svaki $t \geq 0_+$ vrijedi:

$$u_{Ci} - i_{eq} \cdot R_{eqv} - u_{Cj} = 0, \quad (5-1)$$

$$i_{Ci} = C_i \frac{du_{Ci}}{dt}, \quad (5-2)$$

$$i_{Cj} = C_j \frac{du_{Cj}}{dt}, \quad (5-3)$$

$$i_{eq} = i_{Cj} = -i_{Ci}, \quad (5-4)$$

gdje je R_{eqv} ekvivalentni serijski otpor, a definiran je izrazom: $R_{eqv} = R_s + 2R_0$.

Kako je $R_s = 4 \cdot R_{DS, ON}$, vrijedi:

$$R_{eqv} = 4 \cdot R_{DS, ON} + 2R_0. \quad (5-5)$$

Uvrštavanje (5-4) u (5-1) daje:

$$u_{Ci} + i_{Ci} \cdot R_{eqv} - u_{Cj} = 0. \quad (5-6)$$

Uvrštavanje (5-2) u (5-6) daje:

$$u_{Ci} + R_{\text{eqv}} C_i \frac{du_{Ci}}{dt} - u_{Cj} = 0. \quad (5-7)$$

Diferenciranje prethodnog izraza po vremenu daje:

$$\frac{du_{Ci}}{dt} + R_{\text{eqv}} C_i \frac{d^2 u_{Ci}}{dt^2} - \frac{du_{Cj}}{dt} = 0. \quad (5-8)$$

Uvrštavanjem izraza (5-2) i izraza (5-3) u izraz (5-4) daje:

$$\frac{du_{Cj}}{dt} = - \frac{C_i}{C_j} \frac{du_{Ci}}{dt}. \quad (5-9)$$

Uvrštavanjem izraza (5-9) u izraz (5-8) daje:

$$\frac{du_{Ci}}{dt} + R_{\text{eqv}} C_i \frac{d^2 u_{Ci}}{dt^2} + \frac{C_i}{C_j} \frac{du_{Ci}}{dt} = 0. \quad (5-10)$$

Daljnje uređivanje prethodnog izraza daje:

$$\left(1 + \frac{C_i}{C_j} \right) \frac{du_{Ci}}{dt} + R_{\text{eqv}} C_i \frac{d^2 u_{Ci}}{dt^2} = 0, \quad (5-11)$$

$$R_{\text{eqv}} \frac{C_i C_j}{C_i + C_j} \frac{d^2 u_{Ci}}{dt^2} + \frac{du_{Ci}}{dt} = 0. \quad (5-12)$$

Integriranje prethodnog izraza po vremenu daje diferencijalnu jednadžbu prvoga reda:

$$R_{\text{eqv}} \frac{C_i C_j}{C_i + C_j} \frac{du_{Ci}}{dt} + u_{Ci} = 0, \quad (5-13)$$

koja se može zapisati u jezgrovitijem obliku na način:

$$\tau_{ij} \cdot \frac{du_{Ci}}{dt} + u_{Ci} = 0, \quad (5-14)$$

gdje je τ_{ij} vremenska konstanta [47], a određena je izrazom:

$$\tau_{ij} = R_{\text{eqv}} \frac{C_i C_j}{C_i + C_j}, \quad (5-15)$$

U svrhu dalnjeg pojednostavljenja matematičkih izraza može se usvojiti da su kapaciteti i-tog i j-tog superkondenzatora približno jednaki ($C_i \approx C_j$) te da vrijednost njihova kapaciteta odgovara srednjoj vrijednosti kapaciteta (\bar{C}) svih superkondenzatora koji se nalaze u izjednačivaču napona zasnovanom na preklapanju superkondenzatora. Sukladno navedenom, vrijedi:

$$C_i \approx C_j \approx \bar{C}, \quad (5-16)$$

gdje je srednja vrijednost kapaciteta svih $2n$ superkondenzatora koji se nalaze u ujednačivaču određena izrazom:

$$\bar{C} = \frac{1}{2n} \sum_{k=1}^{2n} C_k. \quad (5-17)$$

Također, može se usvojiti da su ekvivalentni serijski otpori i-tog i j-tog superkondenzatora približno jednaki ($R_{0i} \approx R_{0j}$) te da vrijednost njihova otpora odgovara srednjoj vrijednosti otpora (\bar{R}_0) svih superkondenzatora koji se nalaze u ujednačivaču napona zasnovanom na preklapanju superkondenzatora. Sukladno navedenom, vrijedi:

$$\bar{R}_0 = \frac{1}{2n} \sum_{k=1}^{2n} R_{0k}. \quad (5-18)$$

Uvažavanjem (5-17) i (5-18) te (5-5), proizlazi izraz za najbolju mjeru ekvivalentnog otpora:

$$R_{\text{eqv}} = 4 \cdot R_{\text{DS, ON}} + 2\bar{R}_0 \quad (5-19)$$

Uvažavanjem izraza od (5-16) do (5-19), izraz za vremensku konstantu određenu izrazom (5-15) može se zapisati u obliku:

$$\tau_{ij} = \frac{1}{2} R_{\text{eqv}} \bar{C}. \quad (5-20)$$

Kako je $\tau_{ij} = \tau_{ji}$, vremenska se konstanta može zapisivati bez upotrebe indeksa:

$$\tau = \frac{1}{2} R_{\text{eqv}} \bar{C}. \quad (5-21)$$

Uvažavanjem (5-14) i (5-21), mogu se u jezgrovitom obliku zapisati diferencijalne jednadžbe kojima su opisane prijelazne pojave promjene napona na i-tom i j-tom superkondenzatoru:

$$\tau \cdot \frac{du_{Ci}}{dt} + u_{Ci} = 0, \quad (5-22)$$

$$\tau \cdot \frac{du_{Cj}}{dt} + u_{Cj} = 0. \quad (5-23)$$

Diferencijalne jednadžbe (5-22) i (5-23) imaju opće rješenje u obliku:

$$u_{Ci} = A_i \cdot e^{-\frac{t}{\tau}} + B_i, \quad (5-24)$$

$$u_{Cj} = A_j \cdot e^{-\frac{t}{\tau}} + B_j. \quad (5-25)$$

Gdje su A_i , A_j , B_i i B_j nepoznate konstante integracije koje se određuju iz početnih uvjeta. Napon na svakom pojedinom superkondenzatoru može se izraziti u obliku:

$$u_{Ck} = \bar{U} + \Delta u_k, \quad (5-26)$$

gdje je Δu_k devijacija napona na k-tom superkondenzatoru u odnosu na srednju vrijednost napona \bar{U} svih $2n$ superkondenzatora koja je određena izrazom:

$$\bar{U} = \frac{1}{2n} \sum_{k=1}^{2n} u_{Sc_k}. \quad (5-27)$$

Prema zakonu komutacije [47], naponi u_{SC_k} ostaju nepromijenjeni tijekom komutacije te za prvu komutaciju (izraz (5-28)) i svaku narednu komutaciju (izraz (5-29)) vrijedi:

$$u_{SC_k}(0_-) = u_{SC_k}(0_+) \quad \forall k = 1, 2, 3 \dots n \quad (5-28)$$

$$u_{SC_k}(mT_s-) = u_{SC_k}(mT_s+), \quad m = 0, 1, 2, \dots, \infty \quad (5-29)$$

Gdje m označava redni broj sklopne radnje (engl. *switching step*), a T_s označava sklopno vrijeme koje je vezano s frekvencijom sklopnih radnji f_s izrazom $T_s = 1/f_s$.

Bez gubitka općenitosti, postupak određivanja nepoznatih konstanti integracija $(A_i, A_j, B_i \text{ i } B_j)$ bit će prikazan samo za prvu sklopnu radnju, a za svaku narednu sklopnu radnju određuje se analognim postupkom.

Za trenutak $t = 0_+$ iz (5-24) i (5-25) vrijedi:

$$u_{Ci}(0_+) = A_i + B_i, \quad (5-30)$$

$$u_{Cj}(0_+) = A_j + B_j. \quad (5-31)$$

Za $t \rightarrow \infty$, odnosno što je ispunjeno kada je $t \geq 5 \cdot \tau$, iz (5-24) i (5-25) proizlazi:

$$u_{Ci}(\infty) = B_i, \quad (5-32)$$

$$u_{Cj}(\infty) = B_j. \quad (5-33)$$

Kombiniranje izraza (5-30) - (5-33) s izrazima (5-24) i (5-25) daje:

$$u_{Ci} = [u_{Ci}(0_+) - u_{Ci}(\infty)] \cdot e^{-\frac{t}{T_{ij}}} + u_{Ci}(\infty), \quad (5-34)$$

$$u_{Cj} = [u_{Cj}(0_+) - u_{Cj}(\infty)] \cdot e^{-\frac{t}{T_{ji}}} + u_{Cj}(\infty). \quad (5-35)$$

Primjenom zakona očuvanja naboja [47], naponi $u_{Ci}(\infty)$ i $u_{Cj}(\infty)$ mogu se izraziti u obliku:

$$u_{Ci}(\infty) = u_{Cj}(\infty) = \frac{1}{2} [u_{Ci}(0_+) + u_{Cj}(0_+)]. \quad (5-36)$$

Korištenjem izraza (5-26), naponi $u_{Ci}(0_+)$ i $u_{Cj}(0_+)$ mogu se zapisati u obliku:

$$u_{Ci}(0_+) = \bar{U} + \Delta u_{Ci}(0_+), \quad (5-37)$$

$$u_{Cj}(0_+) = \bar{U} + \Delta u_{Cj}(0_+). \quad (5-38)$$

Uvrštavanje prethodna dva izraza u izraz (5-36) daje:

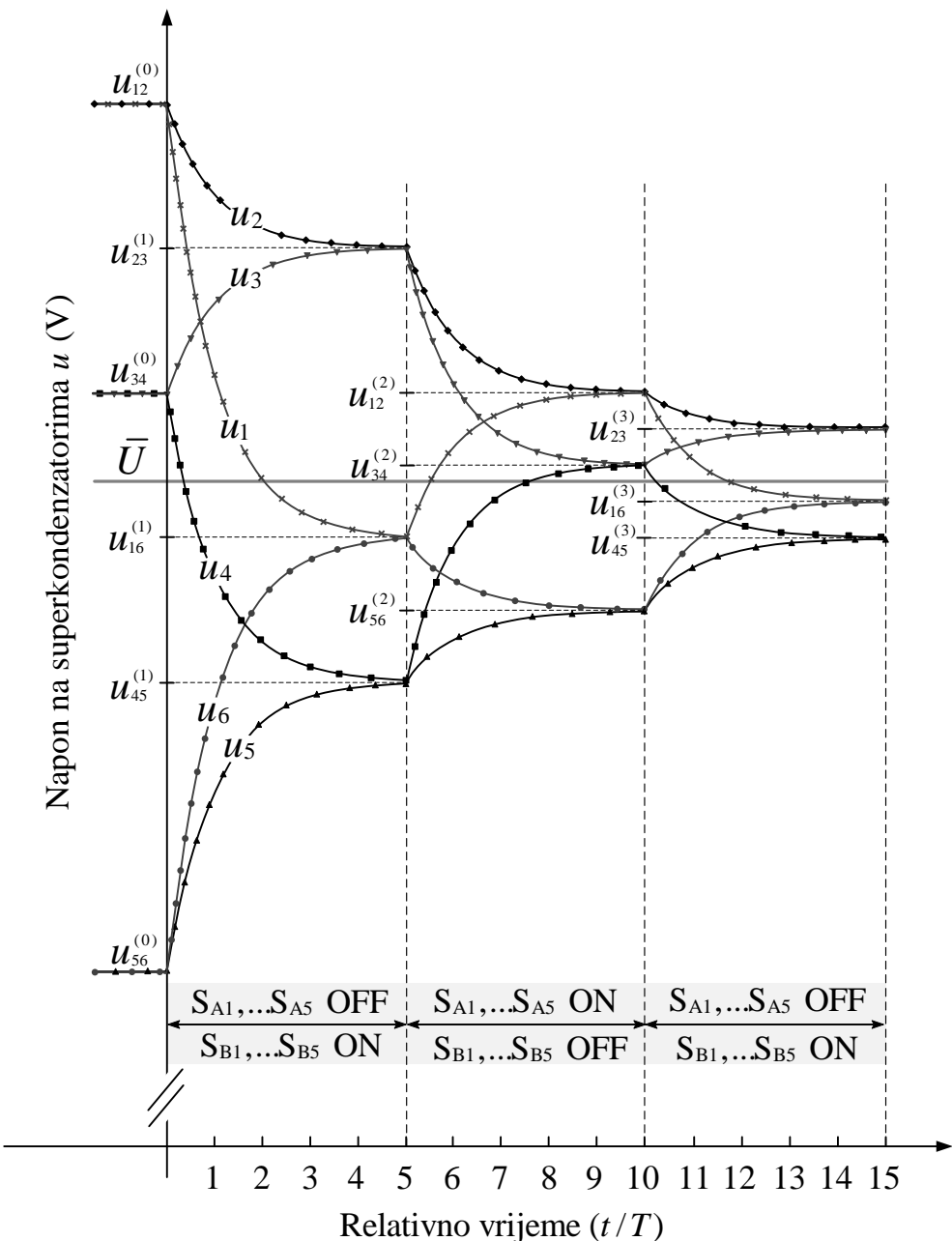
$$u_{ci} = \left[\frac{\Delta u_{ci}(0_+) - \Delta u_{cj}(0_+)}{2} \right] \cdot e^{-\frac{t}{\tau}} + \bar{U} + \left[\frac{\Delta u_{ci}(0_+) + \Delta u_{cj}(0_+)}{2} \right], \quad (5-39)$$

$$u_{cj} = \left[\frac{\Delta u_{cj}(0_+) - \Delta u_{ci}(0_+)}{2} \right] \cdot e^{-\frac{t}{\tau}} + \bar{U} + \left[\frac{\Delta u_{ci}(0_+) + \Delta u_{cj}(0_+)}{2} \right]. \quad (5-40)$$

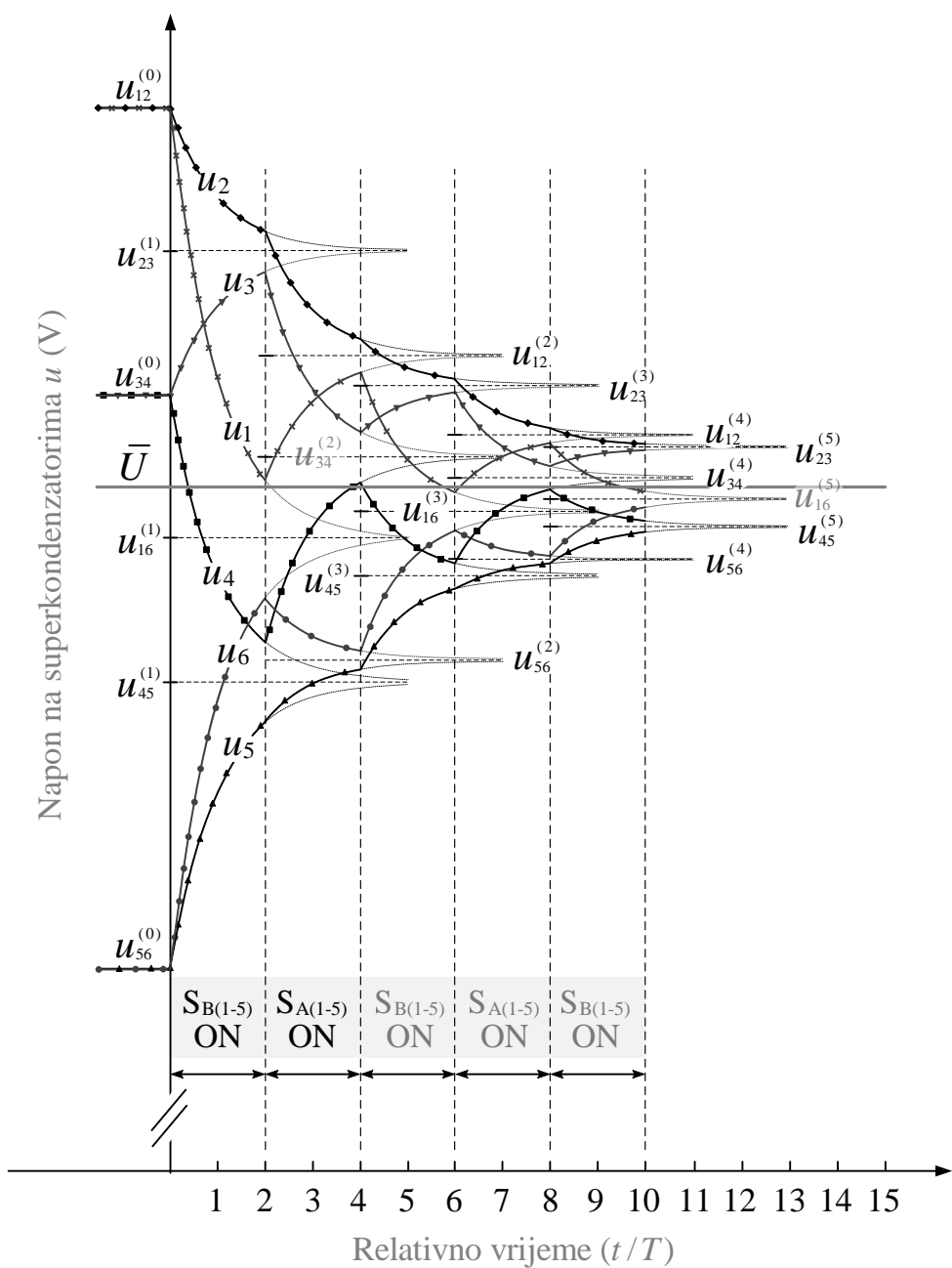
Prethodni su izrazi u takvom obliku da se mogu koristi i za svaku sljedeću sklopnu radnju kao i za svaki par superkondenzatora koji mogu doći u paralelni spoj. Također, iz razloga koji će kasnije u sedmom poglavlju biti jasni, prethodna su dva izraza s namjerom dovedena u oblik koji je prikladan za upotrebu Markovljevih lanaca. Prethodna su dva izraza također pogodna za teorijska razmatranja. Pomoću njih se mogu dobiti kvalitativni grafički prikazi valnih oblika napona na superkondenzatorima tijekom procesa ujednačivanja napona na njima. Na slikama 5.13 i 5.14 prikazani su valni oblici naponskih tranzijenata na superkondenzatorima za slučajeve kada je sklopno vrijeme jednako pet vremenski konstanti $T_{\text{switch}} = 5\tau$ (slika 5.13) te kada je sklopno vrijeme jednako dvije vremenske konstante $T_{\text{switch}} = 2\tau$ (slika 5.14). Na slici 5.13 i slici 5.14 na apscisi je relativno vrijeme izraženo u omjerom t/τ , a na ordinati napon na superkondenzatorima. Do trenutka $t=0$ usvojeno je da su superkondenzatori broj „1“ i „2“ u paralelnom spoju te imaju jednak napon koji je označen s $u_{12}^{(0)}$, gdje nula označava nultu sklopnu radnju. Također, početno su superkondenzatori označeni brojevima „3“ i „4“ u paralelnom spoju te imaju jednak napon koji je označen s $u_{34}^{(0)}$. Isto vrijedi i za superkondenzatore označene brojevima „5“ i „6“ koji su početno u paralelnom spoju te imaju jednak napon koji je označen s $u_{56}^{(0)}$. Pri prvoj sklopnoj radnji superkondenzatori se u izjednačivaču napona rekonfiguriraju te superkondenzatori označeni brojevima „2“ i „3“ postaju paralelni; zatim superkondenzatori označeni brojevima „1“ i „6“ postaju paralelni te superkondenzatori označeni brojevima „4“ i „5“. Naponi koji bi vladali na superkondenzatorima koji su u paralelnom spoju u prvoj sklopnoj radnji, kada bi njezino trajanje bilo tako da završi prijelazna pojava, označeni su s $u_{16}^{(0)}$, $u_{23}^{(0)}$ i $u_{45}^{(0)}$.

Uspoređujući slike 5.13 i 5.14 može se uočiti da smanjenje trajanja sklopog vremena, odnosno povećanje sklopne frekvencije ubrzava proces ujednačavanja napona na superkondenzatorima.

Također, može se uočiti da je proces ujednačavanja napona izrazito brz u početku, tijekom prvih nekoliko sklopnih radnji, negoli tijekom dalnjih sklopnih radnji. Stoga se u praksi može dogoditi da disbalans napona na superkondenzatorima već nakon nekoliko sklopnih radnji padne ispod razine koja je opasna za superkondenzatore.



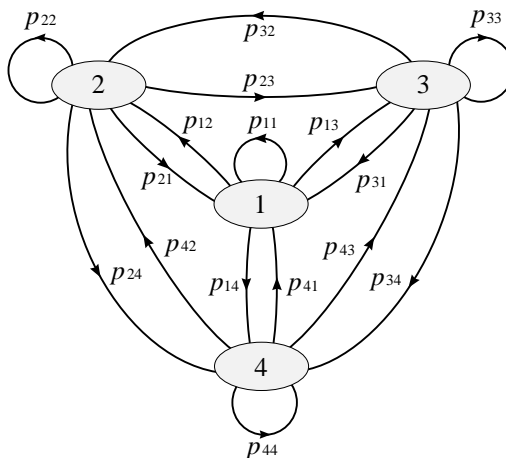
Slika 5.13. Naponski tranzijenti na superkondenzatorima ($T_{\text{switch}} = 5\tau$)



Slika 5.14. Naponski tranzijenti na superkondenzatorima ($T_{\text{switch}} = 2\tau$)

6. PROCES UJEDNAČAVANJA NAPONA PREDSTAVLJEN KAO MARKOVLJEV LANAC

Prema definiciji, Markovljev lanac (engl. *Markov chain*) jest slučajni (stohastički) proces kojime je opisan slijed mogućih događaja u kojemu vjerojatnost svakog događaja u nekom određenom trenutku ovisi samo o stanju u prethodnom trenutku [78-81]. Markovljevi lanci kao statistički modeli pokazali su se pogodnima za modeliranje i proučavanje različitih procesa u stvarnom svijetu. Markovljevi lanci koriste se za modeliranje bioloških, kemijskih i fizikalnih procesa [82-84]. Također, našli su primjenu i u modeliranju procesa u ekonomiji, financijama, teoriji informacija i tehničkih sustava. Za lakše modeliranje procesa predstavljenih Markovljevim lancem uobičajeno se prvo crtaju dijagrami Markovljevog procesa. Jedan takav dijagram kojime je predstavljen Markovljev proces s četirima stanjima prikazan je na slici 6.1 [85-88].



Slika 6.1. Dijagram kojime je predstavljen Markovljev proces s četirima stanjima (1, 2, 3 i 4)

Markovljev proces prikazan dijagramom na slici 6.1 je stohastički proces koji ima četiri vrijednosti (stanja, engl. *states*) u skupu S (prostoru stanja), tj. $S = \{s_1, s_i, \dots, s_j, s_4\}$. Razdioba stanja u koraku ($k+1$) može se odrediti iz razdiobe stanja u prethodnom koraku (k) izrazom [88, 89]:

$$S^{k+1} = P \cdot S^k. \quad (6-1)$$

Gdje je S^{k+1} - distribucija (razdioba) stanja u koraku $k+1$, S^k - distribucija (razdioba) stanja u koraku k , P - matrica prijelaznih vjerojatnosti za Markovljev proces (engl. *transition probability matrix for Markov chain*).

Kako je $S^1 = P \cdot S^0$, $S^2 = P \cdot S^1 = P^2 \cdot S^0$, $S^3 = P \cdot S^2 = P^3 \cdot S^0$ distribucija stanja u koraku (k) vezana je s inicijalnom distribucijom stanja ($k = 0$) izrazom:

$$S^k = P^k \cdot S^0. \quad (6-2)$$

Matrica prijelaznih vjerojatnosti za Markovljev lanac sadrži prijelazne vjerojatnosti koje odgovaraju relativnim frekvencijama prelaska iz određenog stanja u drugo određeno stanje. Matrica prijelaznih vjerojatnosti ima svojstvo [78-89]:

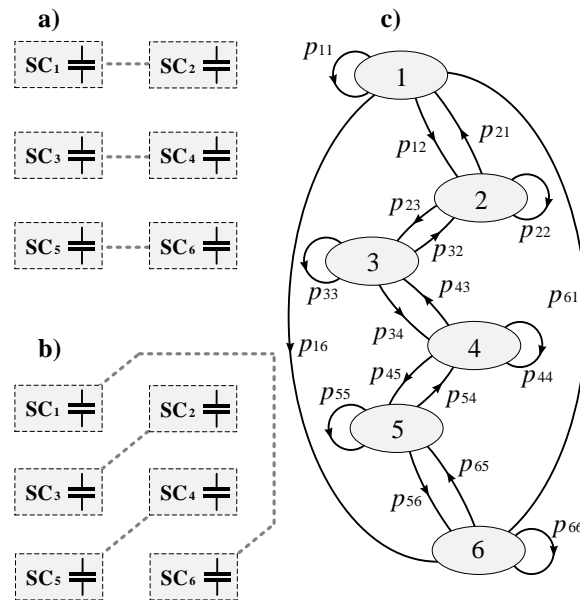
$$\forall i, j, P_{i,j} \in [0,1], \forall i, \sum_{j=1}^N P_{i,j} = 1, \quad (6-3)$$

gdje prijelazne vjerojatnosti $P_{i,j}$ označavaju vjerojatnost prelaska iz stanja s_i u stanje s_j , a N je ukupan broj stanja u sistemu.

6.1 Modeliranje procesa ujednačavanja napona kao Markoljev lanac

Inicijalno, naponi na superkondenzatorima u ujednačivaču napona zasnovanom na preklapanju superkondenzatora raspršeni su oko srednje vrijednosti napona svih superkondenzatora. Također, isto vrijedi i pri svakoj narednoj sklopnjoj radnji (koraku) s razlikom da se, uslijed ujednačavanja napona, raspršenje iznosa napona na superkondenzatorima u odnosu na srednju vrijednost svih superkondenzatora smanjuje.

Ukoliko se ujednačivač napona zasnovan na preklapanju superkondenzatora smatra kao sistem, a naponi na svakom superkondenzatoru slučajnim varijablama, tada se proces ujednačavanja napona na superkondenzatorima može opisati kao Markovljev lanac. Kako bi se uspješno primjenila svojstva Markovljevog lanca u određivanju razdiobe iznosa napona na svim superkondenzatorima pri svakoj novoj sklopnjoj radnji, iz konteksta Markovljevih lanaca, za svaku novu sklopnu radnju koristit će se naziv korak, a fizikalne veličine (naponi) koje se određuju iz koraka u korak bit će predstavljene matematičkim formalizmom koji se koristi pri opisu Markovljevih lanaca. Bez gubitka općenitosti, u tu svrhu neka posluži ujednačivač napona zasnovan na preklapanju superkondenzatora koji sadrži šest superkondenzatora (slika 5.7). Na slici 6.2 dijagramom je predstavljen ujednačivač napona zasnovan na preklapanju superkondenzatora koji sadrži šest superkondenzatora za slučajeve kada je grupa prekidača s oznakom A u stanju ON te je grupa prekidača s oznakom B u stanju ON. Na slici 6.2c prikazan je dijagram sustava sa šest mogućih stanja te pripadajuće označke vjerojatnosti prelaska iz određenih stanja u drugo određeno stanje. S obzirom da sistem koji se analizira ne može direktno prijeći iz određenih stanja u drugo određeno stanje, na primjer superkondenzatori pod brojem „1“ i „3“ nikada ne postaju paralelni, pripadajuće vjerojatnosti prelaska jednake su nuli te nisu prikazane grafički.



Slika 6.2. Dijagramska prikaz ožičenja između SC-a kada je a) grupa prekidača s oznakom A u stanju ON, b) kada je grupa prekidača s oznakom B u stanju ON, c) dijagram koji predstavlja ujednačivač napona sa šest SC-ova na temelju tehnike preklapanja SC-ova

Markovljev je lanac potpuno okarakteriziran inicijalnom distribucijom vjerojatnosti stanja i matricom prijelaznih vjerojatnosti. Neka je s P označena matrica prijelaznih vjerojatnosti Markovljevog lanca, a s U_{SC}^0 vektor inicijalne distribucije stanja (nulti korak $k = 0$). Vektor U_{SC}^0 predstavlja inicijalnu distribuciju napona na superkondenzatorima, gdje se prvi redak u vektoru odnosi na prvi superkondenzator, drugi redak na drugi superkondenzator itd. Sukladno izrazu (6-2), vektor distribucije napona na superkondenzatorima u koraku k određen je izrazom:

$$U_{\text{SC}}^{(k)} = P^k \cdot U_{\text{SC}}^0. \quad (6-4)$$

Početno stanje, tj. u koraku nula ($k = 0$), određeno je početnom vjerojatnosnom distribucijom stanja, odnosno napona na superkondenzatorima (vektor U_{SC}):

$$U_{\text{SC}}^0 = [\bar{U} + \Delta U \quad \bar{U} + \Delta U \quad \bar{U} \quad \bar{U} \quad \bar{U} - \Delta U \quad \bar{U} - \Delta U]^T. \quad (6-5)$$

Elementi vektora U_{SC}^0 imaju vrijednosti koje odgovaraju simetričnoj distribuciji u odnosu na srednju vrijednost napona na svim superkondenzatorima. Pri tome je pretpostavljeno da početno na superkondenzatorima pod brojem „1“ i „2“, koji su početno paralelni, vlada napon $\bar{U} + \Delta U$, odnosno da su prepunjeni. Također, pretpostavljeno je da početno na superkondenzatorima pod brojem „3“ i „4“, koji su početno paralelni, vlada napon koji odgovara srednjoj vrijednosti napona (\bar{U}) svih superkondenzatora. Ujedno, pretpostavljeno je da početno na superkondenzatorima pod brojem „5“ i „6“, koji su početno paralelni, vlada napon ($\bar{U} - \Delta U$) koji je niži od srednje vrijednosti napona (\bar{U}) svih superkondenzatora.

Uvažavanjem prethodno navedenog, te dijagrama na slici 6.2c, matrica prijelaznih vjerojatnosti P Markovljevog lanca $\{U_{\text{SC}}\}$ dana je izrazom:

$$P = \begin{bmatrix} p_{11} & p_{12} & 0 & 0 & 0 & p_{16} \\ p_{21} & p_{22} & p_{23} & 0 & 0 & 0 \\ 0 & p_{32} & p_{33} & p_{34} & 0 & 0 \\ 0 & 0 & p_{43} & p_{44} & p_{45} & 0 \\ 0 & 0 & 0 & p_{54} & p_{55} & p_{56} \\ p_{61} & 0 & 0 & 0 & p_{65} & p_{66} \end{bmatrix}. \quad (6-6)$$

6.2 Numerički izračun

Prijelazne vjerojatnosti $P_{i,j}$ u matrici prijelaznih vjerojatnosti P mogu se odrediti rješavanjem matrične jednadžbe:

$$U_{\text{SC}}^{(1)} = P^1 \cdot U_{\text{SC}}^0. \quad (6-7)$$

Razdioba napona u prvom koraku ($k=1$) može se odrediti korištenjem izraza (5-39) i (5-40), a početna razdioba napona U_{SC}^0 dana je izrazom (6-5). Na primjer, elementi u vektoru U_{SC}^1 za različita sklopna vremena sažeta su u tablici 6.1.

Tablica 6.1. Vjerojatnosna razdioba napona na superkondenzatorima za $k=1$ *

$T_s \geq 5T_{\text{eq}}$	$T_s = T_{\text{eq}}$	$T_s = 0.1T_{\text{eq}}$
\bar{U}	$\bar{U} + 0.368\Delta U$	$\bar{U} + 0.905\Delta U$
$\bar{U} + 0.5\Delta U$	$\bar{U} + 0.684\Delta U$	$\bar{U} + 0.953\Delta U$
$\bar{U} + 0.5\Delta U$	$\bar{U} + 0.316\Delta U$	$\bar{U} + 0.0475\Delta U$
$\bar{U} - 0.5\Delta U$	$\bar{U} - 0.316\Delta U$	$\bar{U} - 0.0475\Delta U$
$\bar{U} - 0.5\Delta U$	$\bar{U} - 0.684\Delta U$	$\bar{U} - 0.953\Delta U$
\bar{U}	$\bar{U} - 0.368\Delta U$	$\bar{U} - 0.905\Delta U$

*Vrijeme između dva uzastopna koraka odgovara sklopnom vremenu

Rješavanjem jednadžbe $U_{\text{SC}}^{(1)} = P^1 \cdot U_{\text{SC}}^0$ i uzimanjem u obzir da u analiziranim slučaju nema fizikalnog razloga koji bi uzrokovao da su prijelazne vjerojatnosti između dvaju istovjetnih stanja različite, vrijedi $p_{12} = p_{16}$, $p_{21} = p_{23}$, $p_{32} = p_{34}$, $p_{43} = p_{45}$, $p_{54} = p_{56}$ i $p_{61} = p_{65}$, što daje matrice prijelaznih vjerojatnosti (P) za različita trajanja sklopnog vremena T_s kako je slijedi.

Za $T_s \geq 5 \cdot \tau$, matrica P za Markovljev lanac $\{U_{SC}\}$ glasi:

$$P = \begin{bmatrix} 0 & 0.5 & 0 & 0 & 0 & 0.5 \\ 0.5 & 0 & 0.5 & 0 & 0 & 0 \\ 0 & 0.5 & 0 & 0.5 & 0 & 0 \\ 0 & 0 & 0.5 & 0 & 0.5 & 0 \\ 0 & 0 & 0 & 0.5 & 0 & 0.5 \\ 0.5 & 0 & 0 & 0 & 0.5 & 0 \end{bmatrix} \quad (6-8)$$

Za $T_s = \tau$, matrica P za Markovljev lanac $\{U_{SC}\}$ glasi:

$$P = \begin{bmatrix} 0.368 & 0.316 & 0 & 0 & 0 & 0.316 \\ 0.316 & 0.368 & 0.316 & 0 & 0 & 0 \\ 0 & 0.316 & 0.368 & 0.316 & 0 & 0 \\ 0 & 0 & 0.316 & 0.368 & 0.316 & 0 \\ 0 & 0 & 0 & 0.316 & 0.368 & 0.316 \\ 0.316 & 0 & 0 & 0 & 0.316 & 0.368 \end{bmatrix}. \quad (6-9)$$

Za $T_s = 0.1 \cdot \tau$, matrica P za Markovljev lanac $\{U_{SC}\}$ glasi:

$$P = \begin{bmatrix} 0.905 & 0.0475 & 0 & 0 & 0 & 0.0475 \\ 0.0475 & 0.905 & 0.0475 & 0 & 0 & 0 \\ 0 & 0.0475 & 0.905 & 0.0475 & 0 & 0 \\ 0 & 0 & 0.0475 & 0.905 & 0.5 & 0 \\ 0 & 0 & 0 & 0.0475 & 0.905 & 0.0475 \\ 0.0475 & 0 & 0 & 0 & 0.0475 & 0.905 \end{bmatrix}. \quad (6-10)$$

Može se opaziti da dijagonalni elementi (označeni plavom bojom) odgovaraju članu $\exp(-T_s / T_{eq})$ u izrazima (5-39) i (5-40).

Također, ukoliko se uzme u obzir da uvijek vrijedi $p_{ij} = p_{ji}$ te da je zbroj svih elemenata u i-tom retku uvijek jednak jedan (izraz (6-3)), određivanje elemenata matrice P drastično se pojednostavljuje. U svrhu jezgrovitijeg zapisa i pogodnijeg predstavljanja rezultata, vektor $U_{sc}^{(k)}$ može se zapisati u obliku:

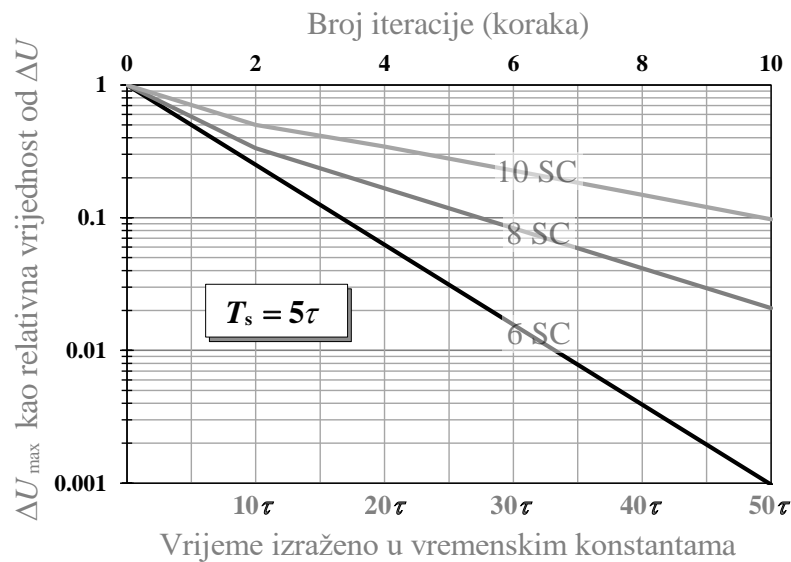
$$U_{sc}^{(k)} = \bar{U}_{sc} + \Delta U_{sc}^{(k)}, \quad (6-11)$$

gdje je \bar{U}_{sc} vektor u kojemu su svi elementi jednaki srednjoj vrijednosti svih superkondenzatora \bar{U} , a $\Delta U_{sc}^{(k)}$ je vektor koji sadrži samo devijacije napona u odnosu na srednju vrijednost napona.

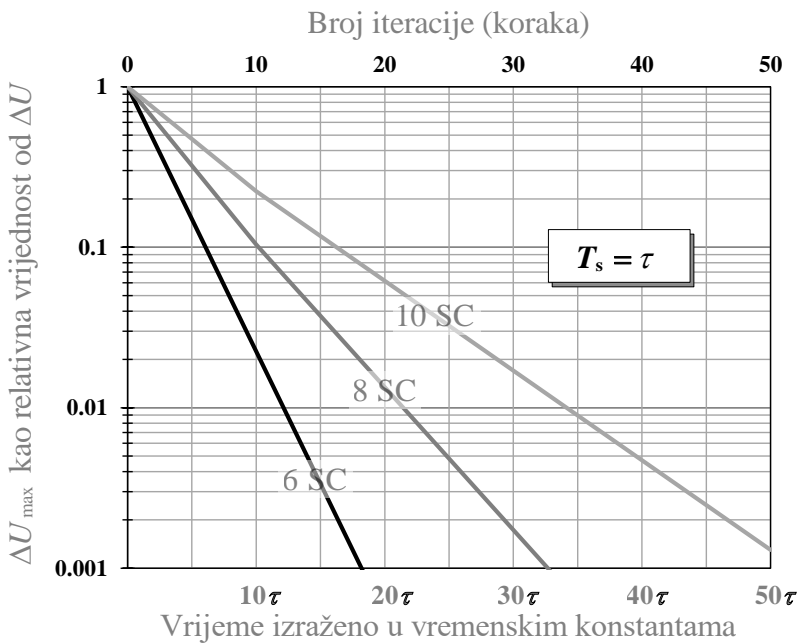
S obzirom da devijacija napona na superkondenzatorima predstavlja fizikalnu veličinu koja se mijenja iz koraka u korak (s rednim brojem sklopne radnje (k)), praćenje vektora $\Delta U_{sc}^{(k)}$ umjesto vektora $U_{sc}^{(k)}$ daje vrlo jasnu i sažetu informaciju o procesu ujednačavanja napona na superkondenzatorima.

Ukoliko se u svakom koraku uzme po apsolutnom iznosu najveći element iz vektora $\Delta U_{sc}^{(k)}$, tj. $\Delta U_{\max}^{(k)} = \text{MAX}(\Delta U_{sc}^{(k)})$, dobiva se informacija o maksimalnom iznosu naponske devijacije u k-toj iteraciji, odnosno rednom broju sklopne radnje.

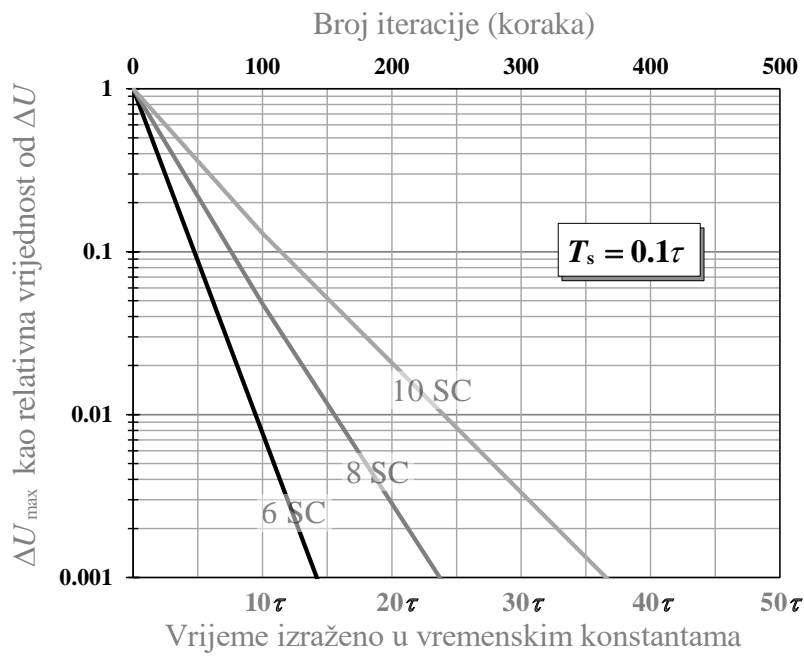
Za predstavljenu tehniku ujednačavanja napona, dinamika (tempo) kojom se napon ujednačuje između superkondenzatora za različite brojeve superkondenzatora može se vizualizirati pomoću grafa $\Delta U_{\max}^{(k)} / \Delta U_{\max}^{(0)}$ kao što je to prikazano na slikama od 6.3 do 6.6. Omjer $\Delta U_{\max}^{(k)} / \Delta U_{\max}^{(0)}$ ima značenje najveće (maksimalne) relativne devijacije napona u k-tom koraku u odnosu na najveću (maksimalnu) devijaciju napona koja je vladala u nultom koraku ($k = 0$).



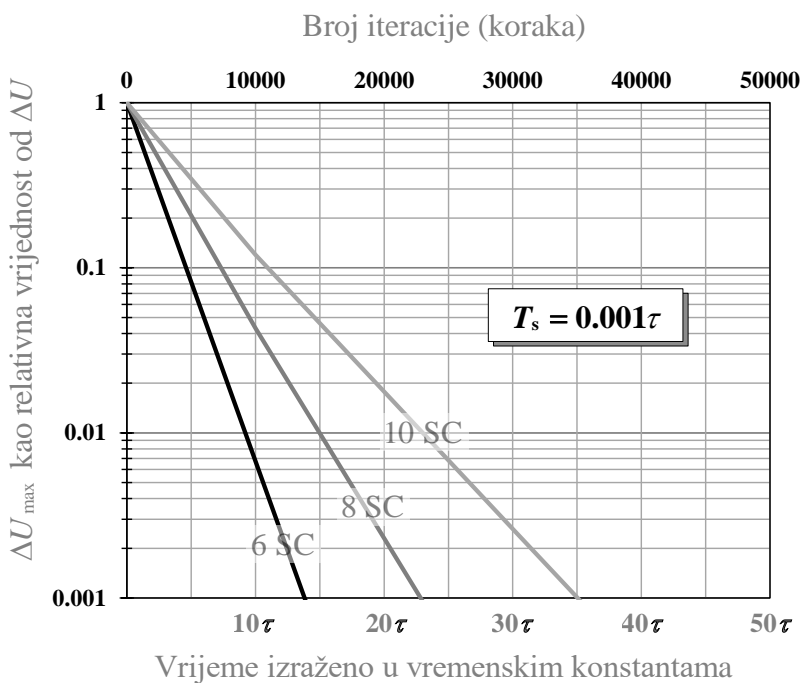
Slika 6.3. Apsolutni iznos maksimalne devijacije napona za sheme sa 6, 8 i 10 superkondenzatora. Grafički su prikazi za skloplno vrijeme $T_{\text{switch}} = 5 \cdot \tau$.



Slika 6.4. Apsolutni iznos maksimalne devijacije napona za sheme sa 6, 8 i 10 superkondenzatora. Grafički su prikazi za skloplno vrijeme $T_{\text{switch}} = \tau$.



Slika 6.5. Apsolutni iznos maksimalne devijacije napona za sheme sa 6, 8 i 10 superkondenzatora. Grafički su prikazi za sklopno vrijeme $T_{\text{switch}} = 0,1 \cdot \tau$.



Slika 6.6. Apsolutni iznos maksimalne devijacije napona za sheme sa 6, 8 i 10 superkondenzatora. Grafički su prikazi za sklopno vrijeme $T_{\text{switch}} = 0,001 \cdot \tau$.

6.3 Analiza rezultata

Ukoliko je sklopno vrijeme takvo da između dvaju sklopnih radnji u potpunosti završi prijelazna pojava ujednačavanja napona između dvaju superkondenzatora koji su se našli u paralelnom spoju, tj. za $T_{\text{switch}} = 5 \cdot \tau$ (slika 6.3), što odgovara frekvenciji sklopnih radnji $f_{\text{switch}} = 1/T_{\text{switch}} = 1/5 \cdot \tau$, proces ujednačavanja napona na superkondenzatorima bit će vrlo spor.

Zbog navedenog, pogodnije je odabrati veću frekvenciju sklopnih radnji. Smanjenje trajanja sklopog vremena, odnosno povećanje frekvencije sklopnih radnji rezultira bržim procesom ujednačavanja napona na superkondenzatorima (slike 6.4 - 6.6), odnosno proces ujednačivanja napona traje kraće. Ovaj se trend može opaziti sve do slučaja kada je sklopno vrijeme približno $T_{\text{switch}} \approx 0,001 \cdot \tau$. Ova vrijednost sklopog vremena može se smatrati graničnom vrijednosti nakon kojega je dobitak u performansama procesa ujednačavanja napona malen. Navedeno se može opaziti usporedbom slike 6.5 i slike 6.6. Na primjer, za 10 superkondenzatora, ukoliko se želi da najveća (maksimalna) relativna devijacija napona opadne na iznos od 0,001, prema slici 6.5, za $T_{\text{switch}} \approx 0,1 \cdot \tau$ treba proteći vrijeme od približno 36 vremenskih konstantnih, dok, prema slici 6.6, za $T_{\text{switch}} \approx 0,001 \cdot \tau$, treba proteći vrijeme od približno 35 vremenskih konstantnih. Odnosno, dobitak u smislu skraćenja trajanja ujednačavanja napona smanjio se za samo jednu vremensku konstantu, što odgovara postotnom skraćenju trajanja postupka ujednačivanja napona od približno 3 %.

Iako je analiza provedena samo za shemu sa 6, 8 i 10 superkondenzatora, utjecaj je broja superkondenzatora na dinamiku procesa ujednačavanja napona očigledan. Što je veći broj superkondenzatora, to je sporiji proces ujednačavanja napona (slike 6.3 - 6.6). Iz predstavljene teorije i rezultata simulacija mogu se donijeti sljedeći zaključci. Dinamika (tempo) ujednačavanja napona je inherentno određena vremenskom konstantom τ .

S obzirom na tu činjenicu, poboljšanje dinamike ujednačavanja napona može se postići smanjivanjem vremenske konstante. Vremenska konstanta ovisi o kapacitetu superkondenzatora, ekvivalentnom serijskom otporu superkondenzatora te otporu poluvodičkih MOSFET sklopki. S obzirom da su parametri superkondenzatora koji se ugrađuju u hibridni sustava baterije i superkondenzatora određeni uvjetima koji se odnose na dinamičko opterećenje hibridnog sustava baterije i superkondenzatora, smanjenje vremenske konstante može se postići izborom poluvodičkih sklopki sa što manjim otporom kanala MOSFET-a kada je on potpuno vodljiv ($R_{\text{DS(on)}}$).

Međutim, ukoliko bi se i postigao zanemariv otpor poluvodičkih MOSFET sklopki, odnosno kada bi se one mogle smatrati idealnim sklopkama, vremenska se konstanta ne može smanjiti ispod iznosa koja je određena izrazima od (5-19) do (5-21), a iznosi $\tau_0 = \bar{R}_0 \cdot \bar{C}$. S obzirom da je trajanje procesa ujednačavanja napona vezano s vremenskom konstantom, postojanje teorijski minimalne vremenske konstante ukazuje da proces ujednačavanja napona na superkondenzatora u tehnici zasnovanoj na preklapanju superkondenzatora ima inherentno ograničenje brzine kojom se ujednačavanje napona može odvijati.

Važno je istaknuti da u praksi nije potrebno postići potpunu ujednačenost napona na superkondenzatoru. Prema [16], uobičajeno, početno superkondenzatori obično imaju disbalans napona koji se kreće do 20 % u odnosu na srednju vrijednost napona na svim superkondenzatorima u serijskom spoju. Takva je vrijednost neprihvatljiva te ju je potrebno svesti na niži iznos koji osigurava da napon niti na jednom superkondenzatoru ne prelazi nazivni napon. Ujedno, s obzirom da je radni vijek superkondenzatora vezan uz radni napon, kako bi radni vijek superkondenzatora bio ujednačen, dovoljno je da neujednačenost napona ne prelazi 2-5 % radnog napona. Ukoliko se uzme da je u najnepovoljnijem slučaju objektivno očekivati da je početna neujednačenost napona u odnosu na srednju vrijednost napona na svim superkondenzatorima u serijskom spoju 20 %, da bi se postigla dugoročno prihvatljiva razina neujednačenosti napona koja ne prelazi 2 %, prema grafičkim prikazima na slikama od 6.3 do 6.6., to odgovara slučaju kada je $\Delta U_{\max}^{(k)} / \Delta U_{\max}^{(0)} = 0,1$. Prema slici 3.20, kada je $T_{\text{switch}} \approx 0,001 \cdot \tau$, za slučaj od 10 superkondenzatora, to se postiže kroz vrijeme koje približno odgovara jedanaest vremenskih konstanti ($\Delta t \approx 11 \cdot \tau$).

Razmatrajući tehno-ekonomski aspekte izjednačivača napona zasnovanog na preklapanju superkondenzatora, jednostavnost strujnog kruga, odsustvo strujnih krugova za nadzor napona, odsustvo složenih upravljačkih krugova, odsustvo magnetskih krugova, inherentnu otpornost izjednačivača napona na promjene parametara strujnog kruga, čini ovu vrstu izjednačivača napona optimalnim izborom u određenim primjenama. Primjerice, za aplikacije s malim brojem serijski spojenih superkondenzatora, kao što su primjene s radnim naponom od 12 V do 48 V.

U ovom radu novi pristup zasnovan na primjeni Markovljevih lanaca uveden je u analizi izjednačivača napona zasnovanom na preklapanju superkondenzatora. Prikazan pristup zasnovan na primjeni Markovljevih lanaca pokazao se pogodnim za analizu izjednačivača napona zasnovanom na preklapanju superkondenzatora i za određivanje njegovih važnih parametara.

U usporedbi s drugim popularnim pristupima kao što je Monte Carlo metoda, prikazani pristup zasnovan na primjerni Markovljevih lanaca,s obzirom na broj računskih operacija koje je potrebno obaviti, znatno je učinkovitiji. Predstavljeni pristup okarakteriziran je s izuzetno malim hardverskim zahtjevima (procesorska moć, njegov takt, broj procesora i memorija (RAM)) u odnosu na druge tehnike zasnovane na uzastopnim simulacijama. Izuzetno mali hardverski zahtjevi velikim su dijelom rezultat toga što nije potrebno numeričkim postupcima rješavati diferencijalne jednadžbe kojima su opisane prijelazne pojave ujednačivanja napona. Također, nije potrebno provoditi brojne uzastopne simulacije s varijacijom parametara kojima se simulira stohastičko vladanje sustava. Također, za predstavljanje procesa izjednačavanja napona kao Markovljev lanac nije potreban specifičan program; u tu se svrhu mogu koristiti, kao što je i ovom radu korišten, programi opće namjene za matematiku kao što su MathCad [90], Mathematica [91] ili Matlab [92].

Iako je predstavljen pristup opisa procesa izjednačavanja napona kao Markovljev lanac *po prvi puta* primijenjen u ovu svrhu na primjeru izjednačivača napona zasnovanom na preklapanju superkondenzatora, u ovom je radu jasno pokazano da on ima svoju inženjersku i znanstvenu primjenjivost.

7. LABORATORIJSKA MJERENJA

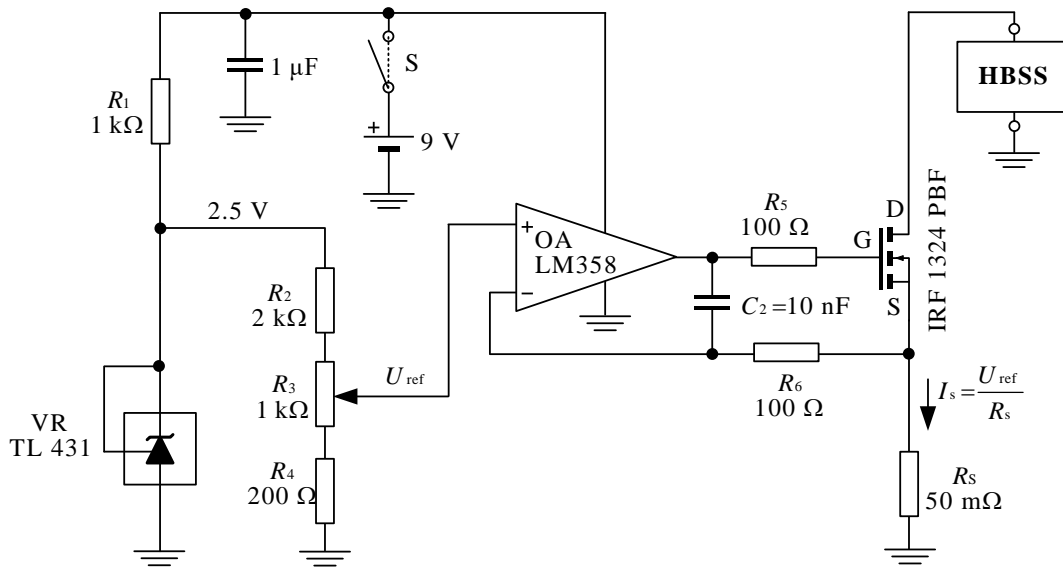
Unatoč tome što su teorijska izlaganja, prikazana u četvrtom i petom poglavlju, u skladu s teorijskim spoznajama predstavljenima u literaturi, poželjno je teorijske rezultate potkrijepiti vlastitim mjernim rezultatima. Provodenjem vlastitih mjerena dobiva se bolja predodžba o mjernoj pogrešci i čimbenicima koji imaju utjecaj na točnost mjerena, a oscilogrami valnih oblika napona i struja imaju bolju rezoluciju negoli isti preuzeti iz literature. Ovo je posebno važno ukoliko se pojave odstupanja teorijski predviđenih izgleda i trajanja valnih oblika u odnosu na valne oblike dobivene mjeranjem kako bi se mogla provesti adekvatna analiza i utvrđivanje uzroka odstupanja. Zbog navedenog, provedena su dva neovisna mjerena pri dinamičkom opterećenju:

- **Mjerenje valnog oblika napona na priključcima (terminalima) HBSS-a.**
- **Mjerenje valnih oblika struja baterije i superkondenzatora unutar HBSS-a.**

7.1 Namjenski izrađen strujni uvor

Unatoč tome što su danas laboratorijski izvori/uvori široko dostupna oprema, kada se nabavljaju potrebno je obratiti posebnu pažnju na neke od njihovih karakteristika koje su važne za mjerena vezana uz superkondenzatore. Na primjer, potrebno je obrati pažnju na najniži radni napon s kojim strujni uvor može raditi, a da pri tome ima sposobnost održavanja struje konstantnom. Naime, prema IEC 62391-1 normi, kada se određuju parametri superkondenzatora njegovim pražnjenjem konstantnom strujom, mjerena se provodi tako da se superkondenzator prazni na 40 % nazivnog napona. Za superkondenzatore koji imaju radni napon od 2,5 V, to odgovara naponu od 1,0 V. Također, pri određenim vrstama mjerena parametara superkondenzatora potrebno je prazniti superkondenzatore na napone niže od 1,0 V. Većina komercijalno dostupnih laboratorijskih uvora nisu predviđena za rad s niskim naponima (1 V i niže), odnosno nemaju sposobnost održavanja znatnog iznosa struje konstantnom pri niskim radnim naponima. S obzirom da literatura obiluje raznim shemama kvalitetnih strujnih uvora koje je lako prilagoditi specifičnim namjenama [93, 94], umjesto traženja odgovarajućeg komercijalnog strujnog uvora, druga je mogućnost dizajniranje vlastitog strujnog uvora.

Jedan takav primjer strujnog uvora osmišljenog na osnovi modifikacija shema iz literature i sastavljenog za potrebe mjerjenja u ovom radu prikazan je na slici 7.1.



Slika 7.1. Električna shema strujnog uvora konstantne struje sastavljena za potrebe mjerjenja u ovom radu

Rad strujnog uvora na slici 7.1 vrlo je jednostavan te se u kratkim crtama može opisati na sljedeći način. Cijeli strujni uvor napajan je baterijom od 9 V. Kako bi referentni napon koji se dovodi do operacijskog pojačala bio što stabilniji, koristi se naponska referenca TL431 [95]. Napajanje naponske reference TL431 odvija se preko otpornika R_1 . S obzirom da je priključak REF naponske reference priključen na njezinu katodu, naponska referenca TL431 nalazi se u spoju koji osigurava stabilan i konstantan napon iznosa 2,5 V između katode i anode naponske reference. Taj napon doveden je na naponsko djelilo kojega tvore otpornici R_2 i R_4 te potenciometar. Naponskim djelilom postiže se odgovarajući referentni napon U_{ref} koji se dovodi na neinvertirajući ulaz operacijskog pojačala (LM 358) [96].

Operacijsko pojačalo (LM 358) mijenja napon na svom izlazu tako da napon između njegovih ulaza (neinvertirajućeg i invertirajućeg ulaza) uvijek bude jednak nuli. Promjenom napona na izlazu operacijskog pojačala mijenja se napon između priključaka „gate“ i „source“ MOSFET-a (IRF 1324 [97]), odnosno napon U_{gs} . Na taj se način postiže da operacijsko pojačalo upravlja s MOSFET-om, odnosno stupnjem otvorenosti kanala MOSFET-a, a time i strujom koja teče između priključka „drain“ i „source“ MOSFET-a.

S obzirom da struja koja teče između priključka „drain“ i „source“ MOSFET-a na otporniku R_s (indeks s od engleske riječi „sense“) stvara pad napona koji se dovodi na invertirajući ulaz operacijskog pojačala, operacijsko će pojačalo mijenjati napon na svom izlazu na način da napon U_{ref} (naponu na neinvertirajućem uzlazu) bude jednak padu napona na otporniku R_s (naponu na invertirajućem ulazu). Prethodno navedeno može se zapisati izrazom:

$$I_s = \frac{U_{\text{ref}}}{R_s}. \quad (7-1)$$

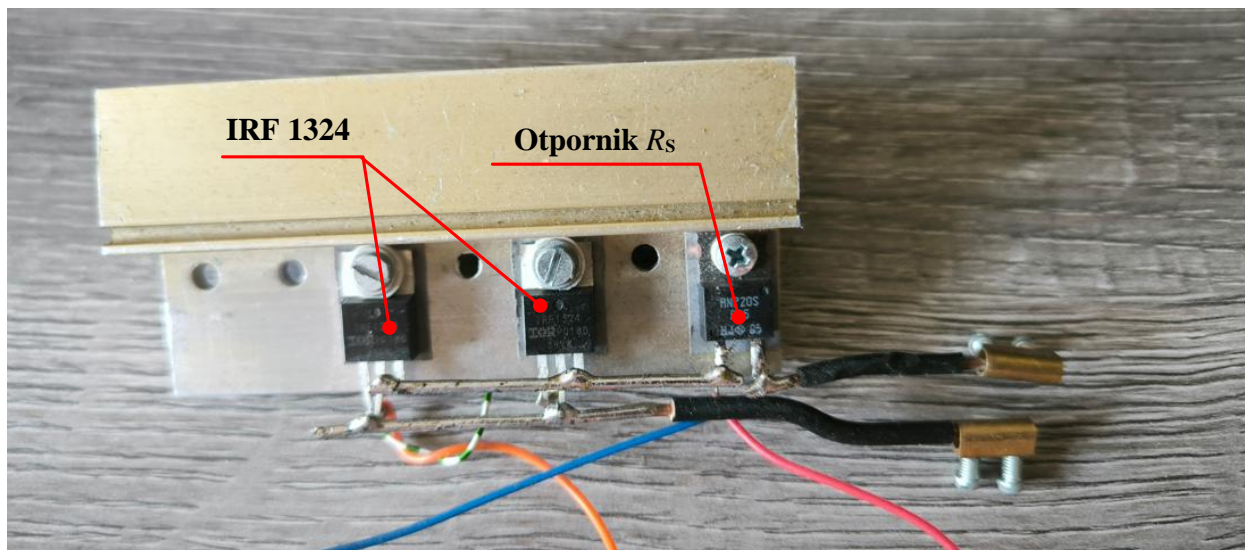
U shemi prikazanoj na slici 7.1 prisutne su i druge dodatne komponente koje imaju sekundarnu ulogu u radu strujnog uvora. Na primjer, otpornici R_5 , R_6 i kondenzator C_2 služe za osiguranje stabilnog rada cijelog strujnog kruga. Predstavljen strujni uvor ima sposobnost raditi sa strujama do 20 A, stoga je potrebno posebnu pažnju posvetiti adekvatnom hlađenju komponenti kroz koje protjeće ta struja, odnosno hlađenju MOSFET-a i otpornika R_s . Toplina koja se oslobođi na otporniku R_s dana je izrazom:

$$P_s = I_s^2 \cdot R_s. \quad (7-2)$$

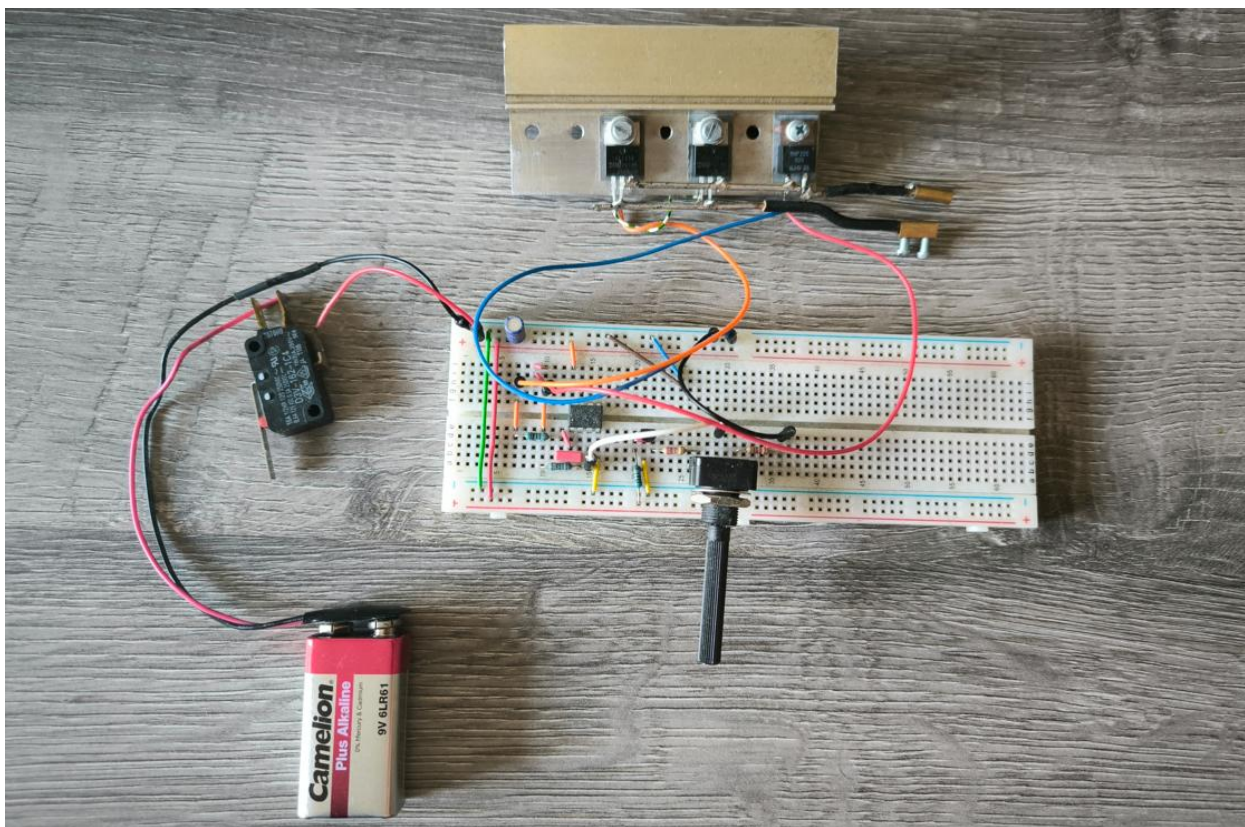
Uvrštavanjem brojčanih vrijednosti ($R_s = 50 \text{ m}\Omega$, $I_s = 20 \text{ A}$) u prethodni izraz daje:

$$P_s = 20^2 \cdot 0.05 = 20 \text{ W}. \quad (7-3)$$

Stoga pri izboru otpornika R_s treba birati otpornik predviđen za snagu veću 20 W [98]. Zbog toga je odabran otpornik u kućištu TO220 koje je predviđeno za montažu na aluminijski hladnjak [98]. Također, odabrani su i MOSFET-i (dva komada) u kućištu TO220 koja su montirana na isti hladnjak. Općenito, s obzirom da su poluvodiči osjetljiviji na toplinski stres i nadtemperaturu, kako bi se smanjio toplinski stres MOSFET-a, umjesto jednog, korištena su dva MOSFET-a u paralelnom spoju. MOSFET-i su spojeni bakrenom žicom poprečnog presjeka $2,5 \text{ mm}^2$, koja ih spaja s otpornikom R_s (slika 7.2). Fotografija na električni dio i rashladni dio strujnog uvora prikazana je na slici 7.3.

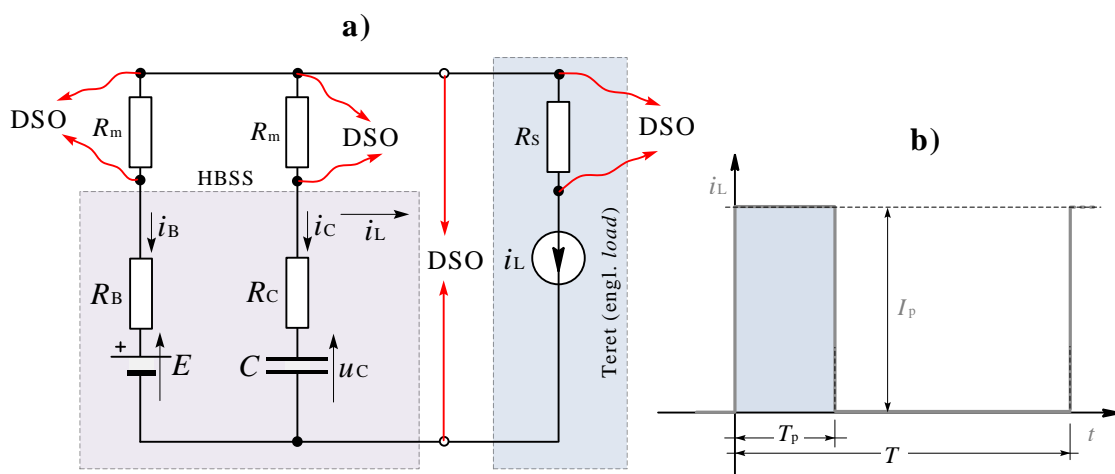


Slika 7.2. Fotografija na otpornik i MOSFET-e montirane na aluminijski hladnjak



Slika 7.3. Fotografija na elektronički dio i rashladni dio strujnog uvora

Na slici 7.4 prikazan je model pasivnog HBSS-a s mjernim otpornicima i označenim mjernim mjestima s kojih se napon preko mjernih sondi dovodi k digitalnom osciloskopu (engl. *digital storage oscilloscope* (DSO)). Mjerni otpornici označeni su s R_m , a otpornik s kojeg operacijsko pojačalo uzima pad napona prema invertirajućem ulazu (slika 7.1) označen je s R_s (engl. *sense*). Struji uvor prikazan shemom na slici 7.1 ima sposobnost generiranja pravokutnog strujnog pulsa konstantne amplitude I_p i trajanja T_p kojemu je valni oblik prikazan na slici 7.4b. Mjerni otpornici R_m imaju otpor od 5 mOhma, a otpornik R_s ima otpor od 50 mOhma.



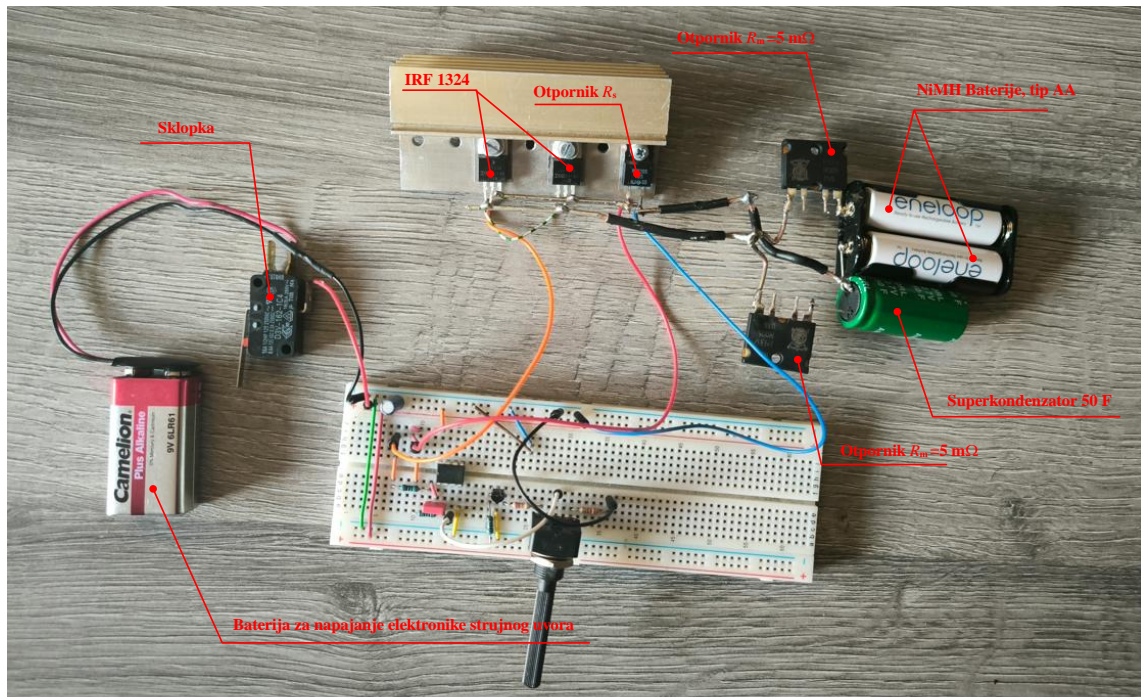
Slika 7.4 a) Model pasivnog hibridnog sustava baterije i superkondenzatora s mjernim otpornicima i označenim mjernim mjestima, b) valni oblik struje tereta

Valni oblici napona i struja snimani su digitalnim osciloskopom marke RIGOL MSO5074 [99]. Pasivni HBSS sastoji se od dviju NiMH baterija, tip AA (marka Eneloop) [100] i jednog superkondenzatora kapaciteta 50 F, (marka SAMXON) [101]. Pravokutni strujni impuls generiran je opisanim strujnim uvorom vlastitog dizajna za potrebe opisanih mjerjenja. Osnovni tehnički podaci o korištenim baterijama i superkondenzatoru dani su u tablici 7.1 [100, 101].

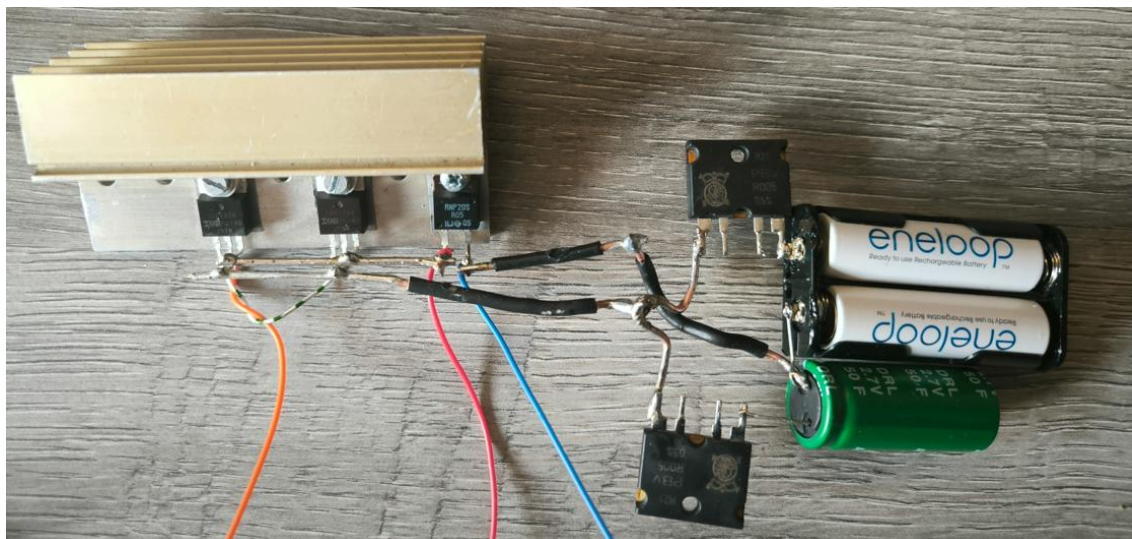
Tablica 7.1 Osnovni tehnički podaci o bateriji i superkondenzatoru

	Vrsta/naziv	Kapacitet	Nazivni napon	Unutarnji otpor
Baterija	AA (Eneloop)	2000 mAh	1,2 V	$\approx 25 \text{ m}\Omega$
Superkondenzator	DRL107S0TL60RR	50 F	2,7 V	40 mΩ (max)

Fotografija strujnog uvora, pasivnog HBSS-a s montiranim mjernim otpornicima prikazana je na slici 7.5, a detaljniji prikaz na HBSS i mjerne otpornike R_m dan je slikom 7.6.



Slika 7.5. Strujni uvor, pasivni hibridni sustav baterije i superkondenzatora i mjerni otpornici



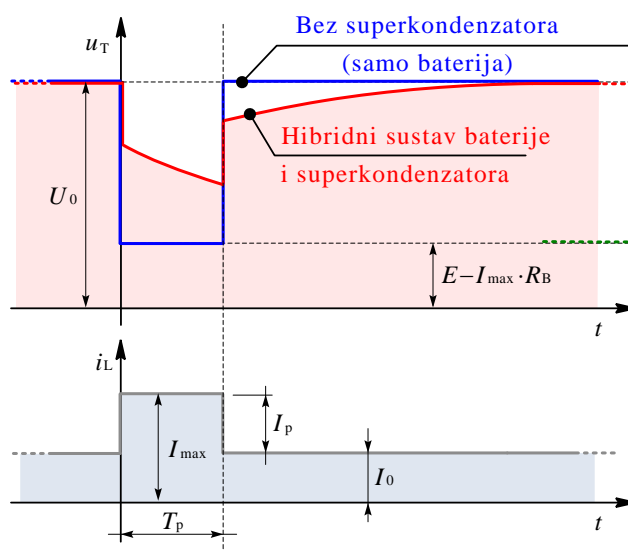
Slika 7.6. Detaljniji prikaz na HBSS i mjerne otpornike

7.2 Mjerenje valnog oblika napona na priključcima (terminalima) HBSS-a

U prvom mjerenu snimljen je valni oblik napona na priključcima (terminalima) pasivnog HBSS-a pri pravokutnom strujnom pulsu vršne vrijednosti 20 A (slika 7.7). Valni oblik napona u skladu je s teorijskim predviđanjima iznesenima u drugom poglavlju (slika 2.2) koja je ponovljena u ovom poglavlju zbog lakše usporedbe (slika 7.8).



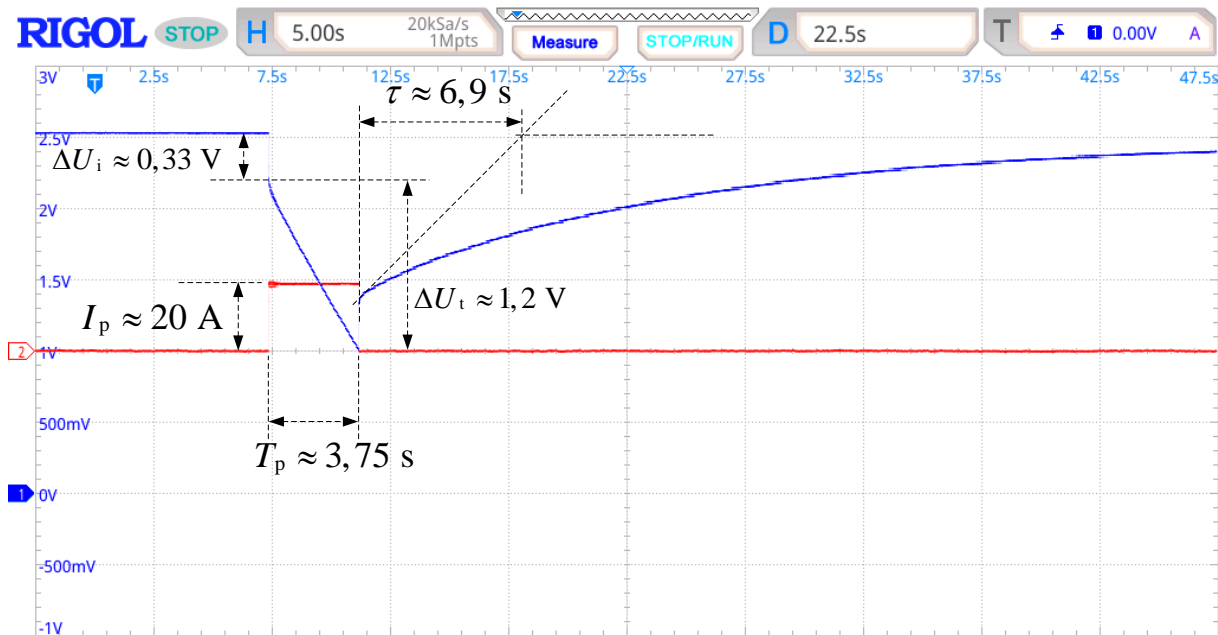
Slika 7.7. Valni oblik napona na priključcima (terminalima) pasivnog HBSS-a prikazan je plavom bojom, a valni oblik struje tereta izmјeren na otporniku R_s prikazan je crvenom bojom. Vršna vrijednost struje pulsa iznosi $I_p = 20 \text{ A}$



Slika 7.8. Valni oblik struje tereta i napon na terminalima baterije s i bez superkondenzatora

U svrhu analize karakterističnih veličina valnog oblika napona, ponovljeno je prethodno mjerjenje, ali s uvećanim detaljima na valni oblik napona i struje te su na slici označene i brojčane vrijednosti karakterističnih veličina obaju valnih oblika (slika 7.9).

MSO5074 Sat September 21 07:09:45 2024



Slika 7.9. Valni oblik napona na priključcima (terminalima) pasivnog hibridnog sustava baterije i superkondenzatora prikazan je plavom bojom, a valni oblik struje tereta izmјeren na otporniku R_s prikazan je crvenom bojom. Na slici su označene i brojčane vrijednosti karakterističnih veličina valnih oblika

U narednom tekstu, na osnovi tehničkih podataka od proizvođača komponenti korištenih u mjerjenju, određeni su iznosi parametara i veličina na osnovi teorijskih izraza iz trećeg poglavlja ovog rada. Zatim su tako dobivene računske vrijednosti uspoređene s vrijednostima dobivenima mjerjenjem. Nastale razlike između teorijskih vrijednosti i mjernih vrijednosti analizirane su i komentirane.

Parametar (koeficijent) K , određuje se prema izrazu:

$$K = \frac{R_B}{R_B + R_C} \quad (7-4)$$

Prethodni izraz odnosi se na slučaj kada u strujni krug nisu umetnuti mjerni otpornici. Kada je to slučaj, uz uvažavanje da su dvije baterije s približno identičnim parametrima spojene u seriju, tada se parametar K računa prema izrazu:

$$K = \frac{(2 \cdot R_B + R_m)}{(2 \cdot R_B + R_m) + (R_C + R_m)}. \quad (7-5)$$

Uvrštavanje brojčanih vrijednosti (tablica 7.1) u prethodni izraz daje:

$$\begin{aligned} K &= \frac{(2 \cdot R_B + R_m)}{(2 \cdot R_B + R_m) + (R_C + R_m)} = \frac{(2 \cdot 25 \cdot 10^{-3} + 5 \cdot 10^{-3})}{(2 \cdot 25 \cdot 10^{-3} + 5 \cdot 10^{-3}) + (40 \cdot 10^{-3} + 5 \cdot 10^{-3})} = \\ &= \frac{(2 \cdot 25 + 5)}{(2 \cdot 25 + 5) + (40 + 5)} = \frac{55}{55 + 45} = \frac{55}{100} = 0,55 \end{aligned} \quad (7-6)$$

Vremenska konstanta određuje se prema izrazu:

$$\tau = (R_B + R_C) \cdot C. \quad (7-7)$$

Prethodni izraz odnosi se na slučaj kada u strujni krug nisu umetnuti mjerni otpornici. Kada je to slučaj, tada se vremenska konstanta τ računa prema izrazu:

$$\tau = [(2 \cdot R_B + R_m) + (R_C + R_m)] \cdot C \quad (7-8)$$

Uvrštavanje brojčanih vrijednosti u prethodni izraz daje:

$$\begin{aligned} \tau &= [(2 \cdot R_B + R_m) + (R_C + R_m)] \cdot C = \\ &= [(2 \cdot 25 \cdot 10^{-3} + 5 \cdot 10^{-3}) + (40 \cdot 10^{-3} + 5 \cdot 10^{-3})] \cdot 50 = \\ &= (55 + 45) \cdot 50 \cdot 10^{-3} = 100 \cdot 50 \cdot 10^{-3} = 5 \text{ s} \end{aligned} \quad (7-9)$$

Izmjerena je vrijednost vremenske konstante (slika 7.9) $\tau = 6,9 \text{ s}$.

Inicijalni (skokoviti) pad napona koji nastupa u trenutku pojave strujnog pulsa određuje se izrazom:

$$\Delta U_i = \Delta U_p \cdot (1 - K). \quad (7-10)$$

Gdje je ΔU_p određen izrazom:

$$\Delta U_p = I_p \cdot R_B. \quad (7-11)$$

Kada su prisutni mjerni otpornici, potrebno ih je uvažiti te, uz uvažavanje da su dvije baterije s približno identičnim parametrima spojene u seriju, izraz za ΔU_p glasi:

$$\Delta U_p = I_p \cdot (2 \cdot R_B + R_m). \quad (7-12)$$

Uvrštavanje brojčanih vrijednosti u prethodni izraz daje:

$$\begin{aligned}\Delta U_p &= I_p \cdot (2 \cdot R_B + R_m) = \\ &= 20 \cdot (2 \cdot 25 \cdot 10^{-3} + 5 \cdot 10^{-3}) = \\ &= 20 \cdot 55 \cdot 10^{-3} = 1100 \cdot 10^{-3} = 1,1 \text{ V}\end{aligned}\quad (7-13)$$

Uvrštavanje prethodno dobivene numeričke vrijednosti u izraz za inicijalni pad napona daje:

$$\Delta U_i = 1,1 \cdot (1 - 0,55) = 1,1 \cdot 0,45 = 0,495 \approx 0,5 \text{ V}. \quad (7-14)$$

Izmjerena vrijednost inicijalnog pada napona (slika 7.9) iznosi $\Delta U_i = 0,33 \text{ V}$.

Nakon inicijalnog pada napona ΔU_i , nastupa dodatni pad napona ΔU_t tijekom trajanja strujnog pulsa koji se određuje izrazom:

$$\Delta U_t = \Delta U_p \cdot \left(1 - K \cdot e^{-\frac{T_p}{\tau}} \right). \quad (7-15)$$

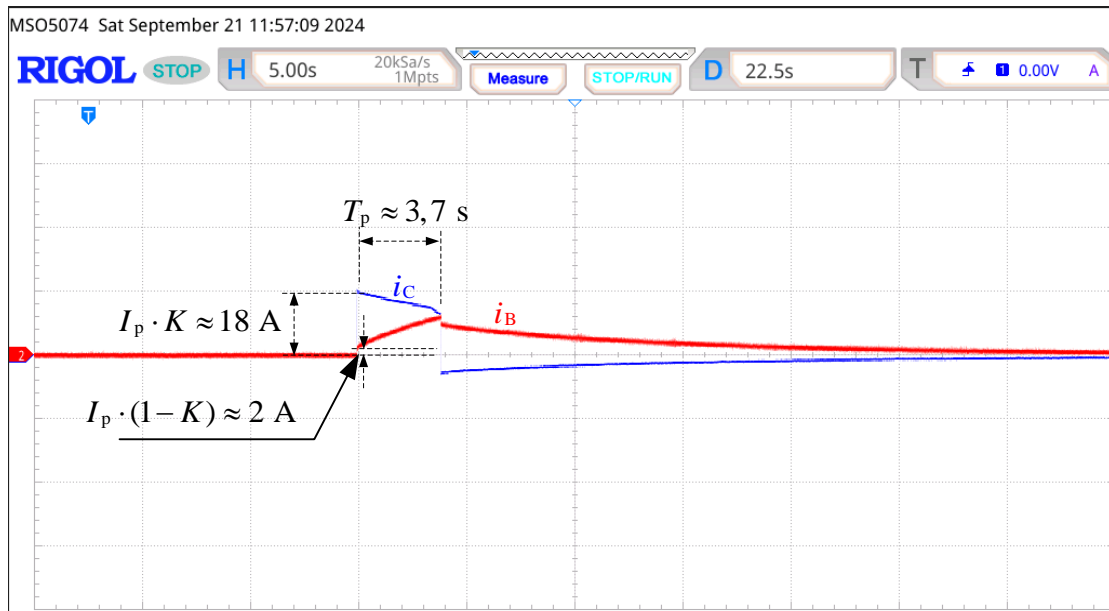
Uvrštavanje brojčanih vrijednosti u prethodni izraz daje:

$$\Delta U_t = \Delta U_p \cdot \left(1 - K \cdot e^{-\frac{T_p}{\tau}} \right) = 1,1 \cdot \left(1 - 0,55 \cdot e^{-\frac{3,7}{5}} \right) = 0,81 \text{ V}. \quad (7-16)$$

Izmjerena vrijednost na slici 7.9 iznosi $\Delta U_t = 1,2 \text{ V}$.

7.3 Mjerenje valnih oblika struja baterije i superkondenzatora unutar HBSS-a

Mjerenje valnih oblika struja baterije i superkondenzatora određena su indirektno mjerenjem pada napona na mjernim otpornicima R_m uslijed struja koje teku njima. Mjerenje struja baterija i superkondenzatora zahtjevnije je od prethodnog mjerenja napona na priključcima zbog manjeg iznosa mjernog napona na mjernim otpornicima, što pridonosi povećanoj razini šuma u mjernom rezultatu. Zbog navedenog, nije bilo moguće dodatno povećati prikaz valnih oblika struje na osciloskopu od preslike zaslona osciloskopa prikazane na slici 7.10. Na slici 7.10 prikazani su valni oblici struja baterije i superkondenzatora izmjerениh na mjernim otpornicima ($R_m = 5 \text{ m}\Omega$) postavljenima u seriju s parom baterija i u seriju sa superkondenzatorom.



Slika 7.10. Valni oblici struja baterije i superkondenzatora izmjereni na mjernim otpornicima ($R_m = 5 \text{ m}\Omega$) postavljenima u seriju s parom baterija i u seriju sa superkondenzatorom.

Vršna vrijednost struje pulsa iznosi $I_p = 20 \text{ A}$

Kako je $I_p \approx 20 \text{ A}$, prema mjernim rezultatima prikazanima na slici 7.10, za parametar K dobiva se $K \approx 18/20 = 0,9$. Računski izračunata vrijednost parametra K , na osnovi tehničkih podataka superkondenzatora i baterija, uz uvažene dodatne otpore, iznosila bi $K \approx 0,55$. Značajna razlika između izmjerene i računski izračunate vrijednosti bit će pojašnjena u narednom podpoglavlju.

7.4 Diskusija i analiza rezultata

Mjerenja su potvrdila teorijska predviđanja o izgledu valnih oblika napona na priključcima (terminalima) pasivnog hibridnog sustava baterije i superkondenzatora. Također, potvrđena su teorijska predviđanja izgleda valnih oblika struja baterije i superkondenzatora. Mjerni se rezultati iznosom razlikuju od teorijski predviđenih rezultata za što postoji nekoliko razloga koji imaju kumulativni učinak na nastalu razliku. Teorijski su rezultati dobiveni na osnovi tehničkih podataka proizvođača baterija, superkondenzatora te mjernih otpornika. Prema tehničkim podacima proizvođača o superkondenzatoru, njegovi parametri dolaze s tolerancijom od $\pm 20\%$. Tako visoka tolerancija tipična je i za druge proizvođače superkondenzatora [102-105]. Mjerni otpornici imaju toleranciju od $\pm 10\%$, a podaci za bateriju unutar su $\pm 10\%$. Ujedno, na razini teorijskog modela, nije uvažen otpor R_s koji ima utjecaj na vremensku konstantu kao niti otpor ožičenja. Također, struje su mjerene indirektno, odnosno mjeranjem pada napona na mjernim otpornicima (tolerancije $\pm 10\%$) koji su maloga iznosa otpora pa je i pad napona nizak, što rezultira s relativno viskom razinom šuma u mjernom rezultatu. Sve navedeno uzrok je nastaloj razlici između teorijski predviđenih iznosa i izmjerениh vrijednosti. Uvažavanje svih zanemarenja približilo bi teorijske rezultate praktičnim. Međutim, i uz trenutne razlike između teorijski dobivenih vrijednosti i izmjerenih vrijednosti, model i iz njega izvedeni analitički izrazi na zadovoljavajući način kvalitativno opisuju strujno-naponske prilike i ponašanje pasivnog hibridnog sustava baterije i superkondenzatora u uvjetima dinamičkog opterećenja.

ZAKLJUČAK

Napredak na području električnih pogona vozila velikim se dijelom može pripisati napretku baterija. U primjenama kod kojih je opterećenje izrazito dinamičko, karakteristike je baterije potrebno optimizirati tako da imaju sposobnost isporučivanja i prihvata električne snage (rekuperacija) koje diktira dinamičko opterećenje. Rezultat je optimiranja baterije smanjena gravimetrijska gustoća energije baterije, što se negativno odražava na autonomiju vozila, odnosno kraće vrijeme rada u slučaju drugih primjena kao što su neprekidna napajanja te razni alatni strojevi. Takav nepovoljan ishod nužnih kompromisa u procesu optimiranja parametara baterije može se izbjegći upotrebom hibridnih sustava baterije i superkondenzatora umjesto napajanja samo s baterijama. U aplikacijama kod kojih je opterećenje izrazito dinamičko, hibridni sustavi baterije i superkondenzatora imaju brojne prednosti u odnosu na napajanje realizirano samo s baterijama. U ovom su radu detaljno opisane pogodnosti koje proistječu upotrebom hibridnih sustava baterije i superkondenzatora u odnosu na napajanja realizirana samo s baterijama. Naglasak rada stavljen je na opis pasivnog hibridnog sustava baterije i superkondenzatora, koji unatoč svojoj jednostavnosti, pruža brojne prednosti u odnosu na samostalne baterije. Također, prezentirane su i druge topologije hibridnih sustava baterija i superkondenzatora kojima su nadvladana inherentna ograničenja pasivnog hibridnog sustava.

Napon superkondenzatora tipično se nalazi u rasponu od 2,5 V do 3,0 V. U aplikacijama koje zahtijevaju veliku električnu snagu koristi se radni napon koji je nekoliko redova veličine veći od nazivnog napona superkondenzatora. Zbog navedenog, u takvim je aplikacijama potrebno serijski spajati superkondenzatore (ćelije) kako bi se postigao odgovarajući radni napon. Radi rasipanja parametara superkondenzatora oko nazivne vrijednosti (tolerancija) duž serijskog spoja superkondenzatora, uspostavila bi se nejednolika razdioba napona koja može uzrokovati smanjenu pouzdanost cijelog serijskog spoja superkondenzatora, njegovo prijevremeno starenje ili, u najnepovoljnijem slučaju, trajni kvar. Radi navedenog, pri upotrebi serijskih spojeva superkondenzatora obavezna je primjena ujednačivača napona. Zbog važnosti ujednačivača napona na superkondenzatorima, u radu su ukratko opisani ujednačivači napona na superkondenzatorima, a posebna je pažnja posvećena ujednačivaču napona zasnovanom na preklapanju superkondenzatora. Pregledom literature, istraživanje u ovom doktorskom radu usmjerilo se na dva znanstvena doprinosa.

Prvi znanstveni doprinos, definiranje pomoćnog parametara pasivnog hibridnog sustava baterije i superkondenzatora koji uspostavlja funkcionalni odnos između unutarnjih otpora sustava i strujno-naponskih prilika i gubitaka u svrhu jednostavnije analize tijekom dinamičkog opterećenja sustava ostvaren je u trećem i četvrtom poglavlju. Na osnovi Kirchhoffovog mrežnog modela baterije, superkondenzatora i tereta predstavljenog strujnim uvorom, izvedeni su analitički izrazi kojima je opisano vladanje pasivnog hibridnog sustava baterije i superkondenzatora tijekom ustaljenog stanja i prijelazne pojave. **Zahvaljujući uvedenim parametrima (k i K), olakšano je i dimenzioniranje komponenti pasivnog hibridnog sustava baterije i superkondenzatora za željeno vladanje HBSS-a u uvjetima dinamičkog opterećenja.**

Također, analizirana je energetska učinkovitost pasivnog hibridnog sustava baterije i superkondenzatora pri različitim parametrima pasivnog hibridnog sustava baterije i superkondenzatora i dinamičkog opterećenja u odnosu na napajanje realizirano samo s baterijom. U tu svrhu uведен je **novi skup jednadžbi** za analizu energetske učinkovitosti pasivnog hibridnog sustava baterije i superkondenzatora. Predloženi pristup omogućava bolje fizikalno razumijevanje utjecaja parametara baterije i superkondenzatora na poboljšanje energetske učinkovitosti u odnosu na napajanje samo s baterijom. Također, novouvedeni skup jednadžbi pogodan je za brzo određivanje ponašanja i energetske učinkovitosti hibridnog sustava baterije i superkondenzatora pri dinamičkim opterećenjima. **Navedeno pridonosi napretku na polju dimenzioniranja komponenti hibridnog sustava baterije i superkondenzatora i optimizaciji.** Provedena analiza energetske učinkovitosti pasivnog hibridnog sustava baterije i superkondenzatora rezultirala je **pronalaskom optimalnog intervala parametara baterije i superkondenzatora pogodnih za dizajniranje pasivnog hibridnog sustava baterije i superkondenzatora iz tehno-ekonomskog aspekta.**

Valjanost izvedenih analitičkih izraza predstavljenih u trećem poglavlju potvrđena je mjernim rezultatima prikazanima u sedmom poglavlju, gdje su na praktičnom primjeru jednostavnog pasivnog hibridnog sustava baterije i superkondenzatora koji se sastoji od dviju u seriju spojenih NiMH baterija i jednog superkondenzatora provedena mjerena napon na priključcima HBSS-a te struja baterije i superkondenzatora.

Drugi znanstveni doprinos, predstavljanje postupka ujednačavanja napona preklapanjem superkondenzatora kao Markovljev lanac u svrhu analize utjecaja parametara Kirchhoffovog modela sustava i frekvencije preklapanja na ujednačenost napona duž serijskog spoja superkondenzatora ostvaren je u šestom poglavlju. Predstavljanjem napona na superkondenzatorima, u ujednačivaču napona zasnovanom na preklapanju superkondenzatora kao slučajne varijable, omogućeno je predstavljanje procesa ujednačivanja napona kao Markovljevog lanaca. *Predstavljen pristup zasnovan na primjeni Markovljevih lanaca pokazao se pogodnim za analizu rada ujednačivača napona zasnovanom na preklapanju superkondenzatora i za određivanje njegovih važnih parametara.*

SAŽETAK

U doktorskom radu detaljno je predstavljen pasivni hibridni sustav baterije i superkondenzatora (HBSS). Pasivni hibridni sustav baterije i superkondenzatora predstavljen je Kirchhoffovim mrežnim modelom prvoga reda. Opterećenje je modelirano kao strujni uvor. Valni oblik struje opterećenja predstavljen je kao niz pravokutnih impulsa sa superponiranom konstantnom strujom. Na osnovi predstavljenog modela izvedeni su analitički izrazi koji točno opisuju ponašanje HBSS-a tijekom prijelazne pojave i ustaljenog stanja. Definiran je pomoći parametar pasivnog hibridnog sustava baterije i superkondenzatora koji uspostavlja funkcijski odnos između unutarnjih otpora sustava i strujno-naponskih prilika i gubitaka u svrhu jednostavnije analize tijekom dinamičkog opterećenja sustava. Također, uveden je novi skup analitičkih izraza za analizu energetske učinkovitosti pasivnog HBSS-a u odnosu na sustave napajanja realizirane samo s baterijama. Pomoći uvedenih izraza, analizirana je energetska učinkovitost pasivnog HBSS-a za različite parametre dinamičkog opterećenja. Analiza je pokazala da kada je dinamička komponenta struje opterećenja vrlo mali dio ukupne struje opterećenja ili, u slučaju sporo promjenjivih struja opterećenja, pasivni HBSS, u odnosu na napajanje samo s baterijom, nema prednosti u smislu energetske učinkovitosti. Analiza je rezultirala pronalaskom intervala parametara baterije i superkondenzatora koji je optimalan za dimenzioniranje pasivnog HBSS-a s tehnološkim aspektima.

U doktorskom radu, postupak ujednačavanja napona zasnovan na preklapanju superkondenzatora predstavljen je po prvi put kao Markovljev lanac u svrhu analize utjecaja parametara Kirchhoffovog modela sustava i frekvencije preklapanja na stupanj ujednačenosti napona duž serijskog spoja superkondenzatora. Prikazani pristup zasnovan na primjeni Markovljevih lanaca pokazao se pogodnim za analizu rada izjednačivača napona zasnovanom na preklapanju superkondenzatora i za određivanje njegovih važnih parametara.

Ključne riječi: analitički, baterija, dinamički, energetska učinkovitost, hibridni sustavi baterija i superkondenzatora, Markovljevi lanci, preklapanje superkondenzatora, superkondenzator, ujednačavanje napona

ABSTRACT

In the doctoral thesis, a passive hybrid battery and supercapacitor system (HBSS) is elaborated on. The passive hybrid system of the battery and supercapacitor is represented by the Kirchhoff circuit model of the first order. The load is modelled as a current sink. The waveform of the load current is represented as a series of rectangular pulses with a superimposed constant current. Based on the presented model, analytical expressions that accurately describe the HBSS behaviour during the transient and steady state were derived. An auxiliary parameter of the passive hybrid system of the battery and supercapacitor is defined, which establishes a functional relationship between the internal resistances of the system and the current-voltage conditions and losses for the purpose of the simpler analysis during the dynamic loading of the system. Also, a novel set of analytical expressions is introduced for the analysis of energy efficiency of the passive HBSS in relation to the stand-alone battery systems (SABS). Using the proposed expressions, energy efficiency of the passive HBSS was analysed for different dynamic load parameters. The analysis showed that in cases where the dynamic component of the load current is a very small part of the total load current, or slowly varying load currents, the passive HBSS, in relation to the SABS, has no advantages in terms of energy efficiency. The analysis resulted in an interval of the battery and supercapacitor parameters which is optimal for the sizing of the passive HBSS from a techno-economic aspect.

In the doctoral thesis, the voltage equalisation procedure based on supercapacitor switching was presented for the first time as a Markov chain. This was done in order to analyse the influence of Kirchhoff circuit model parameters and switching frequency on the degree of voltage uniformity along the series connection of the supercapacitor. The presented approach based on the application of Markov chains proved to be suitable for analysing the operation of the voltage equaliser based on supercapacitor switching and for determining its important parameters.

Keywords: analytical, battery, dynamic, energy efficiency, hybrid battery supercapacitor systems, Markov chain, supercapacitor, supercapacitor switching, voltage equalisation

ŽIVOTOPIS

Dalibor Buljić rođen je 21. ožujka 1975. godine u Osijeku. Osnovnu školu završio je u Čepinu. Nakon završene osnovne škole upisuje srednju strojarsku školu (EMŠC) u Osijeku koju završava i stječe zvanje strojarski tehničar. Potom upisuje stručni studij na Elektrotehničkom fakultetu Osijek te ga završava 1998. godine. Od 2002. godine zaposlen je kao viši laborant na Zavodu za elektrostrojarstvo pri Elektrotehničkom fakultetu u Osijeku. Upisuje se na sveučilišni dodiplomski studij kao izvanredni student te ga završava 2007. godine. Krajem iste godine, prelazi na drugo stručno radno mjesto u stručno zvanje stručnog suradnika na Katedri za električne strojeve i energetsku elektroniku pri Zavodu za elektrostrojarstvo.

Godine 2013. zapošljava se na Elektrotehničkom fakultetu Osijek kao laborant te iste godine prelazi na mjesto stručnog suradnika. Trenutno je zaposlen kao viši stručni suradnik u Laboratoriju za elektromagnetsku kompatibilnost na Zavodu za elektroenergetiku Fakulteta elektrotehnike računarstva i informacijski tehnologija Osijek. Znanstveno-istraživačka područja njegova interesa su spremišta električne energije i baterije.

Objavio je ukupno sedam znanstvenih članaka od kojih su dva objavljena u znanstvenim časopisima, tri su indeksirana u WoSCC, a tri su objavljena na međunarodnim znanstvenim skupovima. Sudjeluje na više tuzemnih projekata i održava nastavu iz pet kolegija na stručnom, prijediplomskim i diplomskim studijskim programima iz područja osnova elektrotehnike, materijala u elektrotehnici, mjerjenja u elektrotehnici, recikliranja elektrotehničkih proizvoda i stručne prakse iz područja elektrotehnike i računarstva.

U Osijeku 30. rujna 2024.

Dalibor Buljić

LITERATURA

- [1] Reiner Korthauer, Lithium-Ion Batteries: Basics and Applications, Springer; 1st ed; 2018, ISBN-13: 978-3662530696
- [2] The Nobel Prize in Chemistry 2019, available at: <https://www.nobelprize.org/prizes> (accessed 08.09.2024)
- [3] G. L. Plett, Battery Management Systems, Volume II: Equivalent-Circuit Methods, Artech House. Artech House Publishers, 2nd edition, 2020.
- [4] Peter Wellmann, Noboru Ohtani, Roland Rupp, Wide Bandgap Semiconductors for Power Electronics: Materials, Devices, Applications, Wiley-VCH; 2nd edition , 2022, ISBN-13: 978-352-7346-714
- [5] B Jayant Baliga, Silicon Carbide Power Devices", World Scientific Publishing Company, 2006, ISBN-13: 978-9812566058
- [6] B Jayant Baliga, Modern Silicon Carbide Power Devices, World Scientific Publishing Company, 2023, ISBN-13: 978-9811-284-274
- [7] Yu, A., Chabot, V., Zhang, J. Electrochemical Supercapacitors for Energy Storage and Delivery: Fundamentals and Applications. CRC Press, 1st edition, 2017, ISBN-13: 978-1-4398-6989-5
- [8] Deshpande, R. (2015). Ultracapacitors. McGraw-Hill Education, ISBN-10: 93-83286-71-7
- [9] N. Kumar, S.-B. Kim, S.-Y. Lee, and S.-J. Park, "Recent Advanced Supercapacitor: A Review of Storage Mechanisms, Electrode Materials, Modification, and Perspectives", Nanomaterials, Vol. 12, No. 20, p. 3708, Oct. 2022, doi: 10.3390/nano12203708.
- [10] A. Berrueta, A. Ursua, I. S. Martin, A. Eftekhari, and P. Sanchis, "Supercapacitors: Electrical Characteristics, Modeling, Applications, and Future Trends", IEEE Access, vol. 7, pp. 50869–50896, 2019, doi: 10.1109/access.2019.2908558.
- [11] W. Zuo, R. Li, C. Zhou, Y. Li, J. Xia, and J. Liu, "Battery-Supercapacitor Hybrid Devices: Recent Progress and Future Prospects", Advanced Science, vol. 4, no. 7, Feb. 2017, doi: 10.1002/advs.201600539.

- [12] J. Liu, Y. Wang, Y. Wu, Y. Li, and X. Wang, "Research and implementation of new-type supercapacitor and battery hybrid energy storage system", *Journal of Power Electronics*, vol. 20, no. 6, pp. 1395–1404, Aug. 2020, doi: 10.1007/s43236-020-00130-7.
- [13] Z. Dong et al., "A Survey of Battery–Supercapacitor Hybrid Energy Storage Systems: Concept, Topology, Control and Application", *Symmetry*, vol. 14, no. 6, p. 1085, May 2022, doi: 10.3390/sym14061085.
- [14] Buljić, D., Barić, T., Glavaš, H., "Analytical description of the dynamic behaviour of the passive battery supercapacitor hybrid system", *Technical Gazette*, Vol. 31, No. 4, 2024, doi: 10.17559/TV-20240204001311
- [15] Dalibor Buljić, Tomislav Barić, Hrvoje Glavaš, "Energy Efficiency of the Passive Hybrid Battery Supercapacitor System: An Analytical Approach", *International Journal of Electrical and Computer Engineering Systems (IJEICES)* Vol. 15, No. 9, 2024, doi: 10.32985/ijeces.15.9.1
- [16] Barić, T.; Glavaš, H.; Barukčić, M. "Impact of balance resistor uncertainty on voltages across supercapacitors", *Journal of Energy Storage*. 22; pp. 131-136, 2019, ISSN 2352-152X, doi.org/10.1016/j.est.2019.02.005
- [17] Linden, D., & Reddy, T. (2001). *Handbook of Batteries*. McGraw Hill Professional. 3rd edition, ISBN-10: 0-07-135978-8
- [18] Plett, G. L. (2020). *Battery Management Systems, Volume II: Equivalent-Circuit Methods*. Artech House. 2nd edition, ISBN-13: 978-1-63081-027-6
- [19] Beguin, F., Frackowiak, E. & Lu M. (2013). *Supercapacitors: Materials, Systems, and Applications*. Wiley-VCH, 1st edition, ISBN-13: 978-3-527-32883-3
- [20] Yu, A., Chabot, V., & Zhang, J. (2017). *Electrochemical Supercapacitors for Energy Storage and Delivery: Fundamentals and Applications*. CRC Press, 1st edition, ISBN-13: 978-1-4398-6989-5
- [21] Miller, J. M. (2011). *Ultracapacitor Applications*. IET, ISBN-13: 978-1-84919-071-8
- [22] Conway, B. E. (2013). *Electrochemical Supercapacitors: Scientific Fundamentals and Technological Applications*. Springer Science & Business Media, ISBN-13: 978-1-4757-3060-9

- [23] Deshpande, R. (2015). Ultracapacitors. McGraw-Hill Education, ISBN-10: 93-83286-71-7
- [24] R. Kötz, M. Carlen, "Principles and applications of electrochemical capacitors", *Electrochimica Acta*, Volume 45, Issues 15–16, 2000, Pages 2483-2498, ISSN 0013-4686, [https://doi.org/10.1016/s0013-4686\(00\)00354-6](https://doi.org/10.1016/s0013-4686(00)00354-6)
- [25] Şahin, M., Blaabjerg, F., & Sangwongwanich, A. (2022). "A comprehensive review on supercapacitor applications and developments", *Energies*, 15, No.3: 674. <https://doi.org/10.3390/en15030674>
- [26] Kuperman, A., & Aharon, I. (2011). "Battery–ultracapacitor hybrids for pulsed current loads: A review" *Renewable & Sustainable Energy Reviews*, 15(2), pp. 981–992, 2011, <https://doi.org/10.1016/j.rser.2010.11.010>
- [27] Ma, T., Yang, H., & Lu, L. (2015). Development of hybrid battery–supercapacitor energy storage for remote area renewable energy systems. *Applied Energy*, 153, 56–62. <https://doi.org/10.1016/j.apenergy.2014.12.008>
- [28] Seim, L. H. (2012). Modeling, control and experimental testing of a supercapacitor/battery hybrid system: passive and semi-active topologies. In 147. <http://brage.bibsys.no/xmlui/handle/11250/188829>
- [29] Wang, E., Yang, F., & Ouyang, M. (2017). A hybrid energy storage system for a coaxial power-split hybrid powertrain. In InTech eBooks. <https://doi.org/10.5772/67756>
- [30] Mi, C., Masrur, M. A., & Gao, D. W. (2011). Hybrid electric vehicles: Principles and Applications with Practical Perspectives. Wiley, 1st edition, ISBN: 978-0-470-74773-5
- [31] Cabrane, Z., Ouassaid, M., & Maâroufi, M. (2016). Analysis and evaluation of battery-supercapacitor hybrid energy storage system for photovoltaic installation. *International Journal of Hydrogen Energy*, 41(45), 20897–20907. <https://doi.org/10.1016/j.ijhydene.2016.06.141>
- [32] Dong, Z., Zhang, Z., Li, Z., Li, X., Qin, J., Liang, C., Han, M., Yin, Y., Bai, J., Wang, C., & Wang, R. (2022). A survey of Battery-Supercapacitor Hybrid Energy Storage Systems: Concept, Topology, control and Application. *Symmetry*, 14(6), 1085. <https://doi.org/10.3390/sym14061085>

- [33] Jing, W., Lai, C. H., Wong, S. H. W., & Wong, M. L. D. (2017). Battery-supercapacitor hybrid energy storage system in standalone DC microgrids: a review. *IET Renewable Power Generation*, 11(4), 461–469. <https://doi.org/10.1049/iet-rpg.2016.0500>
- [34] Jayaswal, K., Karna, A. K., & Thapa, K. B. (2021). Topologies for interfacing supercapacitor and battery in hybrid electric vehicle applications: An overview. *2021 International Conference on Sustainable Energy and Future Electric Transportation (SEFET)*. <https://doi.org/10.1109/sefet48154.2021.9375802>
- [35] M. T. Penella and M. Gasulla, "Runtime Extension of Low-Power Wireless Sensor Nodes Using Hybrid-Storage Units", *IEEE Transactions on Instrumentation and Measurement*, Vol. 59, No. 4, 2010, pp. 857–865.
- [36] V. Bolborici, F. P. Dawson, and K. K. Lian, "Sizing considerations for ultracapacitors in hybrid energy storage systems", *Proceedings of the 2011 IEEE Energy Conversion Congress and Exposition*, Phoenix, AZ, USA, 2011, pp. 2900-2907.
- [37] N. H. Liu, N. Z. Wang, N. J. Cheng, and D. Maly, "Improvement on the Cold Cranking Capacity of Commercial Vehicle by Using Supercapacitor and Lead-Acid Battery Hybrid", *IEEE Transactions on Vehicular Technology*, Vol. 58, No. 3, 2009, pp. 1097–1105.
- [38] I. Lahbib, A. Lahyani, A. Sari, and P. Venet, "Performance analysis of a lead-acid battery/supercapacitors hybrid and a battery stand-alone under pulsed loads", *Proceedings of the 2014 First International Conference on Green Energy ICGE 2014*, Sfax, Tunisia, 2014, pp. 273-278.
- [39] G. Gu, Y. Lao, Y. Ji, S. Yuan, H. Liu, and P. Du, "Development of hybrid supercapacitor and lead-acid battery power storage systems", *International Journal of Low Carbon Technologies*, Vol. 18, 2023, pp. 159-166.
- [40] R. A. Dougal, S. Liu, and R. E. White, "Power and life extension of battery-ultracapacitor hybrids", *IEEE Transactions on Components and Packaging Technologies*, Vol. 25, No. 1, 2002, pp. 120–131.
- [41] C. T. Tshiani and P. Umenne, "The Impact of the Electric Double-Layer Capacitor (EDLC) in Reducing Stress and Improving Battery Lifespan in a Hybrid Energy Storage System (HESS) System", *Energies*, Vol. 15, No. 22, 2022.

- [42] D. Shin, M. Poncino and E. Macii, "Thermal management of batteries using a hybrid supercapacitor architecture", Proceedings of the 2014 Design, Automation & Test in Europe Conference & Exhibition (DATE), Dresden, Germany, 2014, pp. 1-6.
- [43] S. Pay and Y. Baghzouz, "Effectiveness of battery-supercapacitor combination in electric vehicles", 2003 IEEE Bologna Power Tech Conference Proceedings, Bologna, Italy, 2003, Vol. 3, p. 6.
- [44] W. Jing, C. H. Lai, W. S. H. Wong, and M. L. D. Wong, "A comprehensive study of battery-supercapacitor hybrid energy storage system for standalone PV power system in rural electrification", Applied Energy, Volume 224, 2018, Pages 340-356, ISSN 0306-2619, doi.org/10.1016/j.apenergy.2018.04.106.
- [45] Naderi, E., K. C., B., Ansari, M., & Asrari, A. (2021, September). Experimental Validation of a Hybrid Storage Framework to Cope with Fluctuating Power of Hybrid Renewable Energy-Based Systems. *IEEE Transactions on Energy Conversion*, 36(3), 1991–2001. <https://doi.org/10.1109/tec.2021.3058550>
- [46] Stienecker, A. W., Stuart, T., & Ashtiani, C. (2006, June). An ultracapacitor circuit for reducing sulfation in lead acid batteries for mild hybrid electric vehicles. *Journal of Power Sources*, 156(2), 755–762. <https://doi.org/10.1016/j.jpowsour.2005.06.014>
- [47] Shenkman, A. L. (2006). *Transient Analysis of Electric Power Circuits Handbook*. Springer Science & Business Media, ISBN-13: 978-0-387-28797-3
- [48] Harris, J. W., Stöcker, H.: *Handbook of Mathematics and Computational Science*. 8th edn Springer, 1998
- [49] Chuan, Y., Mi, C., & Zhang, M. (2012, March 30). Comparative Study of a Passive Hybrid Energy Storage System Using Lithium Ion Battery and Ultracapacitor. *World Electric Vehicle Journal*, 5(1), 83–90. <https://doi.org/10.3390/wevj5010083>
- [50] Cericola, D., & Kötz, R. (2012, June). Hybridization of rechargeable batteries and electrochemical capacitors: Principles and limits. *Electrochimica Acta*, 72, 1–17. <https://doi.org/10.1016/j.electacta.2012.03.151>

- [51] Stienecker, A. W., Stuart, T., & Ashtiani, C. (2006, June). An ultracapacitor circuit for reducing sulfation in lead acid batteries for Mild Hybrid Electric Vehicles. *Journal of Power Sources*, 156(2), 755–762. <https://doi.org/10.1016/j.jpowsour.2005.06.014>
- [52] Turner, G. A. (2000). US6836097B2 - Power supply for a pulsed load - Google Patents. <https://patents.google.com/patent/US6836097B2/en>
- [53] A. Djouahi, B. Negrou, Y. Touggui, and M. M. Samy, "Optimal sizing and thermal control in a fuel cell hybrid electric vehicle via FC-HEV application", *Journal of the Brazilian Society of Mechanical Sciences and Engineering*, Vol. 45, No. 10, Sep. 2023.
- [54] A. Djouahi, B. Negrou, B. Rouabah, A. Mahboub, and M. M. Samy, "Optimal Sizing of Battery and Super-Capacitor Based on the MOPSO Technique via a New FC-HEV Application" *Energies*, Vol. 16, No. 9, p. 3902, May 2023.
- [55] A. F. Guven, A. Y. Abdelaziz, M. M. Samy, and S. Barakat, "Optimizing energy Dynamics: A comprehensive analysis of hybrid energy storage systems integrating battery banks and supercapacitors", *Energy Conversion and Management*, vol. 312, p. 118560, Jul. 2024
- [56] A. W. Stienecker, T. Stuart and C. Ashtiani, "A combined ultracapacitor-lead acid battery storage system for mild hybrid electric vehicles," 2005 IEEE Vehicle Power and Propulsion Conference, Chicago, IL, USA, 2005, doi: 10.1109/VPPC.2005.1554582.
- [57] M. Ortuzar, J. Moreno and J. Dixon, "Ultracapacitor-Based Auxiliary Energy System for an Electric Vehicle: Implementation and Evaluation," in *IEEE Transactions on Industrial Electronics*, vol. 54, no. 4, pp. 2147-2156, Aug. 2007, doi: 10.1109/TIE.2007.894713.
- [58] Ali Castaings, Walter Lhomme, Rochdi Trigui, Alain Bouscayrol, "Practical control schemes of a battery/supercapacitor system for electric vehicle", *IET Electrical Systems in Transportation*, Volume: 6, Issue: 1, pp. 20-26, 2016. doi:10.1049/iet-est.2015.0011
- [59] Anne-Laure Allègre, Alain Bouscayrol, Rochdi Trigui "Flexible real-time control of a hybrid energy storage system for electric vehicles", *IET Electrical Systems in Transportation*, Volume: 3, Issue: 3, pp. 79–85, 2013.

- [60] Asmae El Mejdoubi, Amrane Oukaour, Hicham Chaoui, Youssef Slamani, Jalal Sabor, Hamid Gualous "Online supercapacitor diagnosis for electric vehicle applications", IEEE Transactions on Vehicular Technology, Volume: 65, Issue: 6, pp. 4241-4252, 2016.
- [61] F. M. Ibanez, "Analyzing the Need for a Balancing System in Supercapacitor Energy Storage Systems," in IEEE Transactions on Power Electronics, vol. 33, no. 3, pp. 2162-2171, 2018, doi: 10.1109/TPEL.2017.2697406.
- [62] K. Maneesut and U. Supatti, "Reviews of supercapacitor cell voltage equalizer topologies for EVs," 2017 14th International Conference on Electrical Engineering/Electronics, Computer, Telecommunications and Information Technology (ECTI-CON), Phuket, Thailand, 2017, pp. 608-611, doi: 10.1109/ECTICON.2017.8096311.
- [63] Prashant Singh B.T., Babu Bobba Phaneendra and K. Suresh, "Extensive review on Supercapacitor cell voltage balancing", E3S Web Conferences, Volume 87, 2019, doi.org/10.1051/e3sconf/20198701010
- [64] Ashraf, Adnan, Basit Ali, Mothanna S. A. Alsunjary, Hakime Goren, Halise Kilicoglu, Faysal Hardan, and Pietro Tricoli. 2024. "Review of Cell-Balancing Schemes for Electric Vehicle Battery Management Systems" Energies 17, no. 6: 1271. doi.org/10.3390/en17061271
- [65] M.-Y. Kim, J. -H. Kim, J. -B. Lee, J. -W. Kim and G. -W. Moon, "A new cell-to-cell balancing circuit with a center-cell concentration structure for series-connected batteries," 2013 IEEE ECCE Asia Downunder, Melbourne, VIC, Australia, 2013, pp. 506-512, doi: 10.1109/ECCE-Asia.2013.6579144.
- [66] B. Jiang, Y. Liu, X. Huang and R. R. R. Prakash, "A New Battery Active Balancing Method with Supercapacitor Considering Regeneration Process," IECON 2020 The 46th Annual Conference of the IEEE Industrial Electronics Society, Singapore, 2020, pp. 2364-2369, doi: 10.1109/IECON43393.2020.9254839.
- [67] A. A. Ghotekar and B. E. Kushare, "Review Paper on Recent Active Voltage Balancing Methods for Supercapacitor Energy Storage System," 2019 5th International Conference On Computing, Communication, Control And Automation (ICCUBEA), Pune, India, 2019, pp. 1-5, doi: 10.1109/ICCUBEA47591.2019.9128470.

- [68] C. Ionescu, A. Drumea, A. Vasile and N. Codreanu, "Investigations on Active Balancing Circuits for Supercapacitor Banks," 2018 41st International Spring Seminar on Electronics Technology (ISSE), Zlatibor, Serbia, 2018, pp. 1-5, doi: 10.1109/ISSE.2018.8443679.
- [69] Y. Qu, J. Zhu, J. Hu and B. Holliday, "Overview of supercapacitor cell voltage balancing methods for an electric vehicle," 2013 IEEE ECCE Asia Downunder, Melbourne, VIC, Australia, 2013, pp. 810-814, doi: 10.1109/ECCE-Asia.2013.6579196.
- [70] X. Wang, K. W. E. Cheng and Y. C. Fong, "Series-Parallel Switched-Capacitor Balancing Circuit for Hybrid Source Package," in IEEE Access, vol. 6, pp. 34254-34261, 2018, doi: 10.1109/ACCESS.2018.2849864.
- [71] Z. Pan, L. Liu, Y. Du, Y. Shi and X. Yang, "Low-Loss Switched Capacitor Voltage Balancing Circuit and Its Design Considerations," 2019 IEEE Energy Conversion Congress and Exposition (ECCE), Baltimore, MD, USA, 2019, pp. 882-888, doi: 10.1109/ECCE.2019.8912197.
- [72] Y. Ye and K. W. E. Cheng, "Modeling and Analysis of Series-Parallel Switched-Capacitor Voltage Equalizer for Battery/Supercapacitor Strings," in IEEE Journal of Emerging and Selected Topics in Power Electronics, vol. 3, no. 4, pp. 977-983, Dec. 2015, doi: 10.1109/JESTPE.2015.2418339.
- [73] R. Fukui and H. Koizumi, "Double-tiered switched capacitor battery charge equalizer with chain structure," IECON 2013 - 39th Annual Conference of the IEEE Industrial Electronics Society, Vienna, Austria, 2013, pp. 6715-6720, doi: 10.1109/IECON.2013.6700244.
- [74] A. C. Baughman and M. Ferdowsi, "Double-Tiered Switched-Capacitor Battery Charge Equalization Technique," in IEEE Transactions on Industrial Electronics, vol. 55, no. 6, pp. 2277-2285, June 2008, doi: 10.1109/TIE.2008.918401.
- [75] C. Pascual and P. T. Krein, "Switched capacitor system for automatic series battery equalization," Proceedings of APEC 97 - Applied Power Electronics Conference, Atlanta, GA, USA, 1997, vol.2, pp. 848-854, doi: 10.1109/APEC.1997.575744

- [76] S. Lambert, V. Pickert, J. Holden, Wuhua Li and Xiangning He, "Overview of supercapacitor voltage equalisation circuits for an electric vehicle charging application," 2010 IEEE Vehicle Power and Propulsion Conference, Lille, France, 2010, pp. 1-7, doi: 10.1109/VPPC.2010.5729226.
- [77] Y. Ye and K. W. E. Cheng, "Modeling and Analysis of Series–Parallel Switched-Capacitor Voltage Equalizer for Battery/Supercapacitor Strings," in IEEE Journal of Emerging and Selected Topics in Power Electronics, vol. 3, no. 4, pp. 977-983, Dec. 2015, doi: 10.1109/JESTPE.2015.2418339.
- [78] Markovljev lanac, Hrvatska enciklopedija, available at: <https://www.enciklopedija.hr/clanak/markovljev-lanac>, (accessed 02.09.2024)
- [79] Randal Douc, Eric Moulines, Pierre Priouret, Philippe Soulier, Markov Chains, Springer; 1st edition, 2018, ISBN 978-3-319-97703-4
- [80] Paul A. Gagniuc, Markov Chains From Theory to Implementation and Experimentation, Wiley; 1st edition, 2017, ISBN-13: 978-1119387558
- [81] Carl Graham, Markov Chains Analytic and Monte Carlo Computations, Wiley, 1st edition, 2014, ISBN 978-1-118-51707-9
- [82] Markovljev lanac, (engl. *Markov chain*), Encyclopedia Britanica, available at: <https://www.britannica.com/science/stochastic-process>, (accessed 02.09.2024)
- [83] Faming Liang, Chuanhai Liu, Raymond J. Carroll, Advanced Markov Chain Monte Carlo Methods: Learning from Past Samples, Wiley; 1st edition, 2010, ISBN-13: 978-0-470-74826-8
- [84] Wilfrid S. Kendall, Faming Liang, Jian-Sheng Wang, Markov Chain Monte Carlo: Innovations and Applications, Lecture Notes Series, Institute for Mathematical Sciences, National University of Singapore, World Scientific Publishing Company, 2005, ISBN-10: 981-256-427-6
- [85] William J. Stewart, Probability, Markov Chains, Queues, and Simulation The Mathematical Basis of Performance Modeling, Princeton University Press; Illustrated edition, 2009, ISBN-13: 978-0-691-14062-9

- [86] Pierre Brémaud, Markov Chains, Gibbs Fields, Monte Carlo Simulations and Queues, Springer, 1999, ISBN: 0-387-98509-3
- [87] Anders Tolver, AN INTRODUCTION TO MARKOV CHAINS, Department of Mathematical Sciences University of Copenhagen, ISBN: 978-87-7078-952-3
- [88] Nicolas Privault, Understanding Markov Chains, Examples and Applications, Springer, Second Edition, 2018, ISBN-13: 978-981-13-0658-7
- [89] Bojan Šekoranja, "Markovljevi lanci", Podloge za vježbe iz kolegija Umjetna inteligencija, nastavni materijal, Fakultet strojarstva i brodogradnje, 2024, available at: https://titan.fsb.hr/~bosekora/nastava/ui/UI_podloge.pdf (accessed 27.09.2024.)
- [90] Mathcad, available at: <https://www.mathcad.com> (accessed 27.09.2024.)
- [91] Wolfram Mathematica, available at: <https://www.wolfram.com> (accessed 27.09.2024.)
- [92] Matlab, available at: <https://www.mathworks.com> (accessed 27.09.2024.)
- [93] Linear Technology, LT1492/LT1493, 1A Voltage-Controlled Current Sink, data sheet available at: <https://www.analog.com/media/en/technical-documentation> (accessed: 20.9.2024.)
- [94] Texas Instruments, Precision Current Sink, circuits available at: <https://e2e.ti.com/support/amplifiers-group/amplifiers/f/amplifiers-forum/156111/understanding-this-precision-current-sink> (accessed: 20.9.2024.)
- [95] Texas Instruments TL431, Precision Programmable Reference, datasheet available at: <https://www.ti.com> (accessed: 16.9.2024.)
- [96] Texas Instruments LM358, Dual, 30-V, 700-kHz operational amplifier, datasheet available at: <https://www.ti.com/product/LM358> (accessed: 16.9.2024.)
- [97] International Rectifier, IRF1324 Power MOSFET, datasheet available at: <https://www.infineon.com/> (accessed: 16.9.2024.)
- [98] High power resistor 50 mΩ, Radial lead TO 220, 35 W, datasheet available at: <https://www.conrad.com/> (accessed: 20.1.2024.)

- [99] RIGOL MSO5000 Series Oscilloscopes, Data Sheet available at:
<https://www.rigolna.com/> (accessed: 16.9.2024.)
- [100] Panasonic rechargeable NiMH Battery, "Eneloop" trademark , AA, AAA size, data sheet available at: <https://www.panasonic.com/> (accessed: 16.09.2024.)
- [101] SAMXON SUPERCAP, electric double layer capacitors, type 50 F 2.7 V, Man Yue Technology Holdings Limited, data sheet available at: <https://www.samxon.com/> (accessed: 16.9.2024.)
- [102] SAMWHA Electric, Supercapacitors, data sheets available at: <http://www.samwha.com/> (accessed: 27.9.2024.)
- [103] Maxwell Technologies, Ultracapacitors, data sheets available at:
<https://maxwell.com/products/ultracapacitors/> (accessed: 27.9.2024.)
- [104] Wima double-layer capacitors (Supercapacitors), data sheets available at:
<https://www.wima.de/en/> (accessed: 27.9.2024.)
- [105] Panasonic industry, Electric Double Layer Capacitors (Gold Capacitor), data sheets available at: <https://industrial.panasonic.com/ww/products/capacitors/edlc> (accessed: 27.9.2024.)

POPIS KORIŠTENIH OZNAKA I SIMBOLA

OZNAKA/SIMBOL	ZNAČENJE
A_i, A_j	Konstante integracije
$\alpha = T_p / \tau$	Omjer trajanja pravokutnog pulsa i vremenske konstante
B_i, B_j	Konstante integracije
$\beta = T_p / T$	Omjer trajanja pravokutnog pulsa i periode, tzv. radni ciklus (engl. <i>duty cycle</i>)
C	Kapacitet superkondenzatora
\bar{C}	Srednja vrijednosti kapaciteta svih superkondenzatora u izjednačivaču napona
C_{eqv}	Ekvivalentni kapacitet superkondenzatora
DC	engl. <i>directional current</i>
DSO	engl. <i>digital storage oscilloscope</i>
$\Delta u, \Delta U$	Devijacija napona u odnosu na srednju vrijednost napona
ΔU_i	Trenutni pad napona
ΔU_t	Pad napona tijekom trajanja tranzijenta
ΔU_p	Pad napona na bateriji koji bi se pojavio uslijed struje I_p kada ne bi bilo prisutan superkondenzator
$\Delta U_{max}^{(k)}$	Maksimalna relativna devijacija napona u k-tom koraku u odnosu na najveću (maksimalnu) devijaciju napona koja je vladala u nultom koraku
E_{eqv}	Ekvivalentna elektromotorna sila
E	Elektromotorna sila
$E = E(SOC)$	Elektromotorna sila u funkciji stanja napunjenoosti
$E_B(0, T)$	Gubici u bateriji tijekom jedne periode
$E_{SC}(0, T)$	Gubici u superkondenzatoru tijekom jedne periode
$E_{HBSS}(0, T)$	Gubici u hibridnom sustavu baterije i superkondenzatora tijekom jedne periode valnog oblika struje tereta
$E_{SABS}(0, T)$	Gubici u bateriji tijekom jedne periode valnog oblika struje tereta kada je baterija samostalni sustav kojime se vrši napajanje tereta
$\varepsilon = I_p / I_0$	Omjer vršne vrijednosti pravokutnog pulsa tereta i konstantne komponente struje tereta
f_s	Frekvencija sklopnih radnji
HBSS	engl. <i>hybrid battery-supercapacitor energy storage system</i>
HESS	engl. <i>hybrid energy storage system</i>
I_0	Konstantna struja tereta
I_p	Vršna vrijednost struje tereta
i_L	Struja tereta
i_C	Struja superkondenzatora
i_B	Struja baterije
i_{eq}	Struja izjednačavanja, indeks eq dolazi od engl. riječi <i>equilibrium</i>

OZNAKA/SIMBOL	ZNAČENJE
$k = R_B / R_C$	Parametar
k	Korak
$K = K(k) = k / (1+k)$	Parametar
P	Matrica prijelaznih vjerojatnosti
$R_{B, \text{eqv}}$	Ekvivalentni otpor baterija
R_B	Otpor baterije
$R_{DS, \text{ON}}$	Otpor kanala potpuno vodljivog MOSFET-a
R_L	Otpor tereta
R_0	Ekvivalentni serijski otpor superkondenzatora
R_m	Mjerni otpor
R_s	Otpor u lancu povratne veze strujnog uvora (engl. <i>sense</i>)
R_s	Ekvivalentni otpor jednog para dvosmjernih poluvodičkih sklopki
\bar{R}_0	Srednja vrijednost otpora superkondenzatora u izjednačivaču napona
S	Distribucija (razdioba) stanja
SABS	engl. <i>stand-alone battery systems</i>
SC	Superkondenzator
SCs	engl. <i>supercapacitors</i>
SOC	Stanje napunjenoosti, engl. <i>state of charge</i>
T	Perioda
t	Vrijeme
T_p	Trajanje pulsa
T_s	Sklopno vrijeme
τ	Vremenska konstanta
\bar{U}	Srednja vrijednost napona svih superkondenzatora
u_c	Napon na kapacitetu
UCs	engl. <i>ultracapacitors</i>
u_T	Napon na terminalima (priključcima) baterije i superkondenzatora
U_0	Napon u ustaljenom stanju pri konstantnoj struci tereta
U_{SC}^0	Vektor distribucije napona na superkondenzatorima u nultom koraku
$U_{SC}^{(k)}$	Vektor distribucije napona na superkondenzatorima u k-tom koraku
ZD	Zenner dioda

Popis slika

Slika 2.1. Ragoneov dijagram proizvoljno odabranih spremnika energije	10
Slika 2.2. Valni oblik struje tereta i napon na terminalima baterije s i bez superkondenzatora	11
Slika 2.3. Valni oblici struje tereta, baterije i superkondenzatora	12
Slika 2.4. Jezgrovita podjela topologija hibridnih sustava baterije i superkondenzatora za pohranu energije (engl. <i>battery-supercapacitor HESS</i>)	14
Slika 2.5. Pasivni hibridni sustav baterije i superkondenzatora (engl. <i>passive HESS</i>)	15
Slika 2.6. Poluaktivni hibridni sustav baterije i superkondenzatora (engl. <i>semi-active HESS</i>), a) baterijski poluaktivna topologija hibridnog sustava baterije i superkondenzatora, b) superkondenzatorski poluaktivna topologija hibridnog sustava baterije i superkondenzatora	16
Slika 2.7. Potpuno aktivni paralelni hibridni sustav baterije i superkondenzatora (engl. <i>parallel full active HESS</i>)	17
Slika 2.8. Potpuno aktivni kaskadni hibridni sustav baterije i superkondenzatora (engl. <i>cascaded full active HESS</i>)	17
Slika 3.1. Pasivni hibridni sustav baterije i superkondenzatora (engl. <i>passive HESS</i>)	18
Slika 3.2. Model prvog reda pasivnog hibridnog sustava baterije i superkondenzatora	18
Slika 3.3. Model tereta i valni oblik struje tereta s prikazanim relevantnim fizikalnim veličinama	19
Slika 3.4. Ovisnost koeficijenta K o omjeru $k = R_B / R_C$	26
Slika 3.5. Valni oblik struje tereta, napon na terminalima HBSS-a i druge relevantne fizikalne veličine tijekom procesa pražnjenja superkondenzatora	31
Slika 3.6. Valni oblik struje tereta, napon na terminalima HBSS-a i ostale relevantne fizikalne veličine tijekom procesa pražnjenja i punjenja superkondenzatora	37
Slika 3.7. Valni oblik struje tereta, struje baterije i struje superkondenzatora tijekom trajanja strujnog pulsa i nakon njegova prestanka	41
Slika 4.1. Odnos gubitaka u HBSS-u u odnosu na gubitke u sistemu napajanja realiziranog samo sa baterijom. Izračun za $\alpha=0,1$, $\beta=0,01$, uz varijaciju parametra ε	43

Popis slika, nastavak

Slika 4.2. Odnos gubitaka u HBSS-u u odnosu na gubitke u sistemu napajanja realiziranog samo s baterijom. Izračun za $\alpha=0,6$, $\beta=0,1$, uz varijaciju parametra ϵ	53
Slika 5.1. Pasivni HBSS a) načinjen od n serijski spojenih čelija baterija i m serijski spojenih čelija superkondenzatora, b) ekvivalentna shema	56
Slika 5.2. Očekivani životni vijek superkondenzatora u ovisnosti o radnom naponu superkondenzatora i temperaturi superkondenzatora	57
Slika 5.3. Tehnike ujednačivanja (balansiranja) napona na superkondenzatorima	59
Slika 5.4. Disipativne tehnike izjednačivanja napona na superkondenzatorima, a) otpornicima, b) preklopivim otpornicima, c) zener diodama, d) ispravljačkim diodama	60
Slika 5.5. Odabrani primjeri nedisipativnih tehnika ujednačivanja napona na superkondenzatorima, a) tehnika zasnovana na "flyback" pretvaraču, b) tehnika zasnovana na višenamotnom transformatoru i "flyback" pretvaraču, c) tehnika zasnovana na "Buck-boost-u"	61
Slika 5.6. Ujednačivač napona zasnovan na preklapanju superkondenzatora.	62
Slika 5.7. Pojednostavljen prikaz ujednačivača napona zasnovanog na preklapanju superkondenzatora.	62
Slika 5.8. Slijed sklopnih radnji između skupa sklopki Sa i Sb, T - period uklopa/isklopa, td-vremensko kašnjenje kako bi se izbjeglo preklapanje	63
Slika 5.9. Prikaz ožičenja za slučajeve kada je skup sklopki „Sa“ uklopljen, a skup sklopki „Sb“ isklopljen i obrnuto	63
Slika 5.10. Ekvivalentne sheme superkondenzatora, a) shema prikladan za vrlo spore promjene kada je važno uvažiti samopražnjenje, b) za brze promjene	64
Slika 5.11. a) Dvosmjerna poluvodička MOSFET sklopka b) model dvosmjerne poluvodičke MOSFET sklopke	65
Slika 5.12. Ekvivalentna Kirchhoffova shema dvaju superkondenzatora i para dvostravnih poluvodičkih MOSFET sklopki predstavljenih idealnom sklopkom i otporom R_s	65

Popis slika, nastavak

Slika 5.13. Naponski tranzijenti na superkondenzatorima ($T_{\text{switch}} = 5\tau$)	74
Slika 5.14. Naponski tranzijenti na superkondenzatorima ($T_{\text{switch}} = 2\tau$)	75
Slika 6.1. Dijagram kojime je predstavljen Markovljev proces s četirima stanjima	76
Slika 6.2. Dijagramske prikaze ožičenja između SC-a kada je a) grupa prekidača s označkom A u stanju ON, b) kada je grupa prekidača s označkom B u stanju ON, c) dijagram koji predstavlja ujednačivač napona sa šest SC-ova na temelju tehnike preklapanja SC-ova	78
Slika 6.3. Apsolutni iznos maksimalne devijacije napona za sheme sa 6, 8 i 10 superkondenzatora. Grafički su prikazi za sklopno vrijeme $T_{\text{switch}} = 5 \cdot \tau$	83
Slika 6.4. Apsolutni iznos maksimalne devijacije napona za sheme sa 6, 8 i 10 superkondenzatora. Grafički su prikazi za sklopno vrijeme $T_{\text{switch}} = \tau$	83
Slika 6.5. Apsolutni iznos maksimalne devijacije napona za sheme sa 6, 8 i 10 superkondenzatora. Grafički su prikazi za sklopno vrijeme $T_{\text{switch}} = 0,1 \cdot \tau$	84
Slika 6.6. Apsolutni iznos maksimalne devijacije napona za sheme sa 6, 8 i 10 superkondenzatora. Grafički su prikazi za sklopno vrijeme $T_{\text{switch}} = 0,001 \cdot \tau$	84
Slika 7.1. Električna shema strujnog uvora konstantne struje sastavljena za potrebe mjerjenja u ovom radu	89
Slika 7.2. Fotografija na otpornik i MOSFET-e montirane na aluminijski hladnjak	91
Slika 7.3. Fotografija na elektronički dio i rashladni dio strujnog uvora	91
Slika 7.4 a) Model pasivnog hibridnog sustava baterije i superkondenzatora s mjernim otpornicima i označenim mernim mjestima, b) valni oblik struje tereta	92
Slika 7.5. Strujni uvor, pasivni hibridni sustav baterije i superkondenzatora i merni otpornici	93
Slika 7.6. Detaljniji prikaz na HBSS i mjerne otpornike	93
Slika 7.7. Valni oblik napona na priključcima (terminalima) pasivnog HBSS-a prikazan je plavom bojom, a valni oblik struje tereta izmјeren na otporniku R_s prikazan je crvenom bojom. Vršna vrijednost struje pulsa iznosi $I_p = 20 \text{ A}$	94
Slika 7.8. Valni oblik struje tereta i napon na terminalima baterije s i bez superkondenzatora	94

Popis slika, nastavak

Slika 7.9. Valni oblik napona na priključcima (terminalima) pasivnog hibridnog sustava baterije i superkondenzatora prikazan je plavom bojom, a valni oblik struje tereta izmjerен na otporniku R_s prikazan je crvenom bojom. Na slici su označene i brojčane vrijednosti karakterističnih veličina valnih oblika 95

Slika 7.10. Valni oblici struja baterije i superkondenzatora izmjerenih na mjernim otpornicima ($R_m = 5 \text{ m}\Omega$) postavljenima u seriju s parom baterija i u seriju sa superkondenzatorom. Vršna vrijednost struje pulsa iznosi $I_p = 20 \text{ A}$ 99

Popis tablica

Tablica 2.1. Istaknute (glavne) prednosti i nedostatci superkondenzatora	8
Tablica 2.2. Usporedba superkondenzatora s različitim vrstama baterija	9
Tablica 4.1. Faktor β i dozvoljen iznos faktora α	52
Tablica 6.1. Vjerojatnosna razdioba napona na superkondenzatorima za $k=1$	80
Tablica 7.1. Osnovni tehnički podaci o bateriji i superkondenzatoru	92